

بِسْمِ اللّٰهِ الرَّحْمٰنِ الرَّحِيْمِ



دانشگاه صنعتی شهرود

دانشکده مهندسی کشاورزی

گروه آب و خاک

ارزیابی عملکرد فنی و هیدرولیکی کانال‌های آبیاری استان سمنان و ارایه راهکارهای بهبود  
عملکرد آنها

دانشجو: جواد مکاری ساعی

اساتید راهنما:

دکتر خلیل اژدری

دکتر صمد امامقلیزاده

استاد مشاور:

دکتر غلامحسین کریمی

مهندس مهدی رحیمیان

پایان‌نامه جهت اخذ درجه کارشناسی ارشد

۱۳۹۲ بهمن

# دانشگاه صنعتی شاهروд

## دانشکده مهندسی کشاورزی

### گروه آب و خاک

پایان نامه کارشناسی ارشد آقای جواد مکاری ساعی

تحت عنوان: " ارزیابی عملکرد فنی و هیدرولیکی کانال‌های آبیاری استان سمنان و ارایه راهکارهای بهبود عملکرد آنها "

در تاریخ ۱۳۹۲/۱۱/۲۷ توسط کمیته تخصصی زیر جهت اخذ مدرک کارشناسی ارشد مورد ارزیابی و با درجه .... خوب.... مورد پذیرش قرار گرفت.

امضاء	اساتید مشاور	امضاء	اساتید راهنما
—	دکتر غلامحسین کریمی		دکتر خلیل ازدری
—	مهندس مهدی رحیمیان		دکتر صمد امامقلی زاده

امضاء	نماينده تحصيلات تكميلي	امضاء	اساتيد داور
	دکتر شاهین شاهروسوی		دکتر مهدی دلفندی
			دکتر زهرا گنجی نوروزی

تقدیم به خانواده‌ی عزیزم،

که وجودشان جلی هر بی پایان الی است.

## **شکر و قدردانی:**

در این قسمت بر خود وظیفه می داشم در مصدق این کلام زیبا «من لم یشکر المخلوق لم یشکر الخالق» از زحمات بی دریغ آقایان دکتر خلیل اژدری و دکتر صمد امامقلیزاده که مسئولیت راهنمایی این پایان نامه را با وجود مشکلات عدیده با سعهی صدر پذیرفتند خالصانه تشکر نمایم.

همچنین بدین وسیله از استاد مشاور پایان نامه، جناب دکتر غلامحسین کریمی و آقای مهندس مهدی رحیمیان که نهایت همکاری را در این مقوله مبذول داشته‌اند قدردانی مینمایم.

لازم است بخاطر مساعدت بی دریغ جناب مهندس دمنیان در امور آب استان سمنان و مهندس باقر جورابلو در شرکت بهره بردار شبکه دشت گرمسار و مهندس امین ناظری که در انجام این تحقیق یاری‌گر این جانب بودند کمال قدرشناسی را داشته باشم.

## **جواد مکاری ساعی**

**۹۲ بهمن**

## تعهد نامه

اینجانب **جواد مکاری ساعی**. دانشجوی دوره کارشناسی ارشد رشته. مهندسی کشاورزی - سازه های آبی. دانشکده کشاورزی دانشگاه صنعتی شاهرود نویسنده پایان نامه . ارزیابی عملکرد فنی و هیدرولیکی کانال های آبیاری استان سمنان و ارایه راهکارهای بهبود عملکرد آنها تحت راهنمائی دکتر خلیل اژدری و دکتر صمد امامقلی زاده . متعهد می شوم.

- تحقیقات در این پایان نامه توسط اینجانب انجام شده است و از صحت و اصالت برخوردار است.
- در استفاده از نتایج پژوهش‌های محققان دیگر به مرجع مورد استفاده استناد شده است.
- مطالب مندرج در پایان نامه تاکنون توسط خود یا فرد دیگری برای دریافت هیچ نوع مدرک یا امتیازی در هیچ جا ارائه نشده است.
- کلیه حقوق معنوی این اثر متعلق به دانشگاه صنعتی شاهرود می باشد و مقالات مستخرج با نام « دانشگاه صنعتی شاهرود » و یا « Shahrood University of Technology » به چاپ خواهد رسید.
- حقوق معنوی تمام افرادی که در به دست آمدن نتایج اصلی پایان نامه تأثیرگذار بوده اند در مقالات مستخرج از پایان نامه رعایت می گردد.
- در کلیه مراحل انجام این پایان نامه ، در مواردی که از موجود زنده ( یا بافت‌های آنها ) استفاده شده است ضوابط و اصول اخلاقی رعایت شده است.
- در کلیه مراحل انجام این پایان نامه، در مواردی که به حوزه اطلاعات شخصی افراد دسترسی یافته یا استفاده شده است اصل رازداری ، ضوابط و اصول اخلاق انسانی رعایت شده است

**تاریخ جلسه دفاع از پایان نامه ۹۲/۱۱/۲۷**

**امضای دانشجو**

## مالکیت نتایج و حق نشر

- کلیه حقوق معنوی این اثر و محصولات آن (مقالات مستخرج، کتاب، برنامه های رایانه ای، نرم افزار ها و تجهیزات ساخته شده است ) متعلق به دانشگاه صنعتی شاهرود می باشد. این مطلب باید به نحو مقتضی در تولیدات علمی مربوطه ذکر شود.
- استفاده از اطلاعات و نتایج موجود در پایان نامه بدو، ذکر مرجع مجا نمی باشد.

\* متن این صفحه نیز باید در ابتدای نسخه های تکثیر شده پایان نامه وجود داشته باشد .

## چکیده:

عملکرد نامطلوب شبکه‌های آبیاری و زهکشی موجب نگرانی جدی دولت‌ها شده است. واقعیت مشهود در سطح جهانی این است که اغلب پروژه‌های آبیاری و زهکشی اجرا شده در سطح دنیا به اهداف مورد نظر نرسیده‌اند و در برخی از موارد با مشکل مواجه شده‌اند. توسعه‌ی شبکه‌های آبیاری و تجهیز و نوسازی شبکه‌های آبیاری یکی از ارکان اصلی توسعه در بخش آب و کشاورزی است و سالانه هزینه‌های زیادی از منابع ملی صرف توسعه‌ی شبکه‌های آبیاری و تأسیسات وابسته به آنها مثل سدهای انحرافی، آبگیرها و طرح‌های انتقال آب می‌شود. با اجرای پروژه‌های آبیاری و زهکشی اگر چه تا حدودی مصرف آب تحت کنترل در می‌آید و می‌توان از آب استفاده بهینه نمود اما این نکته قابل ذکر است که اگر شبکه دچار مشکل شود و معضلات رخداده مرتفع نگردد به مرور زمان، بهره برداری از شبکه‌ی آبیاری و زهکشی دچار مشکل شده و نه تنها از منابع آب و خاک حفاظت نمی‌شود بلکه باعث تخریب این منابع نیز می‌شود از این رو است که ارزیابی عملکرد فنی و هیدرولیکی کanal های آبیاری و زهکشی ضرورت می‌یابد.

در این تحقیق، عملکرد فنی و هیدرولیکی کanal های استان سمنان مورد هدف بود که پایلوت شبکه‌ی آبیاری و زهکشی دشت گرم‌سار انتخاب گردید. در این راستا ابتدا با انجام بازدید میدانی و پایش در شبکه مشکلات موجود ثبت گردید، سپس اندازه گیری‌های لازم صورت گرفت. نتایج تحقیق نشان داد که مشکلاتی از قبیل رسوب گذاری در کanal ها، رشد علف‌های هرز در برم کanal ها، آبندی نامناسب درزهای انقباض در بدنه کanal ها، ترک‌های طولی و عرضی در برخی کanal ها، تخریب بتن در راپ‌ها، پرشدن تنظیم کننده‌های نوک‌مرغابی از رسوب، عملکرد نامناسب دریچه‌های نیرپیک و غیره از اهم نارسائی‌های شبکه‌ی آبیاری گرم‌سار می‌باشد. راندمان انتقال شبکه یکی از معیارهای سنجش عملکرد می‌باشد که در این تحقیق مورد محاسبه قرار گرفت و در حدود ۸۹ درصد برآورد گردید که با توجه به عمر شبکه خوب ارزیابی می‌شود. برای تعیین غلظت مواد معلق در آب شبکه برای اولین بار از ترم کدورت استفاده شد و رابطه بین کدورت و غلظت مواد معلق برای این شبکه استخراج گردید. این کار در برآورد بار مواد معلق شبکه و مدیریت رسوب مفید خواهد بود. با توجه به محاسبات هیدرولیکی در مقاطع برداشت، رژیم جریان زیربحاری بوده و از نظر طراحی مطلوب می‌باشد.

واژه‌های کلیدی‌اندامان انتقال، رسوب، کدورت، هایچنیرپیک، رژیم جریان

## فهرست مقالات استخراجی از پایان نامه

---

- «بررسی و تعیین رابطه‌ی بین غلظت رسوب معلق آب و میزان کدورت در شبکه‌ی آبیاری و زهکشی دشت گرمسار» (اولین همایش ملی چالش‌های منابع آب و کشاورزی، دانشگاه آزاد اسلامی واحد خوارسگان اصفهان، بهمن ۹۲)
- «ارزیابی وضعیت راندمان انتقال آب در کanal های بتنی شبکه‌ی آبیاری دشت گرمسار و بررسی شرایط بپیوود آن» (اولین همایش ملی چالش‌های منابع آب و کشاورزی، دانشگاه آزاد اسلامی واحد خوارسگان اصفهان، بهمن ۹۲)

# فهرست مطالب

صفحه

عنوان

۱	فصل اول: مقدمه
۲	۱-۱- مقدمه
۵	۱-۲- اهمیت مسئله
۷	۱-۳- ضرورت مسئله
۸	۱-۴- هدف از تحقیق
۹	فصل دوم: کلیات و پیشینه تحقیق
۱۰	۲-۱- تئوری تحقیق
۱۰	۲-۱-۱- تعاریف
۱۱	۲-۱-۲- اندازه‌گیری دبی
۱۲	۲-۱-۲-۱- سرعت متوسط
۱۴	۲-۱-۲-۲- محاسبه دبی
۱۷	۲-۱-۳- راندمان انتقال شبکه
۱۷	۲-۱-۴- اندازه‌گیری کدورت
۱۸	۲-۱-۴-۱- رابطه‌ی بین کدورت و غلظت مواد معلق
۱۹	۲-۱-۵- اندازه‌گیری بار معلق
۲۱	۲-۱-۵-۱- نمونه‌بردارهای عمقی یا تجمعی
۲۱	۲-۱-۵-۲- نمونه‌بردارهای نقطه‌ای
۲۱	۲-۱-۶- روش‌های تعیین بار معلق
۲۱	۲-۱-۶-۱- تئوری بار معلق و معادله رأس
۲۸	۲-۱-۷- تئوری تورم خاک و چگونگی ترک خوردن پوشش بتنی
۳۰	۲-۲- پیشینه تحقیق
۳۵	فصل سوم: مواد و روشها
۳۶	۳-۱- موقعیت منطقه‌ی مورد مطالعه

۳۶	۱-۱-۳- معرفی حوضه‌ی آبری‌ دشت گرمسار
۳۹	۲-۱-۳- موقعیت جغرافیایی و اقلیمی
۴۱	۳-۱-۳- راههای دستیابی
۴۴	۲-۳- تأسیسات مدرن احداث شده در منطقه‌ی مورد مطالعه
۴۴	۲-۲-۳- سد انحرافی بنکوه
۴۶	۲-۲-۳- حوضچه‌های رسوبگیر
۴۷	۲-۲-۳- دریچه‌های تخلیه رسوب
۴۸	۲-۲-۳- کانال‌های احداث شده
۴۸	۲-۲-۳-۱- کanal گرمسار
۴۸	۲-۲-۳-۲- کanal آرادان
۴۹	۲-۲-۳-۳- انشعبات کanal گرمسار
۵۱	۲-۲-۳-۴- انشعبات کanal آرادان
۵۲	۲-۲-۳-۵- سازه‌های آبی شبکه گرمسار
۵۲	۲-۲-۳-۶- ابنيه‌های فنی شبکه‌ی آبیاری
۵۳	۲-۳- معرفی دستگاه‌های سنجش
۵۳	۲-۳-۱- سرعت سنج جریان
۵۴	۲-۳-۲- کدورت سنج
۵۶	۲-۳-۳- ترازوی دیجیتال حرفه مدل TP
۵۶	۲-۳-۴- عملیات اندازه‌گیری برای بدست آوردن راندمان انتقال شبکه
۶۱	۲-۳-۵- عمایت بدست آوردن رابطه‌ی بین غلظت مواد معلق و کدورت
۶۵	۲-۴- فصل چهارم: نتایج و بحث
۶۶	۲-۴-۱- ارزیابی راندمان انتقال شبکه‌ی آبیاری دشت گرمسار
۷۲	۲-۴-۲- برآورد معادله‌ی بین کدورت و غلظت مواد معلق در شبکه‌ی آبیاری گرمسار
۷۶	۲-۴-۳- تخریب بتن سازه‌ای
۸۰	۲-۴-۴- مسئله رسوب‌گذاری در شبکه
۸۲	۲-۴-۵- مشکلات کanal گرمسار و انشعبات آن

۸۲	مشکل کanal AX	-۱-۵-۴
۸۷	مشکل کanal BY و BZ	-۲-۵-۴
۸۸	مشکلات کanal آرادان	-۴-۶
۸۹	مشکل نقطه‌ی Q1 (کanal Q11)	-۴-۶-۱
۸۹	شاخه‌ی APQ11	-۴-۶-۲
۹۱	مشکل سیفون نقطه‌ی N1	-۴-۶-۳
۹۱	مشکلات کanal کمربندی (UCC1)	-۴-۶-۴
۹۳	کanal CC1	-۴-۶-۱
۹۶	مشکلات وابسته به کanal کمربندی	-۴-۶-۲
۹۶	مشکلات آبگیرهای روستایی	-۴-۷
۹۹	شبکه‌های فرعی آبیاری	-۴-۸
۹۹	وضعیت سازه‌های آبی	-۴-۹
۱۰۰	دربیچه‌های مدول نیرپیک	-۴-۹-۱
۱۰۰	سیفون‌های شبکه	-۴-۹-۲
۱۰۱	سرریزها	-۴-۹-۳
۱۰۱	دراپ‌ها	-۴-۹-۴
۱۰۲	مقسم‌ها	-۴-۹-۵
۱۰۳	<b>فصل پنجم: نتیجه‌گیری و پیشنهادات</b>	
۱۰۴	نتیجه‌گیری	-۵-۱
۱۰۶	پیشنهادات	-۵-۲
۱۰۷	پیوست‌ها و مراجع	

## فهرست اشکال

عنوان	صفحه
شکل ۱-۲- منحنی‌های هم سرعت در یک مقطع از رودخانه	۱۴
شکل ۲-۲- اندازه‌گیری به روش ریاضی	۱۶
شکل ۲-۳- رابطه‌ی بین کدورت و غلظت رسوب معلق در مخزن سد دز	۱۸
شکل ۴-۲- توزیع غلظت بر حسب مقادیر مختلف Z	۲۵
شکل ۵-۲- تنش‌های واردہ بر بدنه‌ی کanal	۲۷
شکل ۳-۱- پلان حوضه و زیرحوضه‌ی طرح	۳۸
شکل ۳-۲- موقعیت جغرافیایی گیمسار و دشت مطالعه	۴۰
شکل ۳-۳- پلان شبکه‌ی آبیاری و زهکشی دشت گرم‌سار	۴۱
شکل ۴-۳- دریچه‌های نیرپیک	۴۳
شکل ۳-۵- سرریز نوک مرغابی	۴۳
شکل ۳-۶- سرعت سنج "Global Water Flow Probe"	۵۳
شکل ۷-۳- دستگاه کدورت‌سنج	۵۴
شکل ۳-۸- طرح شماتیک مکانیزم کار کدورت‌سنج	۵۵
شکل ۳-۹- ترازوی دیجیتالی TP	۵۶
شکل ۳-۱۰- مقطع اندازه‌گیری جریان	۵۷
شکل ۳-۱۱- مقطع اندازه‌گیری جریان	۵۷
شکل ۴-۱- نمونه‌ی کanal انتقال پوشش‌دار شبکه‌ی گرم‌سار	۶۷
شکل ۴-۲- درزهای انقباض بصورت ناصحیح پر شده‌اند	۶۸
شکل ۴-۳- رشد علفهای هرز در درز انقباض و رسوب‌گذاری در دیوارهای کanal	۶۹
شکل ۴-۴- بالازدگی آب در کanal انتقال به علت وجود سازه کنترل‌کننده در پایین‌دست	۶۹
شکل ۴-۵- الف و ب رشد علفهای هرز در برم‌ها کanal انتقال و ورود به داخل کanal	۷۰

۷۱	شکل ۴-۶- رشد علفهای در درزهای انقباض در کanal انتقال
۷۳	شکل ۴-۷- آزمون چارک داده‌های غلظت مواد معلق
۷۳	شکل ۴-۸- آزمون چارک داده‌های کدورت
۷۴	شکل ۴-۹- گراف پراکنش داده‌ها به روش اسپیرمن
۷۵	شکل ۴-۱۰- منحنی‌های برازش خطی و توانی داده‌ها
۷۸	شکل ۴-۱۱- تخریب بتن در دراپ‌ها
۸۱	شکل ۴-۱۲- نمایش رسوب در کanal‌های شبکه‌ی گرمسار
۸۳	شکل ۴-۱۳- آبگیر ابتدای کanal گرمسار
۸۵	شکل ۴-۱۴- تجمع زباله در ورودی سیفون تقاطعی کanal X۳ با بلوار راه‌آهن گرمسار
۸۵	شکل ۴-۱۵- محل تقاطع کanal X۳ با بلوار راه‌آهن و برگشت آب در ورودی سیفون
۸۶	شکل ۴-۱۶- گرفتگی سیفون تقاطعی کanal X۳ با خط راه‌آهن و هدایت آب به زیر کالورت مجاور
۸۶	شکل ۴-۱۷- شکستگی کanal X۳ و هدایت آب به زیر کالورت راه‌آهن
۹۰	شکل ۴-۱۸- محل آبگیری شهرداری آرادان از کanal کاظم‌بیگی و لوله انحراف آب به سمت چپ کanal.
۹۲	شکل ۴-۱۹- جعبه تقسیم و کanal درجه ۴ بلااستفاده برای اراضی کاظم‌بیگی
۹۲	شکل ۴-۲۰- حوضچه‌ی تقسیم آب نقطه‌ی C (دولات) و آبگیر مندولک
۹۲	شکل ۴-۲۱- آبگیر شاخه CL جهت آبرسانی به روستاهای زیردست از نقطه‌ی دولات
۹۴	شکل ۴-۲۲- کanal بلااستفاده C601 (روستای رشمeh)
۹۲	شکل ۴-۲۳- وضعیت حوضچه‌ی تقسیم آب در نقطه C1
۹۵	شکل ۴-۲۴- وضعیت حوضچه‌ی تقسیم آب در نقطه C1 و شکستگی دیواره‌ها
۹۷	شکل ۴-۲۵- دریچه‌ی آبگیر کanal درجه ۴ اراضی پاده
۹۷	شکل ۴-۲۶- چگونگی استفاده از آبگیرهای شبکه‌ی فرعی
۹۸	شکل ۴-۲۷- دریچه‌های آبگیر بلااستفاده در اراضی پاده
۹۸	شکل ۴-۲۸- کanal‌های فرعی بلااستفاده و دریچه‌های آبگیر مربوطه

## فهرست جداول

عنوان	صفحه
جدول ۱-۳ - مهمترین شاخه‌های آب شور ورودی به حبله‌رود	۳۹
جدول ۲-۳ - مشخصات سد انحرافی گرمسار	۴۴
جدول ۳-۳ - لیست دریچه‌های هیدرو مکانیکال نصب شده در محل سد انحرافی گرمسار	۴۵
جدول ۴-۳ - مشخصات کanal گرمسلو (کanal سمت راست شبکه‌ی آبیاری)	۴۸
جدول ۵-۳ - مشخصات کanal آرادان (کanal سمت چپ)	۴۹
جدول ۶-۳ - مشخصات کanal‌های انشعابی از نقطه‌ی A	۵۰
جدول ۷-۳ - کanal‌های انشعابی از نقطه‌ی B	۵۰
جدول ۸-۳ - کanal‌های انشعابی از نقطه‌ی C	۵۱
جدول ۹-۳ - داده‌های سرعت در مقاطع اندازه‌گیری	۵۸
جدول ۱۰-۳ - معرفی ترم‌های جداول نتایج	۵۹
جدول ۱۱-۳ - نتایج محاسبات هیدرولیکی روی مقاطع جریان	۶۰
جدول ۱۲-۳ - داده‌های غلظت مواد معلق و کدورت نمونه‌ها	۶۲
جدول ۱۳-۳ - داده‌های مربوط به غلظت مواد معلق و کدورت	۶۳
جدول ۱۴-۱ - نتایج مربوط به راندمان انتقال در شبکه‌ی گرمسار	۶۶
جدول ۱۴-۲ - پارامترهای برآش	۷۶

## فهرست پیوست‌ها

عنوان	صفحه
پیوست ۱-۱- طرح شماتیک کانال‌های شبکه‌ی آبیاری.....	۱۰۸
پیوست ۱-۳- لیست سازه‌های احتمالی در شبکه‌های آبیاری گرمسار .....	۱۰۹
پیوست ۲-۳- لیست دریچه‌های هیدرومکانیک نصب شده در کانال‌های درجه‌ی ۱ و ۲.....	۱۱۱
پیوست ۲-۳- ادامه لیست دریچه‌های هیدرومکانیک نصب شده در کانال‌های درجه‌ی ۱ و ۲.....	۱۱۲
پیوست ۳-۳- مشخصات فنی سرعت‌سنج.....	۱۱۵
پیوست ۳-۴- مراحل کالیبره کردن کدورت‌سنج.....	۱۱۵
پیوست ۳-۵- مشخصات فنی کدورت‌سنج.....	۱۱۶
پیوست ۳-۶- داده‌های سرعت در مقاطع اندازه‌گیری.....	۱۱۷
پیوست ۳-۷- داده‌های سرعت در مقاطع اندازه‌گیری.....	۱۱۸
پیوست ۳-۸- داده‌های سرعت در مقاطع اندازه‌گیری.....	۱۱۹
پیوست ۳-۹- نتایج محاسبات هیدرولیکی روی مقاطع جریان .....	۱۲۰
پیوست ۳-۱۰- نتایج محاسبات هیدرولیکی روی مقاطع جریان.....	۱۲۱
پیوست ۳-۱۱- نتایج محاسبات هیدرولیکی روی مقاطع جریان.....	۱۲۲
پیوست ۳-۱۲- نتایج محاسبات هیدرولیکی روی مقاطع جریان .....	۱۲۳
پیوست ۳-۱۳- نتایج محاسبات هیدرولیکی روی مقاطع جریان.....	۱۲۴
پیوست ۳-۱۴- نتایج محاسبات هیدرولیکی روی مقاطع جریان .....	۱۲۵
پیوست ۳-۱۵- نتایج محاسبات هیدرولیکی روی مقاطع جریان.....	۱۲۶
پیوست ۳-۱۶- نتایج محاسبات هیدرولیکی روی مقاطع جریان .....	۱۲۷
پیوست ۳-۱۷- نتایج محاسبات هیدرولیکی روی مقاطع جریان.....	۱۲۸
پیوست ۳-۱۸- نتایج محاسبات هیدرولیکی روی مقاطع جریان.....	۱۲۹
پیوست ۳-۱۹- نتایج محاسبات هیدرولیکی روی مقاطع جریان.....	۱۳۰

۱۳۱	پیوست-۳-۲۰- نتایج محاسبات هیدرولیکی روی مقاطع جریان.....
۱۳۲	پیوست-۳-۲۱- نتایج محاسبات هیدرولیکی روی مقاطع جریان.....
۱۳۳	پیوست-۳-۲۲- نتایج محاسبات هیدرولیکی روی مقاطع جریان.....
۱۳۴	پیوست-۳-۲۳- نتایج محاسبات هیدرولیکی روی مقاطع جریان.....
۱۳۵	پیوست-۳-۲۴- نتایج محاسبات هیدرولیکی روی مقاطع جریان.....
۱۳۶	پیوست-۳-۲۵- نتایج محاسبات هیدرولیکی روی مقاطع جریان.....
۱۳۷	پیوست-۳-۲۶- نتایج محاسبات هیدرولیکی روی مقاطع جریان .....
۱۳۸	پیوست-۳-۲۷- نتایج محاسبات هیدرولیکی روی مقاطع جریان.....
۱۳۹	پیوست-۳-۲۸- نتایج محاسبات هیدرولیکی روی مقاطع جریان.....
۱۴۰	پیوست-۳-۲۹- نتایج محاسبات هیدرولیکی روی مقاطع جریان.....
۱۴۱	پیوست-۳-۳۰- داده‌های غلظت مواد معلق و کدورت نمونه‌ها .....
۱۴۲	پیوست-۳-۳۱- داده‌های غلظت مواد معلق و کدورت نمونه‌ها .....
۱۴۳	پیوست-۳-۳۲- داده‌های غلظت مواد معلق و کدورت نمونه‌ها .....
۱۴۴	پیوست-۳-۳۳- داده‌های غلظت مواد معلق و کدورت نمونه‌ها .....

# فصل اول

مقدمه

## ۱-۱- مقدمه

یکی از معمولی‌ترین راه‌های انتقال آب استفاده از کanal می‌باشد. اصولاً کلمه نهر آب و یا کanal آب ، شادی بخش است. خداوند متعال نیکوکاران را به بهشت که در آن نهرهای پر آب جاری است، مژده داده است. در فقه اسلامی نهرسازی، کanal کشی و خلاصه تامین آب برای هر زمین از کارهای عمرانی آن زمین محسوب شده و دلیلی بر مالکیت آن زمین است. کanal سازی در ایران از قدیم مرسوم بوده و تاریخ آن به تاریخ کشاورزی وابسته است . مثلاً در خوزستان حتی آثار کanal هایی که در زمان هخامنشیان ساخته شده هنوز باقی است . در شهرهای بزرگ مانند اصفهان، سمنان و ... که شبکه‌های سنتی گستردگی داشته و قرن‌هاست بدون هیچ‌گونه اشکالی مورد بهره‌برداری هستند، تأییدی بر این مدعی است. اما متأسفانه کanal سازی در ایران بصورت تجربی در سینه باقی مانده و شیوه‌های سنتی کanal کشی از نسلی به نسل دیگر منتقل و هرگز به صورت مكتوب در نیامده است تا ج ایی که امروزه در جهان هیچ جایی از این تجربه چندین هزار ساله ایرانی وجود ندارد . در حقیقت اوایل قرن ۱۹ بود که زمزمه محاسبه کanal بلند شد و با پیشرفت سریع علم هیدرولیک این فکر قوت گرفت که منجر به یافته‌های شزی<sup>۱</sup>، مانینگ<sup>۲</sup> و کوتر<sup>۳</sup> گردید و سرانجام به شکل امروزی درآمد و در این راه ایران واقعاً سهمی ندارد (فرامجی، ۱۹۷۲).

لیکن واقعیت مشهود در سطح جهانی این است که غالب پروژه‌های آبیاری و زهکشی اجرا شده در دنیا به اهداف پیش بینی شده منجر نگردیده و در موارد بی شماری با شکست مواجه گردیده و نه تنها توفیقی در بهره‌وری بهینه از منابع آب و خاک نداشته، بلکه ضایعاتی که به منابع مذکور وارد نموده سطح تولید را کاهش داده است . علل عدم موفقیت این پروژه‌ها عمدتاً در طراحی و اجرای ناصحیح، بهره‌برداری و نگهداری نامناسب و غیرکافی و یا به طور کلی مدیریت ضعیف در زمینه‌های مختلف بوده است (قاھری، ۱۳۷۵).

<sup>1</sup>Chezy

<sup>2</sup>Manning

<sup>3</sup>Kuter

شبکه‌های آبیاری در سراسر دنیا به منظور دریافت ، انتقال، توزیع و تحويل آب به مزارع کشاورزی و باغات میوه احداث شده اند. این شبکه‌ها از تعدادی کanal با ابعاد و ظرفیت های مختلف، سازه‌های متعدد برای تنظیم و کنترل جریان آب و بالاخره نتیجه‌های آبیاری نظیر جاده‌ها، زیرگذرها و.... تشکیل شده اند. شاید یکی از جنبه‌هایی که در مقوله‌ی شبکه‌های آبیاری دست کم از طرف مهندسان و کارشناسان ذیربیط تا حدودی زیادی مغفول مانده است ، نتیجات بهره‌برداری از نتیجه‌های شبکه‌ها بر روی بافت و کنش اجتماعات انسانی درگیر با آن بوده است. دولتها و مؤسسات اعتباری به منظور کاهش فقر در مناطق روستایی ، سرمایه‌گذاری وسیعی در زمینه‌ی احداث و راه اندازی شبکه‌های آبیاری نموده‌اند، ولی عملکرد آنها معمولاً بسیار پایین‌تر از حد انتظار بوده است . میلیون‌ها روستایی، اعم از افراد کم زمین یا بی زمین که می‌بایست از این طرح‌ها بهره‌مند می‌شدند، منتفع نگردیدند. بهبود نقش سیستم‌های آبیاری در فقرزدایی در حال حاضر یکی از چالش‌های مهم و ایده نظری و عملی بشر می‌باشد (چمبرز، ۱۹۹۲).

در هر مجتمع آبیاری، شبکه‌ی کanal‌ها اهمیت فراوانی دارد و عنوان کلید بهره‌برداری به حساب آمده و جزء مهمی از سرمایه‌گذاری را به خود اختصاص می‌دهد. از این رو طراحی صحیح شبکه کanal‌ها اهمیت فوق العاده‌ای در تعیین اقتصاد پروژه خواهد داشت . بعلاوه کارایی و طرح هر کanal، بر دوام و نتیجه کار آن نیز بستگی کامل دارد . کارایی کanal تحت تأثیر رسوب‌گذاری و واریز دیواره‌های کanal بوده، که از محاسبات غلط آن ناشی شده و احتیاج به نگه داری فراوان دارد و در صورتیکه طرح اولیه کanal، کاملاً مستهلك شده باشد احتیاج به بازسازی کامل دارد. رویش علف‌های هرز بطور متراکم و یا گسترده در کanal، تلفات نشتی سنگین و یا غرقابی شدن اراضی در طول ساحل کanal مسائل جدی دیگری هستند که ممکن است از طراحی غلط کanal منشا گرفته باشند. بنابر این طراحی مؤثر کanal‌ها دارای اهمیت زیادی است. کمی بارندگی و عدم توزیع یکنواخت آن در زمان و مکان، پتانیسل زراعی مختلفی به دشت‌های ایران داده است . بطوریکه بزرگ‌ترین عامل محدود کننده در اکثر این دشت‌ها، آب است. از طرفی دیگر همه ساله شاهد پایین رفتن هر چه بیشتر سطح سفره های آب

زیرزمینی و خشک شدن چاهها برای تحصیل آب برای آبیاری هستیم. با مهار آب‌های سطحی باید آب منتقل شود (فرامجی، ۱۹۷۲).

طراحی مجراهای انتقال آب با سطح آزاد، شامل دو بخش طراحی هیدرولیکی و طرح سازه‌ای می‌باشد که باید به طور توأم صورت گیرند. منظور از طرح هیدرولیکی مجراهای، تعیین مسیر و شکل مقطع آنها می‌باشد. چگونگی شکل مقطع مجراهای، خود تحت تأثیر عوامل مختلفی چون ظرفیت، سرعت بهینه جریان، پایداری و نقطه‌نظرهای بهره‌برداری و نگهداری است. مجراهای انتقال با سطح آزاد ممکن است به صورت نهر (کanal) یا کاریز (تونل با جریان سطح آزاد) طراحی شوند. انتخاب هر یک از انواع بناهای آبی انتقال، پس از دریافت اطلاعات کامل از پارامترهای مؤثر، امکان‌پذیر می‌گردد. ظرفیت یک بنای انتقال مستقیماً تابعی از نیازهای آبی در پایین دست، طول مسیر و تلفات آب در اثر تبخیر یا نشت عمیق می‌باشد. سرعت جریان از یک سو تحت تأثیر فرسایش‌پذیری مصالح بدنی بنای انتقال بوده، از سوی دیگر با شبکه طولی که خود تابعی از شرایط توپوگرافی زمین می‌باشد، کنترل می‌گردد. پایداری دیوارهای طرفین مجراهای مقاومتی بدنی ای بنای انتقال مربوط می‌شود. علیرغم وجود روش‌های گوناگون برای پایداری‌سازی برخی از انواع مصالح کمتر پایدار، به علت ابعاد گسترده کارهای اجرای بناهای انتقال، بهره‌گیری از آنها مقرن به صرفه نمی‌باشد. از نظر بهره‌برداری و یا نگهداری عوامل مهمی چون رسوب گذاری در مجراهای افزایش تلفات انرژی در اثر تغییر زبری بستر جریان، سیل‌گیری، رانش زمین، جریان گل و محدودیت‌های طبیعی و یا مصنوعی باید در طراحی در نظر گرفته شوند (بیات و همکاران، ۱۳۸۶).

در افريقا به دليل محدودیت‌های متعدد فيزيکی و فني، هزينه توسعه آبیاری حتى بيشر از آسياست. در سال ۱۹۹۲ هزينه سرمایه‌اي احداث شبکه‌های آبیاری بزرگ به طور متوسط ۸۳۰۰ دلار در هكتار بوده است اما در جنوب صحراء افريقيا با در نظر گرفتن هزينه های غيرمستقيم برای احداث زيربنها (از قبيل: جاده‌ها، سكونت‌گاه‌ها، شبکه برق و تأسیسات عمومی) اين رقم به ۱۸۳۰۰ دلار در هكتار

می‌رسد. در امریکای لاتین هزینه‌های توسعه آبیاری نسبت به افریقا پایین تر، اما در مقایسه با آسیا بسیار بالاتر است و به طور متوسط حدود ۱۰ هزار دلار در هکتار است. یکی از مهم‌ترین چالش‌ها، نیاز به صرفه‌جویی در مصارف کشاورزی، خانگی و صنعتی است. متوسط راندمان آبیاری (برآیند راندمان شبکه آبیاری و راندمان کاربرد مزرعه) در کشورهای در حال توسعه پایین است و از ۲۵ الی ۴۰ درصد در فلیپین، تایلند، هند، پاکستان و مکزیک تا ۴۰ الی ۴۵ درصد در مالزی و مراکش می‌رسد. این ارقام به طور قابل ملاحظه‌ای پایین تر از راندمان ۵۰ الی ۶۰ درصدی در کشورهای تایوان و ژاپن است. در شبکه‌هایی که مدیریت کارآمدی دارند، نسبت آب هدر رفته به کل آب واردہ به شبکه آبرسانی حدود ۱۰ الی ۱۵ درصد است. پایین بودن راندمان شبکه‌های آبیاری و آب شهری شاید به معنی پتانسیل صرفه‌جویی همیشه در همه مناطق یا شبکه‌ها بالا نیست. زیرا بخش مهمی از آبی که به عنوان هدر رفته در نظر گرفته می‌شود، در عمل هدر رفته نیست و در جای دیگری از حوزه‌ی آبریز دوباره مورد بهره‌برداری قرار می‌گیرد. با محاسبه میزان آب بازیافت شده در پایین دست شبکه‌های زهکشی و میزان تغذیه و برداشت آب از منابع آب زیرزمینی (که معمولاً در اندازه‌گیری راندمان مصرف نادیده گرفته می‌شود) میزان راندمان واقعی مصرف آب در سطح حوضه‌ی آبریز به دست می‌آید. برای مثال در حوضه‌ی آبریز نیل در مصر، راندمان مصرف آب در شبکه‌ها ۳۰ درصد است اما راندمان کل حوضه‌ی نیل به حدود ۸۰ درصد می‌رسد. در سطح حوضه‌ی آبریز رودخانه، هدر رفت فیزیکی آب شامل تبخیر از سطح آب و گیاه، تخلیه به دریا یا آب‌های داخلی و آلودگی منابع آب سطحی و زیرزمینی در اثر املال و سموم می‌باشد (رزگرانت، ۲۰۰۲).

## ۲-۱- اهمیت مسئله

از زمان آغاز ساخت تأسیسات مهم و مدرن آبیاری در ایران بیشتر از نیم قرن می‌گذرد و طی این مدت از طریق احداث تعداد قابل توجهی شبکه‌های مدرن آبیاری و زهکشی، هزاران کیلومتر کanal در

دشت‌های مختلف این سرزمین ساخته شده است. بررسی‌های صحرایی به عمل آمده نشان داده که ملسفانه علیرغم طراحی و احداث شبکه های مذکور توسط مهندسین مشاور و پیمانکار ان جرب، بسیاری از کanal‌ها به دلایل مختلفی دچار خسارت جزئی و یا کلی گردیده و صدمات اقتصادی زیادی را موجب شده‌اند. بر اساس نتیج برسی‌های بعمل آمده علل خسارت ایجاد شده در کanal‌های آبیاری عموماً ناشی از عدم دقیقت و رعایت ضوابط علمی در طراحی، ساخت، بهره‌برداری و نگهداری بوده است. موقعیت جغرافیائی، شرایط اقلیمی و زمین شناسی خاص کشور نیز موجب استقرار خاک های مشکل‌آفرین در بسیاری از مناطق ایران گردیده که عدم توجه به این امر نیز در موارد متعددی موجب ایجاد خسارت در کanal های آبیاری گردیده است . بر اساس یک طبقه بندي عمومی عوامل ایجاد خسارت در کanal‌های آبیاری ایران را می‌توان در ۵ گروه اصلی به شرح زیر تقسیم نمود:

• مسائل مرتبط با طراحی

• مسائل مرتبط با شرایط ژئوتکنیکی بستر

• مسائل مرتبط با اجرا

• مسائل مرتبط با بهره‌برداری و نگهداری

• مسائل فرهنگی - اجتماعی

استقرار ایران در مدار ۳۰ درجه‌ی نیم‌کره شمالی و در نتیجه‌ی قرارگرفتن آن در کمربند خشک کره‌ی زمین، خشکی و خشکسالی را از جمله ویژگی‌های طبیعی این کشور قرار داده و به همین علت ایرانیان به ناچار از دیرباز برای مقابله با این مشکل طبیعی تمهیداتی اندیشیده اند. از جمله ساخت سدهای مخزنی، انحرافی، تونل‌های انحراف و انتقال ، کanal‌های انتقال و توزیع ، سازه‌های توزیع و... همگی از جمله تمهیداتی است که ایرانیان برای استفاده بهتر و کاراتر از آب بکارگرفته اند. با شروع تحولات اقتصادی - اجتماعی در صد سال اخیر به منظور پاسخگویی به نیازهای یک جامعه مدرن ، طراحی و ساخت سیستم‌های مدرن، تأمین و توزیع آب نیز به ناچار از اواخر دهه ۲۰ مورد توجه دولت‌های وقت

قرارگرفته و سرمایه‌گذاری‌های قابل توجهی در زمینه ساخت سدهای مخزنی و انحرافی و شبکه‌های آبیاری و زهکشی بعمل آمد. این سرمایه‌گذاری‌ها به ویژه در دهه های ۴۰ و ۵۰ به دلیل افزایش جمعیت، بالا رفتن سطح زندگی و نیز افزایش بهای نفت رونق بیشتری گرفت و طراحی و ساخت شبکه‌های متعدد و گستردۀ آبیاری و زهکشی در ابتدا در استان خوزستان و پس از آن در استان‌های گیلان، اصفهان، تهران و در نهایت در هرجا که داشت حاصلخیز و منبع تأمین آب مناسب وجود داشت آغاز گردید. اکنون پس از گذشت حدود ۶۰ سال از آغاز فرایند طراحی و ساخت سیستم‌های مدرن آبیاری و تأمین و توزیع آب در کشور که با سرمایه هنگفت ساخته شده اند نیاز به بررسی و ارزیابی عملکرد این گونه سیستم‌ها روزافزون مشاهده می‌گردد (رحیمی، ۱۳۷۴).

### ۱-۳- ضرورت مسئله

ضرورت انجام ارزیابی شبکه‌های آبیاری و زهکشی با توجه به سرمایه‌گذاری‌های وسیعی که در این بخش صورت گرفته است بر کسی پوشیده نیست. نزدیک نیم قرن از آغاز طراحی ساخت شبکه‌های مدرن آبیاری و زهکشی در کشور ایران می‌گذرد و طی این مدت ده‌ها شبکه‌ی بزرگ و کوچک که برخی از آنها در بر گیرنده چندین هزار هکتار اراضی زراعی می‌باشد به مرحله اجرا در آمده است. برخی از این شبکه‌ها به دلیل شرایط خاص و به ویژه خاک‌های مسئله‌دار از جمله خاک‌های گچی، شور، متورم شونده و واگرا موجب ایجاد خسارت قابل توجهی به این شبکه‌ها شده است. با توجه به مقدمه بالا ضرورت ارزیابی فنی و هیدرولیکی کانال‌های آبیاری احداث شده در کشور مشخص می‌شود. با عنایت به مسئله کمبود آب بررسی کارکرد مؤثر چنین تأسیسات آبیاری بیش از پیش باید مورد توجه قرار گیرد. با توجه به هزینه‌های سرمایه‌گذاری اولیه‌ی سنگین احداث چنین شبکه‌هایی ضروری می‌نماید که بعد از مراحل طراحی و اجراء ارزیابی‌های فنی و هیدرولیکی در طی مراحل بهره‌برداری توسط شرکت‌های متولی امر صورت پذیرد تا در صورت بروز مشکلات و نارسایی‌ها در عملکرد تعریف شده برای چنین اینیه‌هایی در همان ابتدا چاره اندیشه شود چرا که در مراحل بعدی امکان گسترش نارسایی به کل شبکه‌ی آبیاری دور از انتظار نخواهد بود. از همه مهمتر این که از نتایج

حاصل می‌توان در شرکت‌های مشاور در طراحی‌های آتی چنین شبکه‌ها در کشور استفاده گردد. از مشکلات بارز و شایان ذکر در شبکه‌های آبیاری کشور می‌توان به مسائل ذیل اشاره کرد:

- مسئله رسوب‌گذاری و فرسایش
- رشد علف‌های هرز
- تغییر ضریب زبری
- پایین بودن راندمان انتقال
- تخریب بتن‌های لاینینگ
- عملکرد دریچه‌های آبگیر
- مسائل ژئوتکنیکی
- مسئله تراوش
- مسائل فرهنگی

#### ۴-۱- هدف از تحقیق

یکی از شبکه‌های آبیاری مهم منطقه، شبکه‌ی آبیاری دشت گرم‌سار می‌باشد. شبکه‌ی آبیاری و زهکشی گرم‌سار با وسعت ۲۲۰۰۰ هکتار از رودخانه‌ی حبله‌رود با دبی متوسط سالیانه ۲۷۵ میلیون مترمکعب و متوسط ۱۲ میلیون تن رسوب در سال، تأمین می‌گردد. در تحقیق حاضر سعی گردید یک پایش کلی در شبکه‌ی آبیاری زهکشی گرم‌سار صورت پذیرد، تا مشکلات و نارسایی‌های موجود در شبکه شناسایی شود. در این تحقیق راندمان انتقال شبکه به صورت اندازه‌گیری دبی در بازه‌های مختلف برآورد خواهد شد. همچنین با توجه به مسئله‌ی رسوب در شبکه سعی شده است با استفاده از داده‌های اندازه‌گیری غلظت رسوبات معلق، وضعیت رسوب شبکه‌ی آبیاری مشخص گردد. همچنین با توجه به داده‌های جمع‌آوری شده از بازدیدهای میدانی و داده‌های صحراوی اندازه‌گیری شده در منطقه مورد مطالعه، راهکار مناسب جهت عملکرد بهتر شبکه‌ی آبیاری و زهکشی ارائه گردد.

# فصل دوم

کلیات و پیشینه تحقیق

## ۱-۲- تئوری تحقیق

### ۱-۱- تعاریف

#### تأسیسات آبیاری

مجموعه‌ی ساختمان‌های انحراف آب و آبگیری و شبکه‌ی آبیاری، تأسیسات آبیاری نامیده می‌شود.

#### شبکه‌ی آبیاری

شبکه‌ی آبیاری به مجموعه‌ی تأسیساتی که برای انتقال و توزیع آب و جمع آوری آب‌های مازاد آبیاری و روانآب‌ها احداث می‌شود، اطلاق می‌گردد.

شبکه‌ی آبیاری به شبکه‌ی اصلی و شبکه‌ی مزرعه که به ترتیب نقش انتقال و توزیع آب تا سر مزارع و توزیع آب در داخل مزارع را برعهده دارند، تفکیک می‌شود.

شبکه‌ی اصلی شامل: کanal‌های درجه‌ی ۱ و ۲ و شبکه‌ی فرعی شامل: کanal‌های درجه‌ی ۳ و ۴ مزارع (شبکه‌ی مزرعه) است.

به مجموعه‌ی کanal‌ها، مجاري و سازه‌های هیدرولیکی که به وسیله آنها آب از آبگیرهاي تا آبگیرهاي مزارع منتقل و توزیع می شود و در مجموع برای بهره برداری شبکه مورد نیاز است، شبکه اصلی آبیاری گفته می شود و معمولاً شامل کلیه یا بعضی از اجزای زیر است:

کanal‌ها و مجاري بسته (لوله‌ها و تونل‌ها)، زهکش‌های سطحی، سازه‌های هیدرولیکی، جاده‌های ارتباطی و جاده‌های سرویس برای بهره‌داری و نگهداری (نشریه مدیریت و برنامه‌ریزی شماره ۲۸۱).

## کanal آبرسان<sup>۱</sup>

به کanalی که از دهانه آبگیر اصلی شروع و تا محل اولین انشعاب ادامه دارد، کanal آبرسان گفته می‌شود.

## کanal اصلی درجه‌ی ۱ و ۲

کanal‌های آبیاری شبکه‌ی اصلی شامل: کanal‌های درجه‌ی ۱ و ۲ است که در فصول آبیاری، معمولاً آب در آنها به طور دائم جریان دارد.

## سازه‌های هیدرولیکی

مجموعه سازه‌هایی است که برای انتقال جریان، کنترل و تنظیم سطح آب، آبگیری و حفاظت شبکه به کار می‌رود.

## شبکه‌ی فرعی آبیاری (کanal‌های درجه‌ی ۳ و ۴)

مجموعه کanal‌هایی که آب در آنها بحسب برنامه آبیاری و به طور متناوب جریان دارد و آب را داخل مزرعه توزیع می‌کند، شبکه‌ی فرعی آبیاری نامیده می‌شود. طرح شماتیکی از شبکه در پیوست (۱-۱) آورده شده است (نشریه مدیریت و برنامه‌ریزی شماره ۲۸۱).

## ۲-۱-۲- اندازه‌گیری دبی

تمام اندازه‌گیری‌های آب‌سنجدی از قبیل سطح آب، عمق و سرعت آب، برای آن است که بتوانیم مقدار دبی را تخمین بزنیم. منظور از دبی<sup>۲</sup> حجم آبی است که در واحد زمان از مقطعی از رودخانه (که عمود بر جهت جریان باشد) عبور کند. چنانچه سرعت متوسط آب  $\bar{V}$  و سطح مقطع جریان A باشد مقدار دبی Q عبارت است از:

$$Q = A \cdot \bar{V}$$

<sup>۱</sup> Main Feeder Canal (M.F.C)

<sup>۲</sup> discharge

بنابراین جهت تخمین دبی باید هم سرعت متوسط و هم سطح مقطع اندازه‌گیری یا محاسبه شود.

### ۱-۲-۱- سرعت متوسط

برای به دست آوردن سرعت متوسط در یک آبراهه چند روش وجود دارد:

#### الف - روش یک نقطه‌ای:

در این روش اندازه‌گیری سرعت آب فقط در یک نقطه و در وسط جریان آب انجام می‌شود. برای این کار ابتدا یک خط قائم نسبت به سطح آب در نظر گرفته شده و روی این خط سرعت در نقطه‌ای که فاصله آن از سطح آب حدود  $5/0$  تا  $7/0$  عمق (d) باشد اندازه‌گیری می‌شود. معمولاً در این مورد سرعت آب در  $0/6d$  (۰/۶ عمق از سطح آب) تعیین و به عنوان سرعت متوسط در نظر گرفته می‌شود. سرعت آب در  $0/6d$  بر حسب تجربه به دست آمده است. این روش در مواردی به کار بوده می‌شود که عمق آب رقم  $0/6d$  از ۷۰ سانتی‌متر کمتر است (علیزاده، ۱۳۸۰).

#### ب - روش دو نقطه‌ای:

روش دو نقطه‌ای در شرایطی کاربرد دارد که در آن عمق آب رودخانه زیاد و از ۷۰ سانتی‌متر بیشتر باشد. در این حالت سرعت آب در هر مرحله در دو نقطه یکی در  $0/2$  و دیگری در  $0/8$  عمق (d) و  $0/8d$  از سطح آب اندازه‌گیری و سرعت متوسط  $\bar{V}$  از فرمول زیر محاسبه می‌شود:

$$\bar{V} = \frac{1}{2}(V_{0.2d} + V_{0.8d})$$

که  $V_{0.2d}$  و  $V_{0.8d}$  به ترتیب سرعت آب در  $0/2$  و  $0/8$  عمق آب از سطح می‌باشد.

#### ج - روش سه نقطه‌ای:

در این روش سرعت آب در  $0/15$ ،  $0/05$  و  $0/85$  عمق از سطح آب اندازه‌گیری و میانگین ریاضی آنها

متوسط سرعت آب خواهد بود از

$$\bar{V} = \frac{V_{0.15d} + V_{0.5d} + V_{0.85d}}{3}$$

که  $V_{0.85d}$  و  $V_{0.5d}$  و  $V_{0.15d}$  به ترتیب سرعت آب در ۰/۱۵، ۰/۰۵ و ۰/۰۸۵ عمق از سطح می‌باشد.

#### د - روش پنج نقطه‌ای:

در این روش سرعت آب در سطح ( $V_s$ )، در نزدیکیهای کف ( $V_b$ ) و همچنین در ۰/۲، ۰/۰۶ و ۰/۰۸ عمق

از سطح آب ( $V_{0.2d}$ ،  $V_{0.6d}$  و  $V_{0.8d}$ ) اندازه‌گیری و سپس سرعت متوسط ( $\bar{V}$ ) از فرمول زیر محاسبه

می‌شود:

$$\bar{V} = \frac{1}{10}(V_s + 3V_{0.2d} + 2V_{0.6d} + 3V_{0.8d} + V_b)$$

در این روش هنگامی که تغییرات سرعت نسبت به عمق یکنواخت نباشد بهتر از دیگر روش هاست.

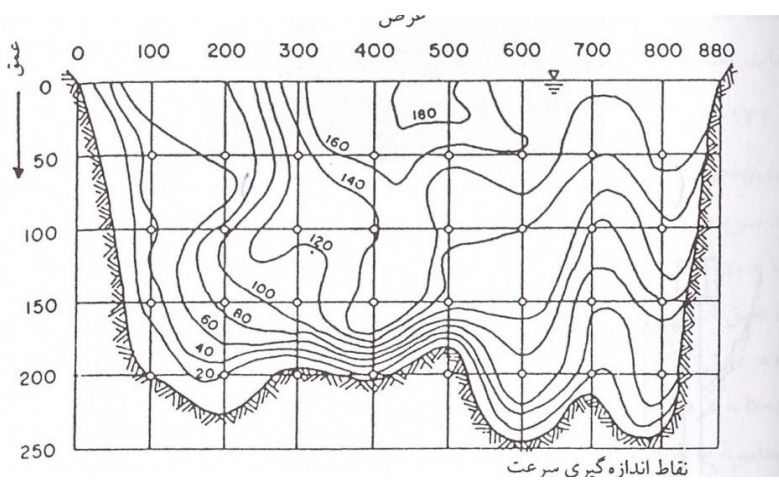
برای آن که سرعت آب در یک مقطع از رودخانه بطور دقیق‌تر محاسبه شود می‌توان مقطع رودخانه را

مطابق شکل (۱-۲) شبکه‌بندی کرده و سرعت آب در محل هر یک از نقاط شبکه را اندازه‌گیری کرد.

با داشتن سرعت در این نقاط، خطوط هم سرعت مطابق آنچه در رسم نقشه‌های توپوگرافی مرسوم

است رسم می‌شود. سرعت متوسط در مقطع نیز همانند پیدا کردن ارتفاع متوسط یک منطقه، از روی

خطوط هم سرعت محاسبه می‌شود.



شکل ۲-۱-۲- منحنی های هم سرعت در یک مقطع از رودخانه

با توجه به این که رسم خطوط هم سرعت وقت گیر است برای محاسبه سرعت متوسط در یک مقطع تعدادی نقاط در سطح آب در آن مقطع انتخاب و سرعت متوسط آب در امتداد هر یک از خطوط عمودی که از این نقاط به داخل آب رسم شوند به یکی از روش های پنج گانه که در بالا اشاره شد اندازه گیری می شود. پس از آن که سرعت متوسط در امتداد هر یک از خطوط های عمودی بدست آمد با میانگین گیری آنها می توان سرعت متوسط را بدست آورد. بر طبق استاندارد تعداد این خطوط عمودی نباید از ۲۰ کمتر باشد و هر چه بیشتر باشد بهتر و نتایج دقیق تر است. برای این منظور نخی را در عرض رودخانه بسته و نقاط مورد اندازه گیری روی نخ با علامت مشخص می شوند سپس در محل هر علامت سرعت متوسط جریان اندازه گیری می شود و از روی آنها سرعت متوسط در مقطع به دست می آید (علیزاده، ۱۳۸۰).

## ۲-۲-۱-۲- محاسبه دبی

محاسبه دبی متوسط در یک جریان به طرق مختلف امکان پذیر است که ذیلاً به تشریح برخی از روش ها می پردازیم (علیزاده، ۱۳۸۰).

## الف - روش ریاضی:

اگر یک مقطع را مطابق شکل ذیل به چند قسمت  $b_1, b_2, \dots, b_n$  تقسیم کنیم و عمق آب در محل هر یک از تقسیمات  $d_1, d_2, \dots, d_n$  باشد با اندازه‌گیری سرعت متوسط در هر یک از نقاط تقسیم  $V_1, V_2, \dots, V_n$  می‌توان مقدار دبی را که از هر یک از قطعات تقسیم شده سطح مقطع می‌گذرد از فرمول زیر محاسبه کرد:

$$q_i \rightarrow (i+1) = \left[ \frac{\bar{V}_i + \bar{V}_{i+1}}{2} \times \frac{d_i + d_{i+1}}{2} \right] [b_i \rightarrow (i+1)]$$

که  $(m^3/sec) \rightarrow q_i =$  دبی در قسمتی از مقطع که بین دو خط عمودی  $i$  و  $i+1$  قرار گرفته است.

$\bar{V}_i$  = متوسط سرعت آب در خط عمودی  $i$ ، متر در ثانیه.

$\bar{V}_{i+1}$  = متوسط سرعت آب در خط عمودی  $i+1$ ، متر در ثانیه.

$d_i$  = عمق آب در خط عمودی  $i$ ، متر.

$d_{i+1}$  = عمق آب در خط عمودی  $i+1$ ، متر.

$[b_i \rightarrow (i+1)]$  = عرض سطح آب بین دو خط  $i$  و  $i+1$ ، متر.

با محاسبه  $q_i$  در هر یک از اجزای سطح مقطع مقدار دبی کل ( $Q$ ) عبارت خواهد بود:

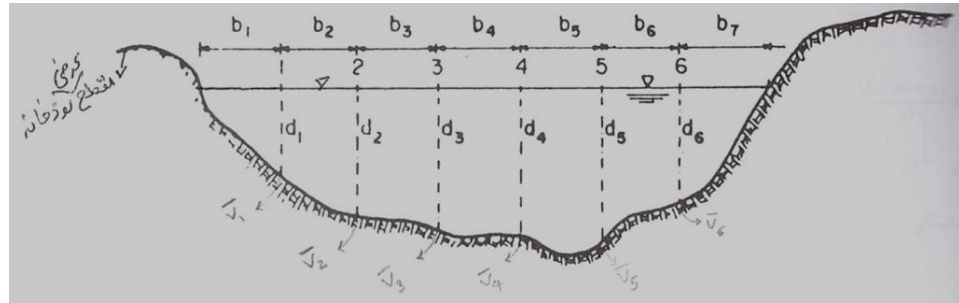
$$Q = \sum_{i=1}^n q_i$$

که  $n$  تعداد مقاطع است.

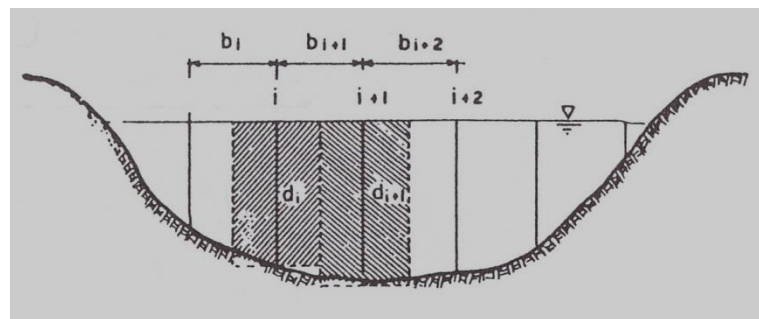
روش مشابه دیگر که برخی از هیدرولوژیست‌ها آن را ترجیح می‌دهند مطابق شکل (۲-۲) است که در

آن مقدار دبی در هر یک از مقاطع از فرمول ذیل به دست می آید:

$$q_i = d_i V_i \left( \frac{b_i}{2} + \frac{b_{i+1}}{2} \right)$$



شکل ۲-۲- اندازه‌گیری به روش ریاضی



شکل ۲-۲- اندازه‌گیری به روش ریاضی

### ب - روش خطوط هم سرعت:

همانطور که قبلاً بحث شد با رسم خطوط هم سرعت می‌توان سرعت متوسط آب در یک مقطع را بدست آورد اگر  $A_i$  مساحت بین هر دو خط هم سرعت و  $V_i$  سرعت متوسط روی این مساحت باشد (میانگین سرعت در خط بالا و پایین آن) مقدار دبی عبارت خواهد بود از:

$$Q = \sum_{i=1}^n V_i \times A_i$$

## ۲-۱-۳- راندمان انتقال<sup>۱</sup> شبکه

راندمان انتقال در کانال‌های خاکی گاهی تا ۵۰ درصد کاهش می‌یابد. در کانال‌های بتني این راندمان تا ۹۵ درصد می‌رسد. برای محاسبه راندمان انتقال کانال از رابطه زیر استفاده می‌گردد:

$$E = \frac{Q_{out}}{Q_{in}} \times 100$$

در معادله فوق، E: درصد راندمان انتقال،  $Q_{out}$ : دبی ورودی به بازه (مترمکعب بر ثانیه)،  $Q_{in}$ : دبی خروجی از بازه (مترمکعب بر ثانیه) می‌باشد (فرداد، ۱۳۷۵).

## ۲-۱-۴- اندازه‌گیری کدورت

کدورت یا تیرگی عبارت است از میزان یا شدت نوری که توسط ذرات جامد پراکنده می‌شود. مقدار کدورت به عوامل متعددی از قبیل غلظت رسوب، اندازه ذرات رسوب، شکل رسوب، نوع مواد معدنی تشکیل دهنده رسوب، مواد آلی درون آب و رنگ رسوب بستگی دارد. میزان کدورت در ابتدا توسط کدورتسنج شمعی جکسون<sup>۲</sup> که شامل سیلندر شیشه‌ای مدرج بلندی بود و شمع استانداردی زیر آن قرار می‌گرفت، اندازه‌گیری می‌شد. برای اندازه‌گیری کدورت، آب حاوی رسوب به درون سیلندر ریخته می‌شد تا در یک ارتفاعی قرار گیرد که دیگر نور شمع از بالا قابل روئیت نباشد. امر وزه از این وسیله دیگر استفاده نمی‌شود و در حال حاضر از کدورتسنج‌هایی که اساس آنها بر اندازه‌گیری مقدار کاهش شدت نور عبور کرده از یک فاصله‌ی مشخصی استوار می‌باشد، استفاده می‌گردد. به دلیل راحتی اندازه‌گیری کدورت در مقایسه با اندازه‌گیری غلظت مواد معلق، تلاش محققین بر این بوده است که بتوان با اندازه‌گیری کدورت مقدار بار معلق رودخانه‌ها را تعیین کرد. در این صورت مقدار بار معلق را می‌توان به صورت زنده اندازه‌گیری کرد. از این رو اخیراً کاربرد وسایل اندازه‌گیری کدورت مورد توجه قرار گرفته است (شفاعی بجستان، ۱۳۹۰).

<sup>1</sup> Conveyance efficiency

<sup>2</sup>Jackson candle turbidimeter

## ۱-۴-۱-۲- رابطه‌ی بین کدورت و غلظت مواد معلق

مطالعات نشان داده است که بین کدورت و غلظت مواد معلق می‌توان رابطه‌ای با درجه‌ی برازش بالا پیدا کرد. چنین رابطه‌ای برای رودخانه‌هایی که اندازه‌ی ذرات مواد معلق تغییر چندانی ندارند به صورت خطی می‌باشد:

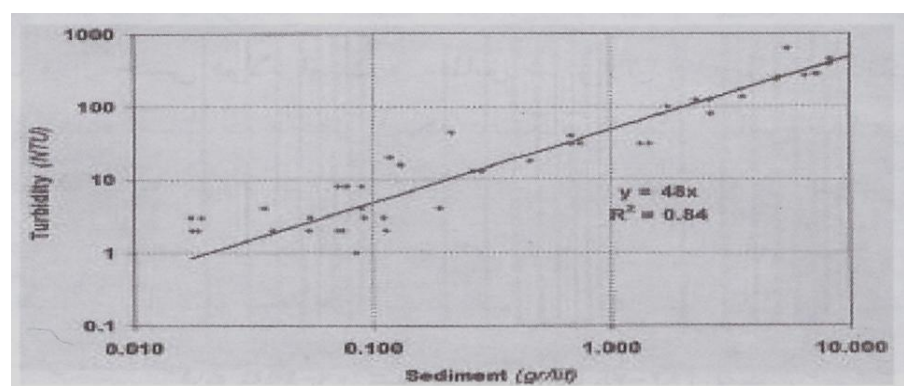
$$T = kc + b$$

که در آن  $C$  = غلظت مواد معلق،  $T$  = کدورت و  $k$  = ضریب کدورت است مقدار  $b$  نیز بستگی به مواد آلی دارد. در صورتی که اندازه‌ی ذرات مواد معلق با تغییر کدورت تغییر کند، در آن صورت رابطه به صورت غیر خطی است:

$$T = ca^n + b$$

چنین روابطی برای هر ایستگاه آب سنجی از رودخانه باید ایجاد گردد. ممکن است حتی برای هر ایستگاه این رابطه در فصول مختلف متفاوت باشد. هر چه مشخصات رسوب ثابت باشد ارتباط بهتری بین غلظت و کدورت برقرار می‌شود (شفاعی بجستان، ۱۳۹۰).

شکل (۳-۲) رابطه بین کدورت و غلظت رسوب معلق در مخزن سد دز را نشان می‌دهد.



شکل ۲- رابطه‌ی بین کدورت و غلظت رسوب معلق در مخزن سد دز

## ۲-۱-۵- اندازه‌گیری بار معلق

بار معلق رودخانه از حاصلضرب غلظت رسوب معلق در مقدار دبی به دست می‌آید چون غلظت رسوب معلق هم نسبت به عمق و هم نسبت به عرض متفاوت است می‌توان از رابطه‌ی زیر مقدار بار معلق در هر مقطع از رودخانه را محاسبه کرد:

$$Q_s = \sum_{i=1}^n C_i Q_i$$

که در آن  $C_i$  عبارت است متوسط عمقی غلظت رسوب و  $n$  نشان دهنده شمارهٔ بخشی از مقطع می‌باشد که در آن بخش غلظت اندازه‌گیری شده است و  $n$  تعداد زیربخش‌های هر مقطع عرضی را نشان می‌دهد. ( $Q_i$ ) نیز عبارت است از مقدار دبی مربوط به هر زیربخش مقطع عرضی. برای تقسیم مقطع عرضی به زیربخش‌ها دو روش استفاده می‌شود. یکی روش تقسیم به زیربخش‌هایی با دبی یکسان<sup>۱</sup>، روش EDI، و دیگری تقسیم به زیربخش‌هایی با عرض یکسان<sup>۲</sup>، روش EWI است. در روش EDI، تمام مقطع عرضی به حداقل ۴ و حداقل ۹ زیربخش با دبی مساوی ولی با عرض‌های متفاوت تقسیم می‌شود. آنگاه مقدار غلظت متوسط عمقی رسوب معلق ( $C_i$ ) در هر خط قائم در مرکز هر زیربخش اندازه‌گیری می‌گردد (شفاعی بجستان، ۱۳۹۰).

با توجه به یکسان بودن مقدار دبی در هر زیربخش رابطه به صورت ذیل نوشته می‌شود:

$$Q_s = Q_n \sum_{i=1}^n C_i$$

که در آن  $Q_n$  عبارت است:

$$Q_n = \frac{Q}{n}$$

در روش EDI، تعداد خصوص قائم که در آنها  $C_i$  اندازه‌گیری می‌شود کمتر از روش EWI است ولی برای استفاده از این روش ضروری است که ابتدا توزیع عرضی دبی در مقطع عرضی مشخص باشد تا بتوان به زیربخش‌هایی با دبی مساوی تقسیم کرد.

<sup>۱</sup> Equal discharge increment (EDI) method

<sup>۲</sup> Equal width increment (EWI) method.

در روش EWI لازم است تا عرض مقطع به حداقل ۱۰ و حداکثر ۲۰ زیربخش تقسیم و مقدار  $C_i$  در هر خط قائم در مرکز هر زیربخش اندازه گیری گردد. با توجه به اینکه مقدار دبی در هر زیربخش با زیربخش دیگر متفاوت است، ضروری است تا مقدار دبی هر زیربخش اندازه گیری گردد. در آن صورت مقدار دبی بار معلق از رابطه‌ی ذیل به دست خواهد آمد:

$$Q_s = \sum_{i=1}^n C_i Q_i$$

برای اندازه گیری غلظت رسوب معلق نمونه‌بردارهای مختلف شرایط طراحی شده است که در ادامه ارائه می‌شوند. هدف این نمونه‌بردارها برداشت نمونه‌ای است که معرف مخلوط آب و رسوب در حال حرکت در مجاورت نمونه‌بردار باشد (شفاعی بجستان، ۱۳۹۰).

ضوابطی که برای طراحی و ساخت نمونه‌بردارهای غلظت مواد معلق باید لحاظ گردد عبارتند از:

- امکان ورود آب به نازل بصورت ایزوسینتیک باشد (در نمونه‌بردارهای ایزوسینتیک، در حین ورود آب به روزنه هیچ تغییری در سرعت و جهت آن رخ نمی‌دهد).
- نازل نمونه‌بردار باید تا حدی که ممکن است به بستر جریان نزدیک باشد.
- آشتفتگی الگوی جریان بخصوص در نزدیکی نازل باید به حداقل ممکن برسد.
- دارای قابلیت سازگاری با وسایل اندازه گیری موجود باشد.
- تا حد ممکن ساده و نگهداری آن آسان باشد.
- لازم است تا اندازه‌ی بطری که نمونه‌ی آب و رسوب درون آن قرار می‌گیرد استاندارد در نظر گرفته شود.
- نمونه‌بردار غلظت مواد معلق دارای نازلی است که در جهت جریان قرار می‌گیرد. بخشی از جریان از طریق نازل وارد محفظه نمونه‌بردار می‌شود

## ۱-۵-۱- نمونه بردارهای عمقی یا تجمعی

نمونه بردار عمقی به منظور جمع آوری یک نمونه از راستای عمودی جریان به صورت پیوسته و ایزوسینتیک طراحی شده است. نمونه بردار عمقی ساده، در حالیکه که به طرف بستر پایین آورده و سپس به سطح آب بر می گردد نمونه ای از آب و رسوب را جمع آوری می کند. نمونه بردار عمقی، متصدی را قادر می سازد که از نقاط یا قسمت هایی از یک قائم به طور ایزوسینتیک نمونه برداری کند. در مقاطعی که عمق جریان از ده متر کمتر باشد، از تمام عمق جریان می توان در یک جهت و در یک زمان از طریق باز کردن شیر و حرکت از سطح به کف و بالعکس نمونه برداری کرد.

## ۱-۵-۲- نمونه بردارهای نقطه‌ای

نمونه بردارهای نقطه‌ای در مقایسه با انواع ساده نمونه بردارهای عمقی دارای قابلیت بیشتری هستند. این نمونه بردارها را میتوان به منظور جمع آوری نمونه‌ی رسوب معلق در هر عمقی از سطح جریان تا فاصله چند سانتی‌متری بستر، به کار برد.

## ۱-۶-۱- روش‌های تعیین بار معلق

### ۱-۶-۱-۱- تئوری بار معلق و معادله رأس<sup>۱</sup>

طبق تعریف، به کلیه‌ی مواد رسوبی که وزن آنها توسط مایع حمل می‌شود و در نتیجه درون مایع قرار داشته و با همان سرعت جریان انتقال می‌یابند، مواد معلق می‌گویند. میزان وزن مواد معلق عبوری از یک مقطع مشخص در واحد زمان را بار معلق می‌نامند. واحد آن، نظیر بار بستر، مقدار وزن مواد رسوبی در واحد زمان معمولاً تن در روز می‌باشد (شفاعی بجستان، ۱۳۹۰).

چنانچه میزان غلظت مواد معلق یک مقطع مشخص در واحد زمان به  $C$  نشان داده شود و سرعت مایع

<sup>۱</sup> Rouse

که از این مقطع عبور می‌کند برابر ۷ باشد، در آن صورت بار معلق برابر خواهد بود با:

$$q_s = \int_a^d C v dy \quad (1-2)$$

در رابطه‌ی فوق  $a$  عمقی است که از آن عمق به بالا، مواد رسوبی به صورت معلق در حرکت هستند و  $d$  عمق جریان می‌باشد.

با توجه به مطالب فوق، برای به دست آوردن رابطه‌ای که بتواند بار معلق را پیش‌بینی کند، لازم است توزیع غلظت مواد معلق در اعماق مختلف جریان و همچنین نیمرخ سرعت معلوم باشد. از سویی مهم‌ترین نیمرخ سرعت در کانال‌های باز، توزیع لگاریتمی سرعت می‌باشد. اینشتین نشان داد که سرعت جریان در هر عمق را می‌توان مطابق رابطه‌ی (۲-۲) تعیین کرد:

$$\frac{v}{u_*} = 5.75 \log \left( \frac{30.2yx}{D_{65}} \right) \quad (2-2)$$

که در آن  $v$  سرعت جریان،  $u_*$  سرعت برشی،  $y$  عمق جریان،  $x$  ضریب تصحیح رژیم جریان از بستر نرم به بستر زبر و  $D_{65}$  (قطری که درصد ذرات از آن کوچکترند) می‌باشد.

برای تعیین توزیع عمقی غلظت مواد معلق، رأس<sup>۱</sup> تئوری زیر را ارائه داده است.

رأس فرض کرد که برای جریان دو بعدی یکنواخت ماندگار، غلظت مواد معلق نسبت به عمق تغییر می‌کند و اینکه مواد رسوبی بستر در اثر عمل پخشیدگی<sup>۲</sup> در جهت عمودی حرکت می‌کنند، یعنی پخشیدگی فقط در عمق صورت می‌گیرد و غلظت مواد معلق در جهت جریان تغییر نمی‌کند در نتیجه هیچ‌گونه پخشیدگی در جهت طولی صورت نخواهد گرفت. با توجه به فرضیات فوق و این که تغییرات غلظت در هر عمقی نسبت به زمان ثابت است، معادله‌ی پخشیدگی به صورت زیر خواهد بود:

$$v_v \frac{\partial C}{\partial y} = \frac{\partial}{\partial y} (\epsilon_s) \frac{\partial C}{\partial y} \quad (3-2)$$

<sup>1</sup> Rouse

<sup>2</sup> Diffusion

در اینجا  $V_v$  مؤلفه عمودی سرعت مواد معلق می باشد که بجای آن از  $\omega$ - یعنی سرعت سقوط ذرات استفاده می شود. ضریب پخشیدگی  $\epsilon_s$  نیز به ضریب ادی<sup>۱</sup> در جریان های درهم ربط داده می شود. در نتیجه معادله (۳-۲) پس از انتگرال گیری به صورت زیر تغییر می کند:

$$\omega C + (\epsilon_s) \frac{dC}{dy} = K \quad (4-2)$$

که  $K$  مقدار ثابت انتگرال می باشد و با توجه به این که وقتی  $y=0$  مقدار  $C=0$  در نتیجه  $\frac{dC}{dy}$  و از

آنجا:

$$\omega C + (\epsilon_s) \frac{dC}{dy} = 0 \quad (5-2)$$

رابطه فوق شامل دو جمله می باشد که از نظر فیزیکی هر جمله دارای مفهوم خاصی است: اولین جمله

یعنی  $\omega C$  نشان دهنده میزان مواد رسوبی است که در واحد سطح نهشته می شوند و دومین جمله،

یعنی  $(\epsilon_s) \frac{dC}{dy}$ ، میزان مواد رسوبی است که در اثر جریان های درهم به طرف بالا از واحد سطح عبور

می کند تحت شرایط جریان ماندگار دو جمله فوق به یک حالت تعادل می رسند. بطوری که نرخ

خالص تبادل در هر لایه موازن بستر صفر می گردد.

"راس" مقدار ضریب پخشیدگی را به ضریب "ادی" در جریان های درهم مرتبط کرد:

$$(\epsilon_s) = \beta \epsilon \quad (6-2)$$

در این رابطه  $\beta$  ضریبی است که مقدار آن بر اساس نظر بیشتر محققان برابر واحد می باشد. البته

فان راین<sup>۲</sup> رابطه زیر را برای برآورد این ضریب پیشنهاد داده است:

$$\beta = 1 + 2 \left( \frac{\omega}{u_*} \right)^2 \quad 0 < \frac{\omega}{u_*} < 1 \quad (7-2)$$

<sup>1</sup> Eddy coefficient

<sup>2</sup> Van Rine

از طرفی تنش برشی در جریان‌های درهم طبق قانون رینولدز برابر است با:

$$\tau = \rho \varepsilon \frac{dv}{dy}$$

که  $\rho$  جرم واحد حجم مایع و  $\varepsilon$  ضریب ادی می‌باشد. مقدار  $\beta$  ضریب تصحیح است. در نتیجه میزان تنش برشی در جریان‌های درهم بر حسب  $\varepsilon$  برابر است با:

$$\tau = \rho \frac{\varepsilon_s}{\beta} \frac{dv}{dy} \quad (8-2)$$

از سویی در یک کانال باز میزان تنش برشی در هر لایه در عمق  $y$  از بستر کانال برابر است با:

$$\tau = \tau_0 \left(1 - \frac{y}{d}\right) \quad (9-2)$$

که در آن  $\tau_0$  تنش برشی در بستر کانال می‌باشد و برای کانال پهن برابر است با  $d \gamma dS$  که  $d$  عبارت است از عمق جریان در کانال و  $S$  شیب کانال می‌باشد.

نسبت  $\frac{dy}{dS}$  را می‌توان با استفاده از تئوری فان – کارمن<sup>۱</sup> به صورت زیر نوشت:

$$\frac{dy}{dS} = \frac{u_*}{ky} \quad (10-2)$$

که  $k$  ثابت کارمن می‌باشد که معمولاً برابر است با  $0.4$  می‌باشد.

از ترکیب روابط (8-2)، (9-2) و (10-2) می‌توان مقدار  $\varepsilon$  را بر حسب سایر متغیرها محاسبه کرد در

این صورت:

$$\varepsilon_s = \beta k u_* \frac{y}{d} (d - y) \quad (11-2)$$

با قرار دادن مقدار  $\varepsilon$  در معادله دیفرانسیل پخشیدگی، رابطه‌ی (5-3) می‌توان نوشت:

$$\omega C + \beta k u_* \frac{y}{d} (d - y) \frac{dc}{dy} = 0 \quad (12-2)$$

---

<sup>1</sup> Van - karman

و از آنجا:

$$\frac{dC}{C} = \frac{-\omega dy}{\beta k u_* (1-y/d)y} = -Z \frac{dy}{(1-y/d)y} \quad (13-2)$$

که در آن  $Z = \frac{\omega}{\beta k u_*}$  می‌باشد.

با انتگرال‌گیری از رابطه‌ی (13-2):

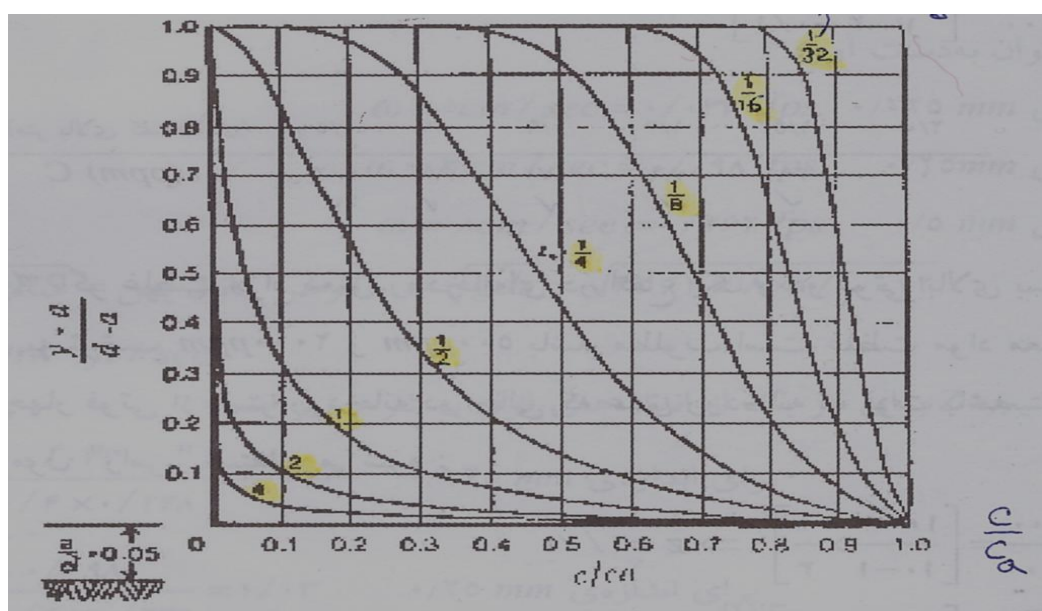
$$[LnC]_a^d = \left[ Ln \left( \frac{d-y}{y} \right)^z \right]_a^d \quad (14-2)$$

که پس از ساده‌کردن:

$$\frac{C}{C_a} = \left( \frac{d-y}{y} \frac{a}{d-a} \right)^z \quad (15-2)$$

که  $C_a$  عبارت است از میزان غلظت مواد معلق در عمق  $a$  از بستر رودخانه.

معادله‌ی اخیر، که توزیع غلظت مواد معلق را در اعمق مختلف نشان می‌دهد، به معادله‌ی راس معروف است. شکل (۴-۲) توزیع غلظت را بر حسب مقادیر مختلف  $Z$  نشان می‌دهد. مطابق این شکل ملاحظه می‌شود که هر چه مقدار  $Z$  کوچکتر شود و اندازه ذرات ریزتر شوند توزیع غلظت این ذرات در عمق کanal یکنواخت‌تر خواهد بود (شفاعی بجستان، ۱۳۹۰).



شکل ۴-۲ - توزیع غلظت بر حسب مقادیر مختلف  $Z$

بطورکلی بروز ترک‌ها در لاینینگ کanal را می‌توان به سه پارامتر شامل نشست بستر، پدیده بالازدگی (قوس‌شدگی) یا نیروی هیدرواستاتیکی ناشی از آف سریع سطح آب کanal در پشت لاینینگ کanal منتب نمود. در زیر این سه پدیده تشریح گردیده است.

### پدیده نشست بستر

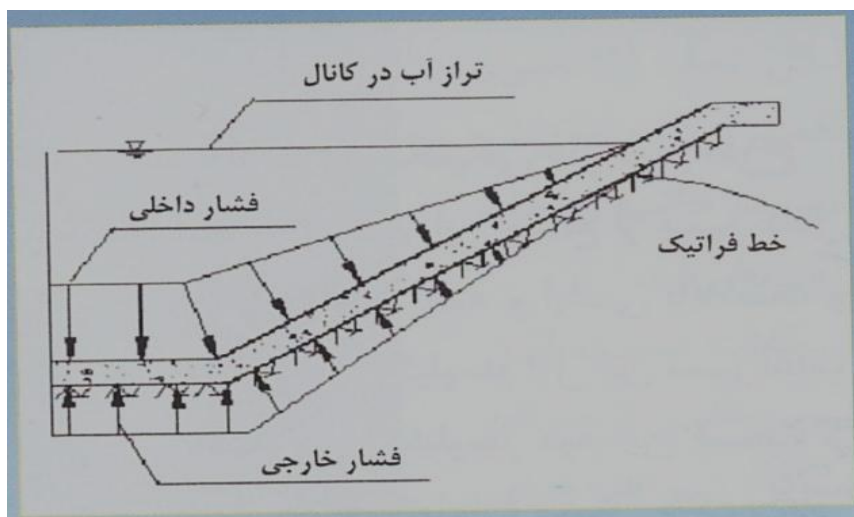
عبور مسیر کanal از لایه‌های خاکی ناپایدار که در اثر اشباع شدگی ناشی از نشت آب از بدنه کanal یا نفوذ زه‌آب‌های ناشی از آبیاری اراضی بالادست کanal یا نفوذ آب‌های سطحی ناشی از بارندگی به پشت بستر لاینینگ کanal، دچار نشستهای متقارن یا نامتقارن شده و در هر حالت می‌تواند منجر به نشست در بدنه کanal و ایجاد ترک کششی گردد. وجود ترکیبات گچی و آهکی در میسر بستر کanal نیز به نوبه خود می‌تواند منجر به ایجاد نشست در بستر لاینینگ کان ال گردد (بیرامی، ۱۳۸۷). بدین ترتیب که با نشت آب از بدنه و درزهای کanal پدیده انحلال خاک بستر در زیر بدنه لاینینگ کanal شکل گرفته و پدیده نشست بروز می‌نماید که اثر غائی آن بروز یا گسترش ترک‌های کششی در مقطع لاینینگ می‌باشد. این نوع ترک‌ها به موازات امتداد مسیر کanal، عمدها در یک سوم میانی بدنه کanal و ندرتاً در کف کanal قابل مشاهده‌اند.

### پدیده قوس‌شدگی (بالازدگی)

پدیده‌ی قوس‌شدگی یا بالازدگی نیز یکی از پدیده‌های مخرب در پوشش (لاینینگ) کanal‌هاست که ناشی از تورم مصالح بستر در اثر تماس با آب می‌باشد. زمانی که در اثر تورم خاک بستر که معمولاً در خاک‌های گچ‌دار خشک (حاوی آنیدرید) رخ می‌دهد، تنشهای فشاری در خاک ایجاد شده که این تنشهای در جهت نیمه‌ی بینهایت محیط یعنی به سمت لاینینگ کanal شروع به افزایش می‌نمایند و به تدریج بر وزن بتن لاینینگ غلبه نموده و در قسمت پاشنه ی شیب مقطع ذوزنقه که تنشهای برشی ناشی از جریان آب در کanal نیز در این قسمت حداکثر می‌باشد به صورت ترک‌های سراسری در جهت امتداد کanal بروز می‌یابند (طلائی و همکاران، ۱۳۹۰).

## أفت سریع سطح آب داخل کanal

بر حسب تعریف نرخ کاهش عمق آب در هر نقطه از کanal را افتادگی سطح آب می گویند. این پدیده در خاک هایی که به دلیل نفوذناپذیری زیاد قابلیت زهکشی کمی دارند می تواند منجر به تخریب و آسیب های جدی به پوشش لاینینگ کanal گردد . تخریب زمانی اتفاق می افتد که نیروی هیدرولاستاتیک در زیر پوشش کanal بر نیروهای واردہ از سمت داخل کanal غلبه نماید . زمانی که پوشش کanal تقریباً نفوذناپذیر بوده و خاک بستر به کندی زهکشی شود در صورتی که سطح آب کanal به طور ناگهانی پایین بیاید تراز خط اشباع (خط فراتیک) پشت لاینینگ نمی تواند به این سرعت پایین بیاید و لذا نیروی خالص وارد بر پوشش کanal بر عکس می گردد. شکل (۲-۵) تنش های واردہ بر بدن کanal را نمایش می دهد. در این شرایط وزن و مقاومت پوشش قادر به تحمل فشار و همچنین لنگرهای ناشی از فشارهای هیدرولاستاتیکی که باعث ایجاد نیروی کششی در مقطع بتی کanal شده نمی باشد و در نتیجه پدیده ترک لاینینگ و تخریب های متعاقب آن رخ خواهد داد (پورشهیدی، ۱۳۸۹).



شکل ۲-۵- تنش های واردہ بر بدن کanal

## ۷-۱-۲- تئوری تورم خاک و چگونگی ترک خوردن پوشش بتنی

خاک‌های تورم‌زا، خاک‌هایی هستند که در مجاورت رطوبت از دیاد حجم یافته و به نحو قابل توجهی متورم می‌شوند. فشار ناشی از این تورم در خاک‌های مذکور می‌تواند موجب تخریب پوشش کanal‌های آبیاری و کفسازی‌ها گردد. پدیده تورم، واکنش فیزیک و شیمیایی خاک و محیط بوده که مقدار آن بستگی به شدت نیروهای جاذبه و دافعه فیزیکی و شیمیایی دارد. مقدار تورم یک خاک بستگی کامل به نوع کانی‌های رسی و پیوندهای مولکولی موجود در آن دارد. در حال حاضر کانی‌های مونتموریلونیت به عنوان متورم شوندۀ‌ترین نوع کانی‌های رسی در مقایسه با ایلیت، کائولینیت و غیره شناخته شده‌اند. مکانیزم‌های متفاوتی برای نحوه بروز تورم بیان شده که جزئیات آنها به خوبی روشن نمی‌باشد. چنین استنباط می‌شود که در یک خاک رسی کاملاً خشک، کاتیون‌ها به شدت جذب سطحی رویه‌های کلوئید رس با قطب منفی می‌شوند. مازاد کاتیون‌هایی که برای خنثی کردن بار الکتریکی رس مورد نیاز است، بصورت نهشتۀ‌های املاح در اطراف کلوئیدها یافت می‌شوند. حال اگر به این رس آب برسد املاح کاتیونی در آب حل شده و نتیجتاً فعال می‌شوند و از طرفی تمایل دارند که از سطح رس دور شوند زیرا سطح رس قبلاً بوسیله کاتیون‌هایی که بار مثبت دارند اشغال گردیده است. از طرف دیگر کاتیون‌های چسبیده به سطح ذرات رس هم می‌خواهند به تبعیت از قوانین اسمزی از سطح کلوئید دور شده و غلظت کاتیونی یکنواخت را در اطراف ذره رسی پدید آورند. این پدیده باعث دور گشتن ذرات رس از یکدیگر می‌شود. این امر ضمن جذب آب، حجم کلی خاک را افزایش و تورم خاک را سبب می‌شود (عسکری ف و فاخر ع، ۱۳۷۲).

نحوه ایجاد خسارت در پوشش بتنی کanal‌ها بر اثر وجود خاصیت تورم‌زایی خاک بدین صورت است که بعد از خاک برداری کanal و آماده کردن جداره برای اجرای پوشش، رطوبت خاک بستر و جداره کanal کاهش می‌یابد، خصوصاً اگر فاصله زمانی بین گودبرداری، خاک‌کوبی و بتن ریزی، زیاد باشد. پس از بتن‌ریزی بعلت عدم امکان تبادل رطوبتی خاک با هوای بیرون و همچنین نزدیکی خاک به سطح آب

زیرزمینی رطوبت بستر افزایش یافته و این امر با توجه به سربار کم در محل ، باعث تورم خاک و در نتیجه بالا آمدن پوشش بتنی کanal می شود. با توجه به اینکه معمولاً قالب‌های بتنی جداره کanal به کف آن اتصال دارد ، نیروهای ناشی از تورم بر نیروهای برشی ما بین خاک و بتن غلبه کرده و این قسمت از کanal نیز بالا آمده و بتن از خاکریز جدا می‌گردد. همچنین بالا آمدن پوشش کفال ، فاصله‌ای را بین جدار خاکی و پوشش بوجود می‌آورد که این امر خود باعث شسته شدن خاک زیر پوشش بتن شده و تدریجاً باعث ترک خوردن بتن می‌شود. از طرف دیگر پدیده‌ی جدا شدن بتن از خاک ، باعث خشک شدن غیر یکنواخت خاکریز در دو طرف کanal شده و در نتیجه به ایجاد تورم غیر یکنواخت در خاکریزی کمک کرده و منجر به تغییر شکل هایی در سطح جدار کanal می‌گردد. این روند در حالت عادی برای خاک هایی که ذاتاً متورم شونده می‌باشد، اتفاق می‌افتد. روشن است که درجه حرارت شدید هوا، تعییه درزهای انقباض بصورت ناصحیح (چه از نظر شکل، چه از نظر تعداد)، همگی از جمله عواملی هستند که نقش تورمی خاک را تشدید می‌نمایند (وان<sup>۱</sup>، ۱۹۸۵).

هر چه مقدار تراکم خاکریز بیشتر شود ، بعلت افزایش وزن واحد حجم توده خاک ، مقدار بیشتری از ذرات رس در یک حجم معین قرار می گیرند. نتیجتاً پدیده تبادل کاتیونی افزایش پیدا می کند و بالاخره قابلیت تورم خاکریز شدت می یابد. به همین ترتیب هر چه مقدار رطوبت خاک در حال کوبیدگی افزایش یابد ، وزن واحد حجم خاک متراکم پایین آمده و قابلیت تورم خاک نیز کاهش می یابد (بارتکوب و همکاران، ۱۳۸۴).

<sup>1</sup> swan

## ۲-۲- پیشینه تحقیق

دفتر همکاری‌های سازمان ملل متحد<sup>۱</sup> در سال ۱۹۷۳ جهت بهبود راندمان‌های توزیع آب در شبکه‌ها، تحقیقاتی در زمینه‌ی عملکرد آبگیرها انجام داده و بر اساس نتایج بدست آمده مشخص گردید که وجود مواد معلق در آب و ترکیب مواد ، تغییرات و نوسانات سطح آب در منبع و میزان حساسیت و دقیق‌تر از آبگیرها، در انتخاب نوع آبگیر مؤثر است. همچنین پیشنهاد گردید در موقعی که سطح آب از منبع تأمین آب آبگیر دستخوش نوسانات و تغییرات زیاد است باید از آبگیرهایی که نسبت به نوسانات سطح آب در با لادست حساس نبوده و حتی المقدور دبی ثابتی را تأمین می‌نماید، استفاده گردد.

در تحقیقی که در تعدادی از شبکه‌های دشت‌های خوزستان، تبریز و کرمانشاه انجام شده متوجه راندمان انتقال بین ۲۳ تا ۵۰ درصد، برآورد شده است (میرابوالقاسمی، ۱۳۷۳).

در سال ۱۹۹۷ جی بوس<sup>۲</sup> شاخص‌هایی را به منظور ارزیابی شبکه‌های آبیاری و زهکشی ارائه کرده است. این شاخص‌ها توزیع آب ، راندمان استفاده از آب ، مدیریت و پایداری سیستم را از نظر زیست‌محیطی شامل می‌شود.

احتشامی و همکاران (۱۳۷۹) با استفاده از اندازه گیری‌های صحرائی ، بازده انتقال ، توزیع و بازده شبکه‌ی آبیاری دشت قزوین را برآورد نمودند. با استناد به نتایج حاصله از آزمایش‌های انجام شده، متوجه بازده انتقال و توزیع در شرق قزوین به ترتیب  $90/47$  و  $60/88$  درصد همچنین در غرب قزوین این مقادیر معادل  $47/4$  و  $45/4$  درصد محاسبه گردید که به این ترتیب بازده شبکه در شرق قزوین برابر  $55/1$  درصد و در غرب آن معادل  $40/4$  درصد می‌باشد. به عبارت دیگر تقریباً نیمی از آب

<sup>1</sup> United Nation Office Of Technical Cooperation

<sup>2</sup> G.Bos Marinus

استحصالی از سد زیاران قبل از رسیدن به محل مصرف آن یعنی مزارع، تلف می‌شود. نامبردگان دلایل متعدد فنی و اجتماعی را برای این مسئله ذکر کرداند.

سهرابی و جوادپور (۱۳۸۴) متوسط راندمان انتقال در کanal های درجه‌ی ۱ تا ۴ را به ترتیب ۹۶/۷، ۹۵/۱، ۸۶/۳ و ۷۳/۸ درصد برای طول ۱۰۰۰ متر بدست آورد. وی اظهار داشت که به علت عدم کنترل، بازبینی و مرمت قسمت های تخریب شده سیستم، خصوصاً در کanal های توزیع، بهره وری شبکه رو به کاهش است.

فاکون<sup>۱</sup> در سال ۲۰۰۱، عملکرد شبکه‌ی ماکاماتا<sup>۲</sup> در تایلند را به کمک فرآیند ارزیابی سریع مورد بررسی قرار داد و به مدرن کردن سیستم توزیع آب و همچنین توامند ساختن سازه‌های موجود در شبکه‌ی آبیاری به منظور اختصاص بهینه‌ی آن پرداخت.

در پی پدید آمدن ترک‌هایی در پوشش بتنی برخی از کanal های آبیاری استان خوزستان تحقیقات میدانی و آزمایشگاهی جهت یافتن علل وقوع و رفع آن توسط باروتکوب و همکاران (۱۳۸۴) به عمل آمد. نتایج تحقیقات انجام شده نشان داد که ترک های طولی ناشی از پتانسیل تورم آزاد خاکریزهای ریزدانه در محدوده  $\frac{1}{3}$  پایینی طول شیب قالب بتنی کanal حادث می گردد. این در حالی است که استانداردهای رایج محل درز طولی پایینی کanal ها را بطور معمول ۳۰ سانتیمتر از کف و آرایش درزهای طولی و عرضی دیگر را، بر اساس سطح هر قالب ۹ مترمربع پیشنهاد نموده‌اند.

شرکت جهاد نصر خراسان در سال ۱۳۸۴ در پژوهشی تحت عنوان «انعکاس تجربیاتی در احداث کanal های روباز در مناطق خشک کویری و بررسی مشکلات و ارائه راه حل ها»، مسقف نمودن کanal های آب موجود، استفاده از هر نوع کanal متروکه مسقف نظیر گالری های قنوات و ساخت

<sup>1</sup> Facon Thirry

<sup>2</sup> Makhmathao

کانال‌های مسقف و یا استفاده از شبکه‌های تحت فشار جهت انتقال آب را در مناطق خشک و کویری که آب با قیمت گراف به دست آمده و مشکلات فراوانی نظیر نفوذ ، تبخیر، تعرق و... که باعث تلفات شدید این مایع ارزشمند شده و از طرفی عوامل جدی نظیر باد، شن روان، سیلاب و... کانال‌های انتقال آب را در این مناطق به شدت تهدید می‌نماید، انجام داد.

در سال ۲۰۰۵ شاهرخنیا و جوان<sup>۱</sup> توسط مدل‌های هیدرولیکی نظری HEC-RAS به ارزیابی شبکه آبیاری درودزن در استان فارس در ایران پرداختند و سیستم‌های توزیع آب در داخل شبکه و آبگیرها را مورد بررسی قرار دادند.

درباره عملکرد و مشکلات سازه‌های اندازه‌گیری نیرپیک در شبکه‌های آبیاری و زهکشی، بهزادی نصب و همکاران (۱۳۸۵)، تحقیقی را روی شبکه‌های آبیاری و زهکشی دشت اوان و شمال شرق اهواز انجام دادند بر طبق نتایج این پژوهش برای عدم دقت این سازه ها عواملی به صورت زیر بیان گردید:

رسوب‌گذاری کanal در بالادست سرریزهای نوک اردکی، عدم دقت در طراحی رقوم آستانه نصب سازه، تخریب سرریز نوک اردکی، ایجاد اغتشاش در سطح آب به علت عدم رعایت فاصله آبگیری از خروجی سازه‌های بالادست در کanal، بالا آمدن سطح آب کanal پایین دست نسبت به سطح آب پیش‌بینی شده به علت اجرای شبکه‌های فرعی، تغییر مقدار عمق آب نسبت به عمق آب پیش‌بینی شده در کanal بالادست یا پایین دست سازه به علت رسوب‌گذاری در کanal و در نتیجه کاهش ظرفیت کanal.

توکلیان (۱۳۸۶)، با بررسی روند ایجاد ترک‌های اولیه در پوشش بتنی کanal اصلی پروژه کوثر به این نتیجه رسید که حدود ۵۰ درصد از پانل‌های ترک خورده ، در فصل تابستان بتن ریزی شده بودند. همچنین تعداد پانل‌های ترک خورده ، با افزایش ضخامت بتن لاینینگ ، کاهش چشم‌گیری داشته

<sup>۱</sup> Shahrokhnia.M.A, Javan.M

است. نتایج حاصل از اعمال روش‌های ترمیم ترک لاینینگ نیز نشان داد که در صورت عدم استفاده از خاک‌های مسئله‌دار ( $PI > 30$ ) اصلاحات انجام شده، پایدار خواهد بود.

در یک تحقیق سه ساله، عوامل ترک و شکست لاینینگ در یک بازه‌ی ۱۸ کیلومتری کanal انتقال آب شهید چمران توسط نجفی بور (۱۳۸۷) مورد بررسی قرار گرفت و مشخص شد که سه عامل تورم، وجود خاک‌های نامتعارف و فشار آب زیرزمینی از بزرگترین عوامل ایجاد خسارت بر پوشش‌های بتی ایجاد شده می‌باشند.

به منظور ارزیابی نحوه‌ی عملکرد شبکه‌ی آبیاری دشت مهاباد و همچنین چگونگی فعالیت و کارکرد سازه‌های هیدرولیکی موجود در آن، تحقیقی توسط پوریعقوب و رضائی (۱۳۸۷) صورت گرفته است. نتایج بررسی‌های آنها نشان داده است که اگرچه این شبکه در حال فعالیت می‌باشد اما تا حدود زیادی مورد تخریب واقع شده است. این تخریب‌ها یا در اثر بهره برداری نادرست از شبکه و یا به دلیل عدم نظارت بر شبکه فرعی و یا اتمام عمر مفید سازه‌ها بوده که عدم ترمیم و ارزیابی در ورها و عدم اختصاص بودجه به منظور ارزیابی شبکه در برآورد هزینه‌های شبکه را به عنوان مهمترین عوامل نباید فراموش کرد.

در تحقیقی که توسط ملک پور و همکاران (۱۳۸۸) بر روی تخریب و خوردگی بتن بدن کanal انتقال آب انتهای دره‌تیگران به شهر ماهان واقع در استان کرمان انجام گرفت. به منظور بررسی علل تخریب ضمن مراجعات متعدد به محل، نمونه‌های مختلفی از آب جاری در کanal، بتن اجرا شده و مصالح مصرفی در ساخت بتن اعم از آب، سیمان، مصالح دانه‌ای شن و ماسه تهیه شده و آزمایش‌های مربوطه روی آنها انجام گردیده است. تحلیل نتایج آزمایشگاهی نشان می‌دهد عاملی که موجب تخریب بتن بدن کanal گردیده است، مقاومت و دوام پایین آن در مقابل سرما و یخ‌بندان می‌باشد. این مقاومت

پایین به علت مشکلات موجود در طرح اختلاط بتن مورد استفاده و روش ساخت بتن به وجود آمده است.

طلایی و همکاران (۱۳۹۰) در بررسی م شکلات ناشی از عدم مطالعات ژئوتکنیکی در مسیر کanal انتقال دره دائی - چشمہ پر در شهرستان الیگودرز به مشکلات ناشی از لغزش شیب های طبیعی بدلیل حذف پای شیروانی در اثر حفاری مسیر ، لغزش خاکریز جاده سرویس در اثر نشت آب از بدنه کanal، هجوم واریزه‌ها به کanal بدلیل تأثیرگذاری عوامل اقلیمی بر روی شیب ترانشه‌های حفاری شده به منظور احداث کanal و همچنین به بررسی انواع ترک در بتن لاینینگ کanal و عوامل بروز آنها پرداخته است.

# فصل سوم

مواد و روشها

## ۱-۳- موقعیت منطقه‌ی مورد مطالعه

### ۱-۱-۳- معرفی حوضه‌ی آبریز دشت گرمسار

دشت گرمسار یکی از حاصلخیزترین دشت‌های استان سمنان واقع در حاشیه‌ی جنوبی رشته کوه‌های البرز و با حوضه‌ی آبریزی به مساحت ۳۳۰۰ کیلومترمربع می‌باشد. که بین طول‌های جغرافیایی ۱۵° ۵۲' و ۳۵° ۵۲' شرقی و عرض‌های جغرافیایی ۵° ۳۵' و ۱۷° ۳۵' شمالی با ارتفاع متوسط ۸۷۵ متر از سطح دریا می‌باشد. این دشت از دیرباز از مراکز عمده‌ی کشاورزی حاشیه کویر بوده و محصولات زراعی و باغی متنوعی در آن کشت می‌شده است. آب سطحی قابل استحصال شبکه، تنها از طریق رودخانه‌ی حبله‌رود می‌باشد. حبله‌رود به نوبه خود از دو شاخه‌ی بزرگ حبله‌رود و نمرود تشکیل گردیده است. رودخانه‌ی نمرود بزرگترین شعبه‌ی تشکیل دهنده‌ی رودخانه‌ی حبله‌رود می‌باشد که ۵۶ درصد آب حبله‌رود را این رود تأمین می‌کند حبله‌رود که شاخه‌ی شرقی رودخانه بوده و پس از الحاق نمرود با همین نام تا دشت گرمسار ادامه می‌یابد. در بالادست آن دو شاخه اصلی به نامهای گورسفید و فیروزکوه می‌باشند. که منبع لئین کننده آب این شاخه‌ها کوه‌های پر برف البرز می‌باشد.

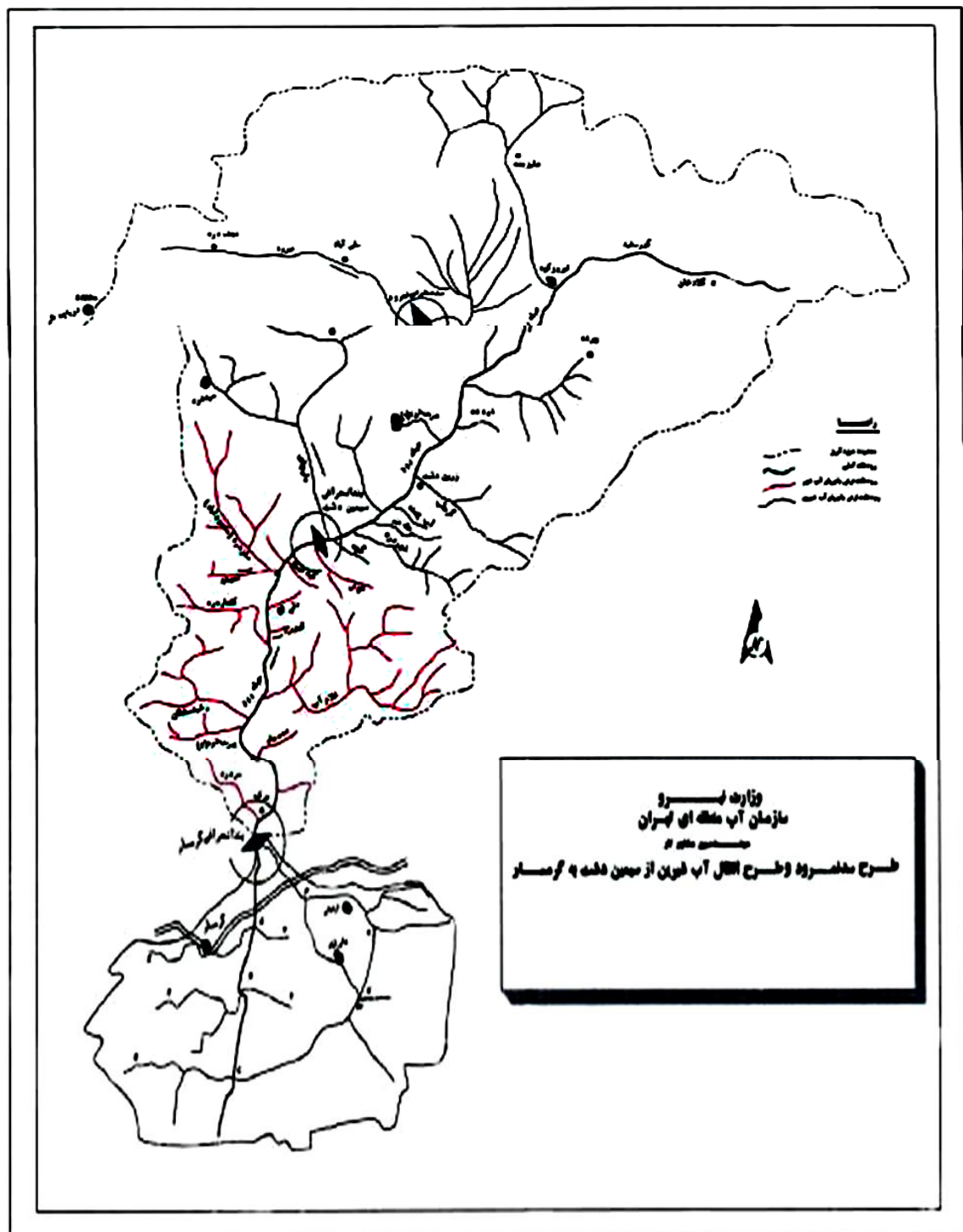
در حد فاصل بین سیمین دشت تا بنکوه ( محل وارد شدن حبله‌رود به دشت گرمسار ) کیفیت آب رودخانه به شدت افت پیدا می‌کند. علت آن را می‌توان به این صورت بیان نمود که حوضه‌ی آبریز حبله‌رود به مساحت ۳۳۰۰ کیلومتر مربع به دلیل عبور از تشکیلات نمکی از دو بخش علیا و سفلی تشکیل گردیده است. بخش علیای حوزه به مساحت حدوداً ۲۶۰۰ کیلومترمربع دارای بارش سالیانه نسبتاً زیاد، تشکیلات زمین‌شناسی مناسب و پوشش گاهی تقریباً مطلوب می‌باشد. آبدهی این بخش از حوضه حدود ۲۵۰ میلیون مترمکعب در سال است. که از نظر شرب و مصارف کشاورزی از کیفیت مطلوبی برخوردار است. در مقابل بخش سفلای حوضه از منطقه سیمین دشت تا بنکوه به مساحت ۶۸۰ کیلومترمربع دارای بارندگی سالیانه ناچیز و غالباً رگباری، قادر پوشش گاهی موج و پوشیده از تشکیلات تبخیری و گنبدهای نمکی می‌باشد. جریان حاصل از این بخش از حوضه از نظر حجمی تنها

حدود ۱۰ درصد آورد سالیانه حبله رود را تشکیل می‌دهد. در مقابل ۵۵ درصد کل املاح حمل شده توسط این رودخانه را ایجاد می‌نماید. شور شدن آب حبله رود که در این قسمت از حوضه انجام می‌شود به سه مکانیزم صورت می‌گیرد:

- از طریق جریان‌های شاخه‌های شور دارای جریان دائمی
- از طریق نفوذ جریان زیرزمینی شاخه‌های شور
- عبور جریان اصلی رودخانه از روی تشکیلات نمکی

با ورود جریان شاخه‌های شور از سیمین دشت به پایین دست، میزان املاح آب رودخانه به شدت افزایش می‌یابد به گونه‌ای که هدایت الکتریکی آن از ۵۰۰ میکرومیکروتر در بخش علیا، به حدود ۱۳۰۰ تا ۴۰۰۰ در منطقه‌ی بنکوه می‌رسد.

شکل (۱-۳) پلان مسیر رودخانه از محل ورود آن به محدوده شورکننده (منطقه سیمین دشت) تا بنکوه را نشان می‌دهد. جدول (۱-۳) نیز شاخه‌های فرعی آب شور که موجب کاهش چشمگیر کیفیت آب رودخانه شده اند را به همراه مشخصات هر یک ارائه می‌دهد. با توجه به مشخصات فیزیوگرافی حوضه و ارقام جدول مشاهده می‌شود که قسمت اعظم شوری از طریق شاخه‌های واقع در فاصله بین محدوده سیمین دشت تا ابتدای دشت گرمسار حاصل شده که برای حل این مشکل طرح جداسازی شاخه‌های شور و انحراف آب شیرین حبله رود از سیمین دشت تا دشت گرمسار توسط یک رشته کanal به طول ۳۷ کیلومتر با ظرفیت ۱۵ مترمکعب در ثانیه و اینه‌های جانبی آن از چهار دهه پیش مورد توجه مهندسین قرار گرفته و نهایتاً از اواسط دهه ۱۳۷۰ به اجرا در آمد. اجرای طرح طی سال‌های ۸۳-۷۲ به هزینه ۲۲۰ میلیارد ریال به پایان رسید. شایان ذکر است این خط انتقال و اینه‌های جانبی آن دارای مشکلات و مسائل خاص فنی، ژئوتکنیکی و بهره برداری عدیده می‌باشد. که در حیطه این پایان‌نامه نبوده و فقط جهت آشنایی و معرفی و اشراف به شبکه‌ی آبیاری و زهکشی گرمسار عنوان گردید (گزارشات مطالعات مهندسین مشاور لار، ۱۳۷۴).



شکل ۳-۱- پلان حوضه و زیرحوضه‌ی طرح

جدول ۱-۳- مهمترین شاخه‌های آب شور ورودی به حبله‌رود

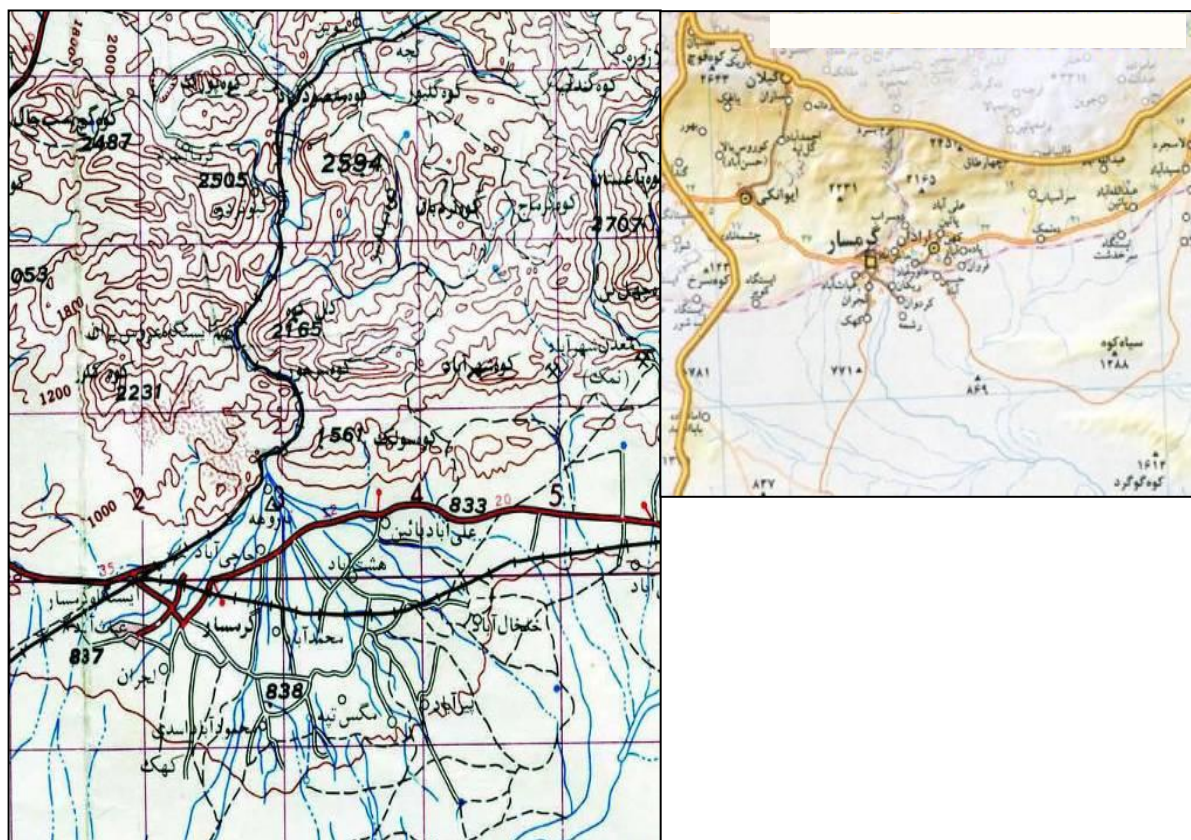
ردیف	نام شاخه	مساحت حوضه (Km <sup>2</sup> )	غلظت املاح (g/m <sup>3</sup> )	دبی جریان سطحی (lit/sec)	دبی جریان زیر سطحی (lit/sec)
۱	شور دره	۶۶	۱۴۰۰۰	۲۵	۶۰
۲	تنگه شور	۲	۱۳۵۰۰	۱	۲
۳	تلخاب	۲۶	۱۶۰۰۰	۲۰	۱۰
۴	غلاماب	۲۲۸	۱۷۰۰۰	۱۵	۳۵
۵	رشید سلطان	۸۴	۳۲۰۰۰	۱/۵	۵
۶	پل ارزاق	۱۰	۲۸۰۰۰	۳	-
۷	سر دره	۳۹	۱۵۰۰۰	۲	-
۸	کوه نمک	-	۱۵۰۰۰	۵	-

احداث شبکه‌ی آبیاری و زهکشی گرمسار از سال ۱۳۵۴ به تدریج شروع شده و در سال ۱۳۶۷ خاتمه یافته و بهره‌برداری کامل از آن آغاز گردیده است. شکل (۳-۳) پلان شبکه‌ی آبیاری و زهکشی دشت گرمسار را نشان می‌دهد. بنا به دلایل مختلف از جمله تغییر اهداف طرح در زمان طراحی و بهره‌برداری، مشکلاتی برای بهره‌برداران و مسئولین مربوطه ایجاد شده است. منطقه گرمسار بدلیل وجود خاک مناسب، نزدیکی به بازار مصرف، آب و هوای نسبتاً خوب از دیرباز مورد توجه جهت احیاء قرار داشته و مطالعات آبیاری و کشاورزی در این منطقه دارای سوابق طولانی می‌باشد.

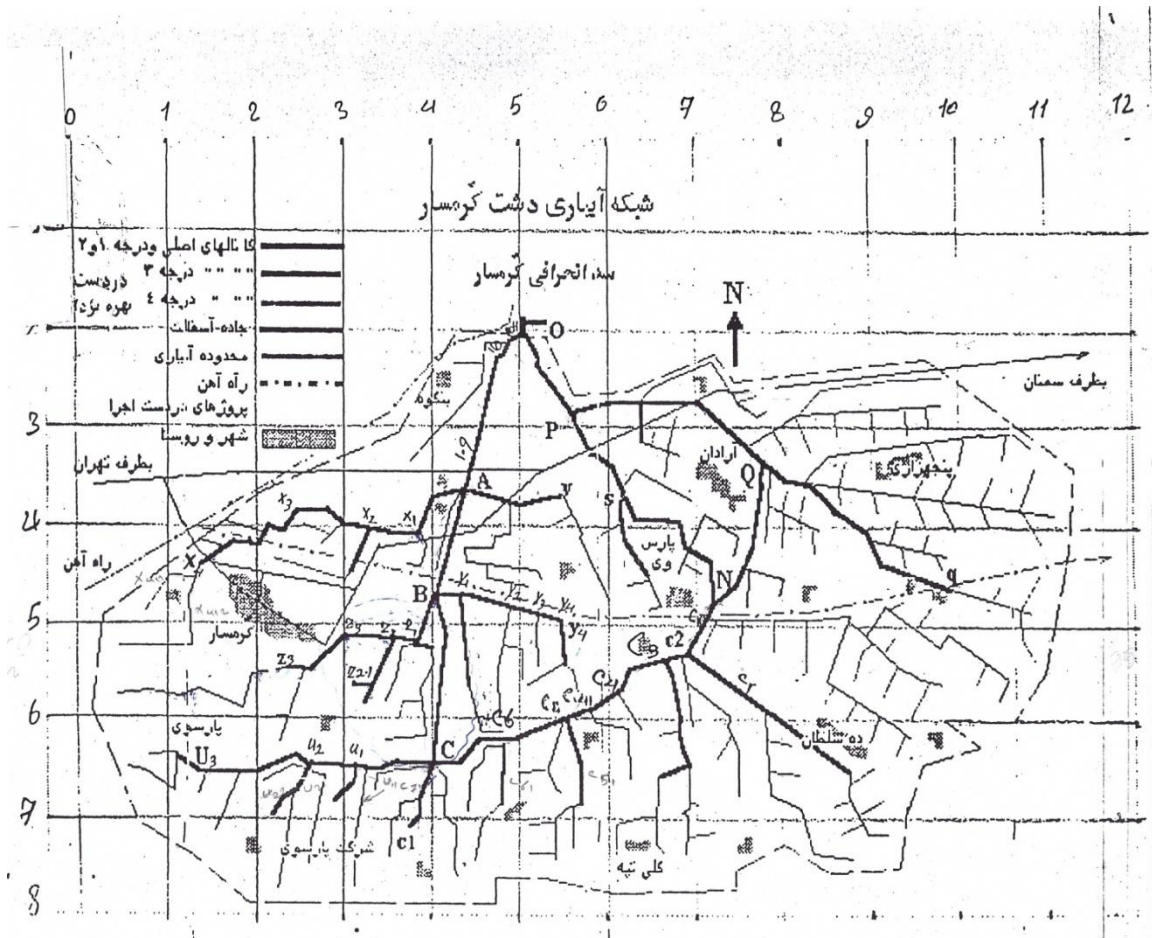
## ۲-۱-۳- موقعیت جغرافیایی و اقلیمی

منطقه‌ی مورد مطالعه در دامنه‌ی جنوبی رشته کوه‌های البرز و در شمال کویر مرکزی ایران و در ۱۱۰ کیلومتری جنوب‌شرقی تهران قرار گرفته است این محدوده بین طولهای  $۱۵^{\circ}$   $۳۵^{\circ}$  و  $۵۲^{\circ}$  شرقی و عرض‌های  $۵^{\circ}$   $۳۵^{\circ}$  و  $۱۷^{\circ}$  شمالی قرار داشته و شهر گرمسار مرکز اقتصادی و اداری آن محسوب می‌گردد. محدوده‌ی مورد مطالعه از شمال به کوه‌های البرز، از غرب به کوه‌های سردره و تخت رستم که دشت گرمسار را از ایوانکی جدا می‌کند، از جنوب به کویر مرکزی (کویر سیاه کوه) و از شرق به منطقه‌ی دهنمک و دشت سمنان محدود می‌گردد. ارتفاع آن از سطح دریا بین ۷۸۰-۹۸۰ متر و شبکه‌ی آبرفتی بزرگی را بوجود آورده که دشت گرمسار قسمتی از آن را تشکیل می‌دهد. این رودخانه افکنه‌ی آبرفتی بزرگی را بوجود آورده که دشت گرمسار قسمتی از آن را تشکیل می‌دهد. این رودخانه

بصورت پنجه‌ای در مخروط افکنه جریان یافته و نهایتاً در کویر جنوبی پخش می‌گردد. دشت گرمسار دارای خصوصیات کویری بوده و میانگین درجه حرارت سالیانه آن ۱۷/۸ درجه سانتیگراد است. متوسط بارندگی سالیانه در گرمسار ۱۱۹ میلی‌متر می‌باشد. متوسط سالیانه رطوبت نسبی در گرمسار ۴۵/۷ درصد بوده متوسط ساعت آفتابی در محدوده مطالعه بطور متوسط ۸/۵ ساعت در روز می‌باشد، همچنین بطور سالانه در گرمسار ۱۵۳۹ میلی‌متر تبخیر از سطح آزاد آب وجود دارد در طبقه‌بندی اقلیمی به روش آمبروژه، منطقه مطالعه جزء اقلیم خشک سرد و نزدیک به بیابانی معتمد طبقه‌بندی می‌گردد (مشاور آب ورزان، ۱۳۷۹).



شکل ۳-۲- موقعیت جغرافیایی گرمسار و دشت مطالعه



شکل ۳-۳- پلان شبکه‌ی آبیاری و زهکشی دشت گرمسار

۳-۱-۳- راههای دستیابی

جاده اصلی تهران - مشهد پس از طی حدود ۱۱۰ کیلومتر از تهران به شهر گرمسار رسیده و از سراسر شمال منطقه‌ی مورد مطالعه عبور می‌نماید. راههای فرعی متعددی ارتباط بین دشت گرمسار و جاده اصلی را برقرار می‌کند راه آهن تهران - مشهد نیز از کنار گرمسار و راه آهن تهران گرگان از شهرستان گرمسار نسبت به شمال تغییر مسیر داده و در دره‌ی بنکوه و در کنار حبله‌رود به فیروزکوه و سپس به استان مازندران وارد می‌شود. شهر گرمسار بیش از ۱۱۰ روستا و شهرک داشته که توسط جاده‌های آسفالته یا شوسه از طریق جاده اصلی قابل دسترسی می‌باشد. مهمترین شهرک‌های آن آرادان، داورآباد، کهنآباد، دولتآباد و غیاثآباد می‌باشد. به منظور استفاده حداکثر از منابع آب دشت گرمسار

و توسعه کشت و بالابردن سطح درآمد و رفاه اجتماعی اهالی منطقه گرمسار، احداث بند انحرافی و شبکه آبیاری و زهکشی دشت گرمسار با استفاده از آب بهنگام رودخانه حبله رود در دستور کار وزارت نیرو قرار گرفت. هدف از اجرای این طرح، تأمین آب ۱۸۰۰۰ هکتار از اراضی در سال‌های آبی متوسط، یا ۱۶۵۰۰ هکتار در سال‌های کم‌آبی و یا ۱۹۵۰۰ هکتار از اراضی در سال‌های مرطوب با توجه به ایجاد شرکت‌های سهامی زراعی و یکپارچگی کشت مکانیزه در منطقه بوده است. عملیات اجرایی بند انحرافی و شبکه‌ی اصلی در سال ۱۳۶۶ و شبکه‌ی فرعی در سال ۱۳۷۴ با تمام رسید. وزارت نیرو با هدف استفاده بهینه از منابع آب دشت گرمسار و توسعه کشت آبی، احداث شبکه‌های اصلی آبیاری را از سال ۱۳۵۴ شروع و تا سال ۱۳۶۶ ادامه داد. همچنین احداث شبکه‌های فرعی از سال ۱۳۶۴ شروع و تا سال ۱۳۷۳ ادامه یافت. بنابراین تا سال ۱۳۷۳ حدود ۱۲۰ کیلومتر کanal‌های اصلی و حدود ۲۴۲ کیلومتر کanal‌های فرعی اجرا گردید و بیش از ۲۱ کیلومتر کanal فرعی که در طرح اولیه وجود داشت ساخته نشد. این کمبود کanal‌های درجه ۴ مربوط به روستاهای کوشک خالصه، نوحصار، ساروزن، سرآسیاب، کردوان، فسکان، مندولک، لجران، نوده‌خالصه و ملک‌آباد می‌باشد.

اساس طراحی اولیه‌ی شبکه‌ی آبیاری، استفاده از آب بهنگام رودخانه‌ی حبله‌رود و آب زیرزمینی دشت گرمسار برای آبیاری حدود ۱۹۵۰۰ هکتار از اراضی در سال‌های پرآبی و یا ۱۶۵۰۰ هکتار از اراضی در سال‌های کم‌آبی بوده است. همچنین کشت یکپارچه بصورت شرکت سهامی زراعی با واحدهای مزرعه ۱۰۰-۵۰ هکتاری و قطعات ۱۰ هکتاری و با در نظر گرفتن شیب اراضی بین ۰/۲ تا ۰/۵ درصد برای آبیاری با روش شیاری با طول شیار ۱۰۰-۲۰۰ متر و بطور متوسط ۱۵۰ متر از مبانی طرح اولیه بوده است. دریچه‌های آبگیر انتخاب شده از نوع مدول های نیرپیک<sup>۱</sup> و در برخی نقاط دریچه‌های کشویی<sup>۲</sup> و حوضچه‌های تنظیم آب با چک نوک مرغابی<sup>۳</sup> می‌باشد.

---

<sup>1</sup> Neyrpic

<sup>2</sup> Sliuce gate

<sup>3</sup> duck bill



شکل ۳-۴- دریچه‌های نیرپیک



شکل ۳-۵- سرریز نوک مرغابی

دبی کanal های درجه‌ی ۳ عموماً ۲۷۰ لیتر در ثانیه و عرض کف آنها ۶۰ سانتیمتر و ارتفاع آنها ۵۰ سانتیمتر می‌باشد همچنین دبی کanal های درجه‌ی ۴ حدود ۹۰ لیتر در ثانیه و عرض کف آنها ۳۰ سانتیمتر بوده و عرض باند استملاک شده برای احداث کanalها از ۱۶ تا ۱۹ متر و عرض جاده سرویس ۳/۵ متر و شیب بدنه کanalها ۱:۱/۵ بوده است.

در شبکه‌های آبیاری گرم‌سار، سیستم زهکشی منظم و مدرن احداث نگردیده بطوریکه شاخه های انشعابی حبله‌رود که در داخل دشت پخش شده کار زهکشی کلی منطقه را بعهده دارد ولی در قطعات کوچک زراعی و یا مزارع، شبکه‌های زهکشی متناظر با کanal های آبیاری وجود ندارد، این مسئله در قسمت‌های شمالی شبکه و بالای کanal کمرنگی مشکلی ایجاد نکرده و بیشتر مسافت بوجود آمده در حاشیه دشت و اراضی خارج از شبکه می‌باشد. علت آن کمبود آب و استفاده بیش از حد از منابع آب زیرزمینی بوده که بطور طبیعی مسئله زهکشی را حل نموده است

## ۲-۳- تأسیسات مدرن احداث شده در منطقه‌ی مورد مطالعه

### ۳-۱- سد انحرافی بنکوه

در ابتدای مخروط افکنه‌ی دشت و بر روی تشکیلات کنگلومرایی در ساحل چپ و رسی مارنی در ساحل راست بر روی رودخانه‌ی حبله‌رود و بالای روتای بنکوه، سد انحرافی گرم‌سار احداث گردیده است. آبگیری توسط دهانه‌ی آبگیری که در سمت راست سد احداث شده انجام می‌شود. مشخصات سد انحرافی بنکوه در جدول (۲-۳) بشرح زیر است:

جدول ۲-۳- مشخصات سد انحرافی گرم‌سار

ردیف	مشخصه	بعد
۱	نوع سد	بتونی وزنی با سرریز اوجی
۲	طول معید	۱۲۰ متر
۳	طول کل با پایه	۱۲۷ متر
۴	رقوم تاج	۹۸۰/۴۰ متر از سطح دریا
۵	ارتفاع تنداپ	۵ متر
۶	ارتفاع آزاد	۳/۵ متر
۷	عرض رادیه	۸ متر
۸	عرض کل	۱۹/۵
۹	رقوم رادیه	۹۷۵/۴۰ متر از سطح دریا
۱۰	رقوم محل آبگیری	۹۷۸/۷۰ متر از سطح دریا

سد انحرافی از ۸ دهنه با سرریز اوجی و ۲ دریچه‌ی شعاعی<sup>۱</sup> در کناره سمت راست برای تخلیه ی رسوب و جریان‌های سیلابی احداث شده است. همچنین در کناره‌ی سمت راست رودخانه سیستم هدایت آب به سمت دهانه‌های آبگیر ساخته شده و چهار دهانه‌ی آبگیر با اشغالگیر به ابعاد  $۲/۴ \times ۲/۸ \times ۳/۸$  متر نصب گردیده، که آب رودخانه را به سمت حوضچه‌های رسوبگیر هدایت می‌نماید. جدول (۳-۳) لیست دریچه‌های هیدرومکانیکال سد انحرافی و حوضچه‌های پیشین دست را نشان می‌دهد.

جدول ۳-۳- لیست دریچه‌های هیدرومکانیکال نصب شده در محل سد انحرافی گرمسار

دو عدد	دریچه قطاعی $۶ \times ۶/۴۵$ متر با بالابر برقی	۱
یک عدد	فراز بند $۶ \times ۶/۴۵$ در سه قطعه	۲
یک عدد	تیر بالابرندۀ فراز بند	۳
یک عدد	جرثقیل برای بلند کردن فراز بند	۴
شش عدد	دریچه غلتکی $۱ \times ۳$ متر با بالابر برقی	۵
یک عدد	فراز بندۀای $۲ \times ۰/۳۰$ متر در بالادست دریچه آویس	۶
دو عدد	دریچه Avio تیپ $۴۰/۰۴۰$	۷
دو عدد	دریچه غلتکی دستی $۴/۱ \times ۱/۴$ متر	۸
یک عدد	دریچه غلتکی دستی $۲ \times ۲$ متر	۹
دو عدد	دریچه غلتکی دستی $۱/۵ \times ۱/۵$ متر	۱۰
شش عدد	دریچه غلتکی دستی $۱ \times ۲$ متر	۱۱
دو عدد	دریچه غلتکی دستی $۱/۵ \times ۱/۵$ متر	۱۲
یک عدد	دریچه Avio تیپ $۳۰۰/۰۱۶$	۱۳
دو عدد	دریچه تیپ C1-3000	۱۴
یک عدد	دریچه تیپ C1-2000	۱۵
دو عدد	دریچه XX <sub>۱</sub> ۲۴۰	۱۶
یک عدد	دریچه XX <sub>۱</sub> ۶۰	۱۷
یک عدد	دریچه XX <sub>۱</sub> ۱۵۰	۱۸
چهار عدد	لیمنیگراف	۱۹
دو عدد	دریچه شستشو	۲۰

<sup>۱</sup> Radial gate

## ۲-۲-۳- حوضچه‌های رسوبگیر

دو حوضچه‌ی رسوبگیر هر یک بطول مفید ۱۲۰ متر در جناح راست رودخانه در پائین دست بندانحرافی احداث شده است هر یک از حوضچه‌ها از ۳ قسمت تشکیل شده و عرض هر قسمت ۵ متر بوده که توسط دیواره بتنی از یکدیگر جدا شده اند. سطح آب در حوضچه‌ها توسط دریچه آویس تیپ ۱۶۰/۴۰۰ ثابت نگه داشته می‌شود و میزان دبی ورودی به حوضچه از پایین دست کنترل می‌گردد. ظرفیت هر حوضچه رسوبگیر ۹ مترمکعب در ثانیه می‌باشد. طول کل حوضچه‌های رسوبگیر ۱۴۰ متر می‌باشد. دو دستگاه لیمنیگراف در داخل حوضچه‌ها و یک دستگاه در بالادست حوضچه نصب شده که در بالادست مجهز به سیستم هشدار سیلاپ می‌باشد. شستشوی حوضچه رسوبگیر با جریان آب و به طریق هیدرولیکی صورت می‌گیرد. آبگیری از حوضچه‌های رسوبگیر توسط سه دریچه با ابعاد  $1 \times 2$  متر انجام می‌شود. در طرح اولیه دو دریچه برای آبگیری پیش‌بینی شده بود ولی در عمل ۳ دریچه نصب گردیده است. این دریچه‌ها دارای منحنی تغییرات دبی نسبت به میزان بازشدنگی هستند و میزان آب خروجی از حوضچه‌های رسوبگیر باید از طریق مقدار بازشدنگی آنها کنترل شود. برای این دریچه‌ها سطح آب ثابتی توسط دریچه‌های Avio در بالادست ایجاد می‌شود. در پایین دست حوضچه‌های رسوبگیر یک حوضچه احداث شده که کanal آرادان از سمت چپ و کanal گرمسار از سمت راست آن جدا می‌گردد. دبی کanal گرمسار توسط دریچه Avis و دریچه‌های نیرپیک پایین دست آن کنترل می‌گردد دریچه‌های نیرپیک به تعداد ۴ دستگاه و جمماً به میزان ۸ مترمکعب ظرفیت دارند. تنظیم دریچه‌ی ابتدای کanal گرمسار به گونه‌ای می‌باشد که حق تقدم برداشت آب با این کanal بوده و مازاد آب به کanal آرادان منتقل می‌شود. زیرا رقوم آستانه دریچه‌های آبگیر کanal گرمسار ۲۰ سانتی‌متر پایین‌تر از رقوم آستانه آبگیر کanal آرادان در نظر گرفته شده است. طراحی حوضچه‌های رسوبگیر بگونه‌ای است که در حداکثر دبی می‌تواند قسمتی از رسوبات که قطر کمتر از ۱/۰ میلی‌متر را دارند تهشین نماید. در شرایط حداکثر دبی، سرعت آب در حوضچه  $۰/۳$  متر بر ثانیه و در شرایط متوسط

۰/۲۶ متر بر ثانیه می باشد. دبی ورودی حوضچه های رسوبگیر توسط ۲ دریچه آویس تیپ ۱۶۰/۴۰۰

که هر یک با ظرفیت ۹ مترمکعب بر ثانیه کار می کنند تنظیم می گردد.

### ۳-۲-۳- دریچه های تخلیه رسوب

در سمت راست اوجی سد انحرافی ۲ دریچه قطاعی به ابعاد  $۶\times ۴/۶۵$  متر تعبیه شده و دارای دستگاه

بالابر بوده و اهداف زیر را دنبال می نماید:

- کنترل نسبی تراز آب بالادست بر حسب تغییرات بده حبله رود و بده آب انحرافی به دهانه های

آبگیر.

- تخلیه سیلاب های متوسط ۱۵۰-۱۰۰ مترمکعب در ثانیه که می تواند در تخلیه رسوبات مؤثر

باشد.

- تخلیه رسوباتی که بلا فاصله بعد از دهانه های آبگیر و جلو آنها تهنشست می گردد.

- تخلیه بار بستر بطور پیوسته یا ناپیوسته در زمانیکه دبی حبله رود بیش از نیاز می باشد.

این دریچه ها در حال حاضر مورد بهره برداری قرار می گیرند و آستانه آنها در تراز ۹۸۰/۴۰ و تراز رادیه

دریچه های تخلیه رسوب در تراز ۹۷۶/۴۰ ثابت شده تا بتواند رسوبات را بطرف خود کشیده و تخلیه

نماید. در صورتیکه گشودگی دریچه ها  $۲-۲/۵$  متر باشد می تواند حدود ۱۲۰ مترمکعب در ثانیه را

تخلیه نماید. در صورتیکه گشودگی  $۳-۲/۵$  متر باشد میزان تخلیه تا ۱۵۰ مترمکعب در ثانیه افزایش

می یابد. تراز پایاب دریچه ها ۹۷۴/۴۰ و عرض رادیه ۱۴ متر و طول کل سازه  $۲۰/۵$  متر می باشد.

### ۴-۲-۳- کanal‌های احداث شده

#### ۱- کanal گرمسار

بعد از حوضچه‌ی رسوگیر، آب وارد یک جعبه تقسیم شده و کanal گرمسار از سمت راست آن منشعب می‌گردد. این کanal از سه قسمت A-B و B-C تشکیل شده است. طول کلی آن ۱۲/۴۱ کیلومتر بوده و دبی آن بوسیله سه دستگاه مدول نیرپیک C<sub>1</sub>-۳۰۰۰ (دو دستگاه) و C<sub>1</sub>-۲۰۰۰ (یک دستگاه) کنترل و اندازه گیری می‌شود. همچنین ۲ دریچه XX<sub>۱-۶۰</sub> و یک دریچه آب XX<sub>۱-۲۴۰</sub> در نیاز روستاهای بنکوه، سرآب رود و ده سرآب را تأمین می‌نماید. تراز آب در جعبه تقسیم با یک دریچه آویس ۱۶۰/۳۰۰ کنترل می‌شود. تنظیم دریچه آویس در حداقل آب بگونه‌ای است که در بالادرست ۲۰ سانتیمتر از آستانه آبگیر کanal آرادان پایین تر در نظر گرفته شده است. جدول (۴-۳) مشخصات کanal گرمسار را ارائه می‌دهد.

جدول ۴-۳- مشخصات کanal گرمسار (کanal سمت راست شبکه‌ی آبیاری)

B-C	A-B	GO-A	نام کanal اصلی
۴۹۷۷	۳۴۵۳	۳۹۰۴	طول(m)
۷+۴۳۳	۳+۹۵۰	۰+۰۰۰	از کیلو متر
۱۲+۴۱۰	۷+۴۰۳	۳+۹۰۴	تا کیلو متر
۲	۵/۷۲	۸	دبی(CMS)
۰/۶	۱/۲	۱/۵	عرض کف(m)
۱	۱/۴	۱/۵	ارتفاع(m)
۴۷۲۳	۳۲۶۳	۳۸۵۵	طول پوشش شده(m)
۱۸	۱۱	۱۵	تعداد ابنيه (عدد)

#### ۴-۲-۳- کanal آرادان

از سمت چپ جعبه تقسیم انتهای حوضچه‌ی رسوگیر، فلومی با مقطع مستطیلی با شیب ۰/۲۲ و بطول ۲۰۰ متر آب را به ابتدای سیفون انتقال می‌رساند. این سیفون آب را از سمت راست به سمت چپ رودخانه‌ی حبله‌رود منتقل نموده و به ابتدای کanal آرادان می‌رساند. طول سیفون ۲۲۵ متر و

مقطع آن  $2 \times 2$  متر و ظرفیت کanal در حداکثر دبی ۱۲ مترمکعب در ثانیه می باشد. جدول (۵-۳) مشخصات کanal آرادان را نشان می دهد.

جدول ۵-۳-مشخصات کanal آرادان (کanal سمت چپ)

تعداد اینیه	شیب کanal در هزار م (m)	طول پوشش شده (m)	ارتفاع (m)	عرض کف (m)	دیس (m <sup>3</sup> /sec)	تا کیلومتر	از کیلومتر	طول (m)	نام کanal اصلی آرادان
۱۱	۱/۲۵	۲۷۵۴	۲	۱/۵	۱۲	۳+۶۶۳	۰+۶۵۹	۳۰۰۴	O-P
۸	۱/۳۳	۱۵۸۱	۱/۲	۰/۹	۳/۳۰۰	۱+۷۱۵	۰+۰۱۷	۱۶۹۸	P-Q <sub>1</sub>
-	۱/۴۲	۳۶۰۴	۱/۰۵	۰/۹	۲/۵۸	۵+۶۲۳	۱+۷۴۳	۳۸۸۰	Q -Q <sub>1</sub>
۱۴	۱/۰	۳۷۴۳	۱/۰۵	۰/۶	۲	۹+۸۷۰	۵+۶۵۷	۴۲۱۳	QN
۶	۱	۱۴۷۸	۰/۸۵	۰/۹	۱/۵۹	۱+۵۴۴	۰+۰۲۱	۱۵۲۳	Q - Q <sub>3</sub>
۸	۱/۵	۱۴۳۵	۰/۶۵	۰/۶	۰/۸۴	۱+۵۲۷	۰+۰۱۶	۱۵۱۱	Q3 - Q4
۴	۲	۵۴۸	۰/۵۵	۰/۶	۰/۵۴	۰+۵۷۷	۰+۰۰۹	۵۶۸	Q3 - Q5
۷	۱/۵	۲۷۴۹	۰/۵	۰/۳	۰/۲۷	۲+۴۳۴	۰+۶۴۷	۱۷۸۷	Q5 - Q51
۸	۲	۲۶۳۶	۰/۴۵	۰/۳	۰/۲۱	۲+۸۱۴	۰+۰۱۶	۲۷۹۸	Q4 - Q41
۳	۲	۵۵۷	۰/۵۵	۰/۳	۰/۴۲	۰+۷۴۲	۰+۰۲۵	۷۱۷	SS-S5
۸	۲	۲۳۰۱	۰/۴	۰/۳	۰/۱۵	۳+۱۲۳	۰+۷۵۴	۲۳۶۹	S2- S13
۱	۱	۱۸۵	۰/۴۵	۱/۳	۰/۱۵	۰+۱۸۸	۰+۰۰۲	۱۸۶	S5 - S6
۲۳	۱/۲۵	۶۳۷۱	۱/۶	۱/۵	۷/۹	۱۱+۲۵۹	۴+۴۹۵	۶۷۶۴	R-N
۱	سیفون	۲۰	۱/۷۵	۱/۵	۹/۹	۱۱+۳۰۶	۱۱+۲۸۵	۲۱	N-C1

همانطور که در نقشه شبکه کanal های گرمسار دیده می شود شکل (۳-۳)، کanal آرادان در نقطه P به

دو شاخه اصلی PQN و PTR تقسیم شده و هر یک از این شاخه ها در طول مسیر خود به تدریج به

کanal های درجات بعدی تقسیم گردیده نهایتاً به انهار مزرعه یا

آبرسانی

نمایند.

### ۳-۴-۲-۳- انشعابات کanal گرمسار

#### A انشعب از نقطه

از کanal گرمسار تا نقطه A کanalی منشعب نمی گردد. نقطه A اولین محل انشعب بوده و کanal های

AX و AB از آن منشعب می شود. از کanal AX آبگیرهای X<sub>1</sub> تا X<sub>4</sub> جدا شده و از کanal AV

آبگیر V آبگیری می نماید. جدول (۶-۳) مشخصات کanal های انشعبی از نقطه A را نشان می دهد.

جدول ۳-۶- مشخصات کانال‌های انشعابی از نقطه‌ی A

تعداد ابنيه	شيب کanal در هزار	طول پوشش شده (m)	ارتفاع (m)	عرض کف (m)	دبی (m <sup>3</sup> /sec)	تا کيلومتر	از کيلومتر	طول (m)	نام کanal
۳	۱/۵	۸۰۳	۰/۶۵	۰/۶	۰/۶	۰+۸۵۶	۰+۰۴۵	۸۱۱	A-V2
۱۵	۱/۵	۳۹۷۷	۰/۷۵	۰/۹	۱/۴۴	۴+۰۸۴	۰+۰۳۴	۴۱۵۰	A-X2
۱۳	۱/۵	۳۶۱۰	۰/۷	۰/۶	۰/۸۱	۷+۹۴۰	۴+۲۰۴	۳۷۳۶	X2-X4
۷	۱/۵	۱۲۸۱	۰/۵۵	۰/۳	۰/۳۰۰	۱+۳۵۱	۰+۰۲۶	۱۳۲۵	X2
۶	۱/۵	۱۱۰۰	۰/۶	۰/۶	۰/۴۸	۱+۱۲۵	۰+۰۰۰	۱۱۲۵	X4

انشعاب از نقطه B

کانال‌های BY1 از سمت شرق و BY2 از سمت غرب از این نقطه منشعب شده و سپس از آبگیرهای Y1 تا Y4 و یک دریچه کشویی و از شاخه BZ آبگیرهای Z1 تا Z3 منشعب می‌گردد.

جدول (۳-۷) انشعابات کانال از نقطه B را مشخص می‌نماید.

جدول ۳-۷- کانال‌های انشعابی از نقطه‌ی B

تعداد ابنيه	شيب کanal در هزار	طول پوشش شده (m)	ارتفاع (m)	عرض کف (m)	دبی (m <sup>3</sup> /sec)	تا کيلومتر	از کيلومتر	طول (m)	نام کanal
۳	۱/۵	۶۳۹	۰/۸۵	۰/۶	۱/۴۴	۰+۸۵۵	۰+۰۳۲	۸۲۲	B-Y1
۲	۱	۱۲۴۲	۰/۷۵	۰/۶	۰/۸۴	۲+۱۳۳	۰+۸۷۵	۱۲۵۸	Y1-Y2
۴	۱/۷۵	۱۰۵۹	۰/۶	۰/۶	۰/۴۸	۳+۳۶۱	۲+۱۵۰	۱۲۱۱	Y2-Y4
۶	۱/۵	۱۴۰۰	۱/۰۵	۰/۶	۲/۵۵	۱+۵۱۲	۰+۰۳۹	۱۴۷۳	B-Z1
۲	۱	۸۶۰	۱/۰۵	۰/۹	۲/۵۵	۲+۳۸۹	۱+۵۲۹	۸۶۰	Z1-Z2
۳	۱	۱۱۶۳	۰/۸۵	۰/۶	۱/۲	۳+۵۸۷	۲+۴۱۴	۱۱۷۳	Z2-Z3
۱	۱	۲۸۹	۰/۶	۰/۳	۰/۳	۰+۸۰۸	۰+۰۱۸	۷۹۰	Z1
۷	۲	۱۴۱۱	۰/۶	۰/۳	۰/۴۵	۱+۴۸۰	۰+۰۲۱	۱۴۵۹	Z2

انشعاب از نقطه C

در نقطه C که اصطلاحاً دولات نامیده می‌شود کانال گرمسار به کانال کمربندی رسیده و در نزدیکی رودخانه کردوان تقسیمات آن انجام می‌گیرد. از نقطه C کانال CU، U-2، C1-C2 و C3-C2 جدا

U۲ می‌شود. از کanal Cu آبگیرهای U۱ و U۲ و یک دریچه کشویی آبگیری نموده و از کanal آبگیرهای C۱ تا C۶ آبگیری می‌کند. جدول (۳-۸) کanal‌های انشعابی از نقطه C را ارائه می‌نماید.

جدول ۳-۸- کanal‌های انشعابی از نقطه C کanal Cu

نام کanal	طول (m)	از کيلومتر	تا کيلومتر	دسي (m <sup>3</sup> /sec)	عرض کف (m)	ارتفاع (m)	طول پوشش شده (m)	شيب کanal در هزار	تعداد ابنيه
C-CU2	۳۹۲۷	۰+۰۲۰	۳+۹۴۷	۱/۹۸	۰/۹	۱	۳۸۷۸	۱	۶
U2-U3	۲۲۵۵	۳+۹۸۲	۶+۲۳۷	۰/۶	۰/۶	۰/۷	۲۲۲۱	۱	۶
C1-C3	۱۴۱۵	۰+۰۱۲	۱+۴۲۷	۵/۶۲	۱/۲	۱/۵۵	۱۲۴۵	۰/۸	۴
C3-C5	۳۶۹۴	۱+۴۶۶	۵+۱۶۰	۳/۵۵	۰/۹	۱/۲۵	۳۶۱۲	۰/۸	۴
C5-C6	۱۶۱۷	۵+۱۹۱	۶+۸۰۸	۲/۲۹	۰/۹	۱/۰۵	۱۶۱۶	۱	۳
C6-C	۳۱۱۰	۶+۸۳۶	۹+۹۴۴	۱/۰۷	۰/۹	۰/۹۵	۲۸۹۴	۱	۱

### ۳-۲-۴-۴- انشعاب‌های کanal آرادان

#### • انشعاب از نقطه P

کanal آرادان از خروجی تونل تا نقطه P هیچگونه انشعابی نداشته و مستقیماً نقش کanal آبرسان را به عهده دارد. در نقطه P دو دریچه‌ی نیرپیک آب را به کanal PQN و سه دریچه، آب را به کanal PTR می‌رساند. وضعیت دریچه‌ها خوب بوده و مشکلی ندارد در این قسمت علیرغم وجود اشل روی کanal‌های انشعابی اندازه‌گیری صورت نمی‌گیرد بلکه بنا به دستور شرکت بهره برداری از سد انحرافی میزان آب را تغییر می‌دهند. دو دریچه‌ی نیرپیک در این نقطه آب را به حوضچه‌ی تغذیه مصنوعی می‌رساند.

#### • نقطه Q1

در این نقطه کanal Q1 به سمت جنوب و کanal PQ به سمت شرق از کanal PQ جدا شده و به اراضی جلیلآباد آبرسانی می‌نماید. کanal Q1 با جاده رفت و برگشت سمنان تقاطع داشته و سیفون می‌گردد.

## • انشعاب از نقطه Q۲

از نقطه‌ی Q۲ کanal علی‌آباد بنام AQ۲ آبگیری کرده و به روستای علی‌آباد آبرسانی می‌نماید.

## • انشعاب از نقطه Q

از این نقطه کanal QN به سمت جنوب و کهن‌آباد آبگیری کرده و شاخه فرعی دیگری به موازات آن از شاخه اصلی جدا می‌شود.

## • انشعاب از نقطه Q۳

از این نقطه کanal‌های Q۴، Q۵ و D آبگیری کرده و هر یک در مسیر خود به کanal‌های فرعی آبرسانی نموده که انتهای کanal‌ها به اراضی گروههای مشاعی آبرساری می‌نماید.

### ۳-۲-۵- سازه‌های آبی شبکه‌ی گرمسار

در طول کanal‌های اصلی ساخته شده در دشت گرمسار انواع سازه‌های آبی مختلف احداث گردیده است. این سازه‌ها در محل تقاطع کanal‌ها با جاده‌های روستایی و شهری و راه آهن و رودخانه و سایر موانع موجود ساخته شده و مورد بهره‌برداری قرار گرفته است. لیست سازه‌های احتمالی در شبکه‌ی آبیاری گرمسار در پیوست (۱-۳) ارائه شده است.

### ۳-۲-۶- ابنيه‌های فني شبکه‌ی آبیاري

در طرح کanal‌های اصلی و درجه‌ی ۱ و ۲ شبکه‌ی گرمسار برای آبگیری مزارع از مدول‌های نیرپیک استفاده گردیده است در شبکه‌های فرعی دریچه‌های کشویی با سطح آب ثابت (C.H.O) بصورت دو دریچه‌ای منظور شده است جدول دریچه‌های هیدرومکانیک نصب شده در کanal‌های اصلی و درجه‌ی ۱ و ۲ شبکه‌ی گرمسار در پیوست (۲-۳) ارائه شده است.

### ۳-۳-۳- معرفی دستگاه‌های سنجش

#### ۱-۳-۳- سرعت‌سنج جریان<sup>۱</sup>

در این مطالعه برای اندازه‌گیری سرعت جریان در کانال‌های آبیاری شبکه‌ی دشت گرمسار از دستگاه اندازه‌گیری سرعت نقطه‌ای در مجاري روباز طراحی گردید. دستگاه Flow Probe مدل PE111 "Global Water Flow Probe" استفاده گردید. دستگاه Flow Probe جهت تشکیل دهنده‌ی آن می‌توان به صفحه نمایشگر، میله تلسکوپی، بروانه و محافظ پروانه اشاره کرد. شکل (۳-۶) نمایی از این دستگاه را نشان می‌دهد. این دستگاه ساخت کشور امریکا می‌باشد و جهت:

- مطالعه‌ی جریان سیلابی
- اندازه‌گیری جریان فاضلاب
- اندازه‌گیری جریان رودخانه و مجاري
- مانیتورینگ سرعت جریان در نهر و کanal
- اندازه‌گیری جریان در مجاري روباز و لوله‌های نیم‌پر

توصیه گردیده لیکن در این تحقیق جهت اندازه‌گیری سرعت جریان در مقاطع به خدمت گرفته شد. دقیق این سرعت سنج ۰/۱ متر بر ثانیه می‌باشد. سایر مشخصات فنی این وسیله در پیوست (۳-۳) انعکاس یافته است (کتابچه‌ی راهنمای دستگاه، ۲۰۱۲).



شکل ۳-۶- سرعت سنج "Global Water Flow Probe"

<sup>۱</sup> Flow metere

### ۱-۳-۲- کدورت سنج<sup>۱</sup>

ابزار دومی که در این پروژه مورد استفاده قرار گرفت دستگاه کدورت سنج متحرک<sup>۲</sup> مدل TN-100/T-100 می‌باشد. این دستگاه امکان می‌دهد که کدورت نمونه‌ی آب اخذ شده از شبکه در محل سنجیده شود. شکل (۷-۳) شمایی از دستگاه را نشان می‌دهد.



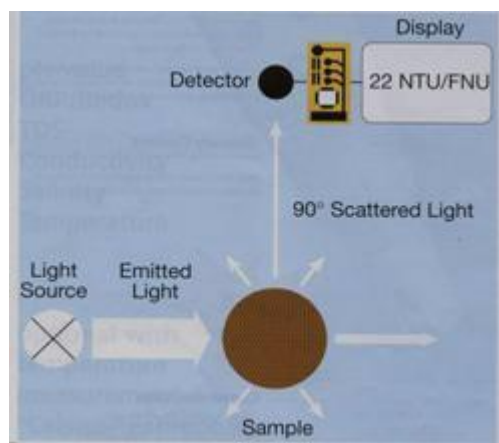
شکل ۷-۳- دستگاه کدورت سنج

واژه‌ی کدورت برای توضیح ظاهر مات یا شیری محیط های مایع یا جامد مانند آب یا شیشه استفاده می‌شود. در اصطلاحات فیزیکی، کدورت متناسب با ذرات پراکنده با اندازه‌های مختلف یا جذب شدن نور، می‌باشد که به محیط مورد بحث ظاهری مات و ابری می‌دهد. مکانیزم کار دستگاه بر اساس پراکنش نور می‌باشد. امروزه پدیده‌ی کدورت با استفاده از نورسنج های الکترونیک انجام می‌شود. یک منع نور مصنوعی، یک شدت نور معین را از میان یک نمونه عبور می‌دهد. ذرات معلق نور را جذب یا پراکنده می‌نمایند. نور پراکنده شده سپس روی آشکارساز متتمرکز می‌شود. نور پراکنده شده معمولاً تحت زاویه‌ی ۹۰ درجه اندازه‌گیری می‌شود. این روش اندازه‌گیری تحت عنوان ابر سنجی شناخته می‌شود. بنابراین یک ابرسنج یک کدورت سنج است که نور پراکنده شده تحت زاویه‌ی ۹۰ درجه را اندازه‌گیری

<sup>1</sup> Turbidimeter

<sup>2</sup> Portable Turbidimeter

می‌نماید. شکل (۸-۳) طرح شماتیک این مکانیزم را نشان می‌دهد.



شکل ۸-۳- طرح شماتیک مکانیزم کار کدورت‌سنج

برای تهییه نتایج مشخص و قابل تکرار، کدورت‌سنج‌ها با استفاده از محلول‌های فرمازین (استانداردهای مرجع) تنظیم و کالیبره می‌کنند. برای کالیبره کردن دستگاه از محلول‌های استاندارد موجود در چهار بطری که همراه دستگاه خریداری می‌شود انجام می‌گیرد این چهار محلول با کدورت ۰/۰۲، ۰/۰۰۲، ۰/۰۰۰ و ۰/۰۰۱<sup>۱</sup> (NTU)<sup>۲</sup> می‌باشد. که دستگاه برای این کدورت کالیبره می‌شود طریقه کالیبره کردن دستگاه در پیوست (۴-۳) موجود است. این دستگاه در کشور امریکا ساخته شده و در این تحقیق مورد استفاده قرار گرفته است. NTU واحد اندازه‌گیری کدورت می‌باشد و واحد دیگر برای این کار است. دامنه قرائت دستگاه بین (۰ تا ۱۰۰۰) NTU می‌باشد. سایر مشخصات دستگاه در FTU<sup>۳</sup> است. پیوست (۵-۳) آورده شده است (کتابچه‌ی راهنمای دستگاه، ۱۲-۲۰).

<sup>۱</sup> Nephelometric Turbidity Units

<sup>۲</sup> Formazin Turbidity Units

### ۳-۳-۳- ترازوی دیجیتال حرفه مدل TP

برای سنجش وزن مواد معلق خشک شده نیاز به ترازویی بلدقون یک صدم بود که از ترازوی دیجیتال مدل TP استفاده گردید. شکل (۹-۳) نمایی از ترازو را نشان می‌دهد.

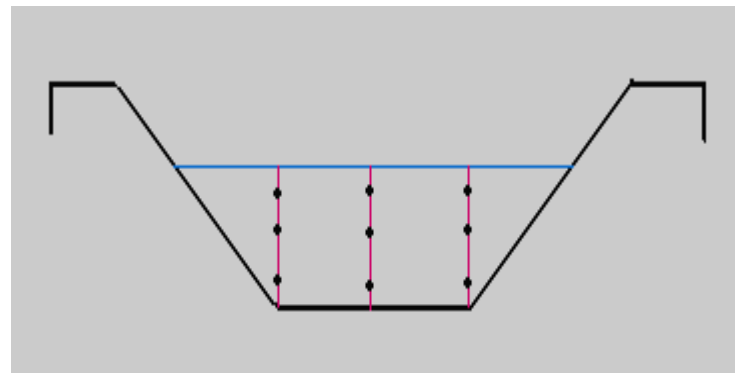


شکل ۹-۳- ترازوی دیجیتالی TP

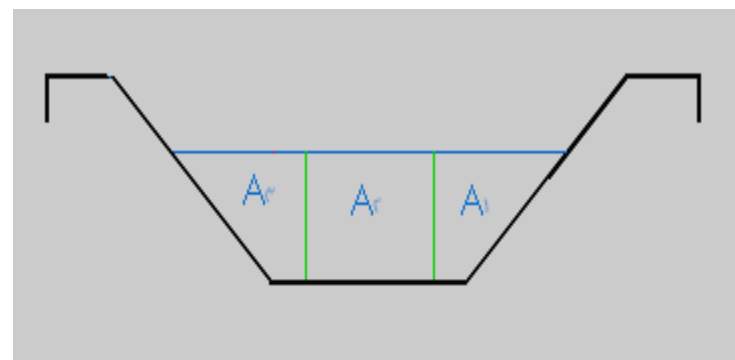
### ۴-۳- عملیات اندازه‌گیری برای بدست آوردن راندمان انتقال شبکه

در این تحقیق به منظور برآورد راندمان انتقال در شبکه‌ی آبیاری و زهکشی دشت گرمسار عملیات صحراوی به صورت میدانی انجام شد. در این فرآیند از کانال‌های درجه‌ی ۱ و ۲ و ۳ استفاده گردید. برای این منظور در مرحله نخست، از کل شبکه پایش جامعی توسط اکیپ برداشت انجام و در نهایت بازه‌هایی جهت برداشت داده های مورد نیاز به صورت تصادفی انتخاب گردید . در مقطع ورودی و خروجی هر بازه، سرعت جریان توسط سرعت سنج Water Probe در ۹ نقطه برداشت شد. اندازه‌گیری سرعت در سه عمق ۰/۶، ۰/۰ و ۰/۸ از سطح آب (۰/۶۷، ۰/۸۷ و ۰/۲۷) به عمل آمد. شکل‌های (۱۰-۳) و (۱۱-۳) مقطع برداشت و نقاط اندازه‌گیری سرعت را نشان می‌دهند. ( $U$  = عمق جریان در مقطع

اندازه‌گیری). در جدول (۹-۳) اندازه‌گیری سرعت در مقاطع به صورت نمونه آورده شده است . سایر اندازه‌گیری‌ها در پیوست(۳-۶) تا (۳-۸) آورده شده است.



شکل ۱۰-۳ - مقطع اندازه‌گیری جریان



شکل ۱۱-۳ - مقطع اندازه‌گیری جریان

جدول ۳-۹- داده‌های سرعت در مقاطع اندازه‌گیری

توضیحات	عرض سطح اب cm	LEFT			CRNTER LINE			RIGTR			Y cm	قطعه	درجه کانال	باشه	منطقه
		0.8y (m/s)	0.6y (m/s)	0.2y (m/s)	0.8y (m/s)	0.6y (m/s)	0.2y (m/s)	0.8y (m/s)	0.6y (m/s)	0.2y (m/s)					
GO-A	۳۱۵	۰/۷	۰/۹	۱/۰	۱/۰	۱/۱	۱/۳	۰/۸	۱/۰	۱/۲	۵۷	Up.	۱	A	گرمسار
	۳۰۰	۰/۹	۱/۱	۱/۲	۱/۱	۱/۲	۱/۵	۱/۰	۱/۱	۱/۳	۵۰	Down.		۵۴۰	طول بازه m
BK	۹۶	۰/۴	۰/۴	۰/۵	۰/۵	۰/۶	۰/۷	۰/۴	۰/۵	۰/۶	۲۲	Up.	۳	B	گرمسار
	۸۴	۰/۵	۰/۶	۰/۷	۰/۶	۰/۷	۰/۸	۰/۵	۰/۵	۰/۷	۱۸	Down.		۶۶۰	طول بازه m
GO-A	۳۰۵	۰/۹	۱/۰	۱/۳	۱/۱	۱/۳	۱/۴	۱/۰	۱/۲	۱/۲	۵۴	Up.	۱	C	گرمسار
	۲۹۴	۱/۰	۱/۱	۱/۴	۱/۲	۱/۳	۱/۵	۱/۱	۱/۳	۱/۳	۴۸	Down.		۱۱۸۰	طول بازه m
X2-X3-X4	۱۸۶	۰/۶	۰/۶	۰/۷	۰/۸	۰/۹	۰/۹	۰/۷	۰/۸	۰/۸	۳۲	Up.	۲	D	گرمسار
	۱۹۲	۰/۵	۰/۶	۰/۷	۰/۶	۰/۷	۰/۸	۰/۶	۰/۷	۰/۷	۳۴	Down.		۱۵۰۰	طول بازه m
A-X1	۱۶۵	۰/۸	۰/۹	۰/۸	۰/۷	۰/۸	۱/۰	۰/۶	۰/۷	۰/۹	۲۵	Up.	۲	E	گرمسار
	۱۸۰	۰/۵	۰/۶	۰/۷	۰/۶	۰/۷	۰/۷	۰/۵	۰/۷	۰/۶	۲۸	Down.		۱۸۵۰	طول بازه m
A-X1	۱۴۱	۰/۶	۰/۷	۰/۷	۰/۷	۰/۸	۰/۸	۰/۶	۰/۷	۰/۷	۲۷	Up.	۲	F	گرمسار
	۱۵۰	۰/۴	۰/۵	۰/۵	۰/۴	۰/۶	۰/۷	۰/۳	۰/۵	۰/۶	۳۰	Down.		۹۵۰	طول بازه m

پس از برداشت داده ها، محاسبات هیدرولیکی برای بدست آوردن راندمان انتقال شبکه انجام گردید.

در این مرحله سایر پارامترهای هیدرولیکی مانند عدد فرود، ضریب زبری مانینگ، شعاع هیدرولیکی نیز

محاسبه گردید. تمام نتایج در جدول نمونه ۱ (۳-۹) و پیوست های (۳-۲۹) تا (۳-۱۱) آورده شده

است. در جدول (۳-۱۰) ترم های لازم معرفی گردیده اند.

جدول ۳-۱۰ - معرفی ترم های جداول نتایج

ردیف	مشخصه	علامت
۱	عمق جریان	y
۲	عرض کف کanal	b
۳	عرض سطح آب	B
۴	محیط خیس شده	P
۵	دبی در ثلث اول مقطع جریان	Q1
۶	دبی در ثلث دوم مقطع جریان	Q2
۷	دبی در ثلث سوم مقطع جریان	Q3
۸	دبی کل	Qt
۹	سرعت متوسط در مقطع جریان	Vm
۱۰	شیب دیواره جانبی کanal	Z
۱۱	شعاع هیدرولیکی	R
۱۲	عمق معادل مستطیلی	D
۱۳	شیب طولی کanal	S
۱۴	ضریب مانینگ	N
۱۵	عدد فرود	Fr
۱۶	اختلاف دبی (ورودی - خروجی)	$\Delta Q$
۱۷	راندمان بازه	Eff%
۱۸	اختلاف دبی در ۱۰۰ متر طولی	$\frac{\Delta Q}{100}$
۱۹	اختلاف دبی در یک متر طولی	$\frac{\Delta Q}{1}$
۲۰	مساحت سطح آزاد آب در هربازه	S.W.A.of.R

جدول ۱۱-۳ - نتایج محاسبات هیدرولیکی روی مقاطع جریان

Vm (m/s)	At CMS	Qt CMS	Q3 CMS	Q2 CMS	Q1 CMS	A3 $m^2$	A2 $m^2$	A1 $m^2$	V3 (m/s)	V2 (m/s)	V1 (m/s)	B m	b m	d m		نوبه	ردیف
۱/۱۶	۱/۲۵	۱/۴۵	۰/۳۹	۰/۶۸	۰/۳۹	۰/۳۵	۰/۵۴	۰/۳۵	۱/۳	۱/۴	۱/۲	۳/۰۵	۱/۵	۰/۵۴	بالا دست	C	۱
۱/۱۹		۱/۴۸	۰/۴	۰/۷	۰/۴				۱	۱/۳	۱/۲					۱۱۸۰	طول بازه
									۰/۹	۱/۱	۱					۱	درجه کانال
									۱/۱	۱/۲۵	۱/۱					GO-A	
Vm (m/s)	At CMS	Qt CMS	Q3 CMS	Q2 CMS	Q1 CMS	A3 $m^2$	A2 $m^2$	A1 $m^2$	V3 (m/s)	V2 (m/s)	V1 (m/s)	B m	b m	d m		بازه	ردیف
۱/۲۷	۱/۰۷	۱/۳۵	۰/۳۵	۰/۶۵	۰/۳۵	۰/۲۹	۰/۴۸	۰/۲۹	۱/۴	۱/۵	۱/۳	۲/۹۴	۱/۵	۰/۴۸	پایین دست	C	۱
۱/۲۵		۱/۳۳	۰/۳	۰/۶	۰/۴				۱/۱	۱/۳	۱/۳					۱۱۸۰	طول بازه
									۱	۱/۲	۱/۱					۱	درجه کانال
									۱/۲	۱/۳۵	۱/۲					GO-A	

S.W.A.of.R	$\frac{\Delta Q}{1}$	$\frac{\Delta Q}{100}$	$\Delta Q$	eff.%	Fr	N	S	D	R	P	Z			بازه	ردیف	
$m^2$			(Lit/sec)						M	m	m			بالا دست		
۳۵۳۴/۱	۰/۰۹	۸/۶۸	۱۰۲/۴۲	۹۲/۹۵	۰/۵۸۲	۰/۰۱۹۵	۰/۰۰۲	۰/۴۱	۰/۳۶	۳/۴۵	۱/۵۰				C	۱
				۸۹/۶۳											۱۱۸۰	طول بازه
					Fr	n	S	D	R	P	Z			پایین دست		
									M	m	m					
eff.%					۰/۶۷۲	۰/۰۱۶۸	۰/۰۰۲	۰/۳۶	۰/۳۳	۳/۲۲	۱/۵۰				C	۱
۹۱/۲۹															۱۱۸۰	طول بازه

### ۳-۵- آوردن رابطه‌ی بین غلظت مواد معلق و کدورت

در این بخش از تحقیق نمونه برداری از آب شبکه‌ی آبیاری دشت گرمسار بعد از حوضچه‌های ترسیب انجام گردید. محل برداشت در ایستگاه آب سنگی واقع در کanal اصلی آزادان بوده و از وسط آبراهه و در ۴/۰ عمق جریان از کف انجام شد. شایان ذکر است که به طور تقریب غلظت متوسط مواد معلق در یک مقطع جریان در ۴/۰ عمق جریان از کف اتفاق می‌افتد (شفاعی بجستان و بازار خ، ۱۳۸۷).

در این فرآیند سعی گردید نمونه برداری‌ها در ماه‌های مختلف سال‌آبی و بعد از وقوع بارندگی‌های احتمالی در حوضه‌ی بالادست حبله‌رود صورت پذیرد، تا دامنه‌های مختلفی از غلظت‌ها در این تحقیق بکار گرفته شود. نمونه‌گیری‌ها از اواسط مهر سال ۱۳۹۱ شروع و تا اواسط شهریور ماه سال ۱۳۹۲ ادامه یافت. نمونه‌های اخذ شده جمعاً به ۸۸ مورد رسید. در همان محل بلاfaciale بعد از اخذ نمونه TN-100/T-100 توسط اکیپ برداشت مشخصه‌ی کدورت توسط دستگاه کدورت سنج مدل ۱/۵ اندازه‌گیری گردید و بعداً در آزمایشگاه هیدرولیک دانشکده کشاورزی شاهرود غلظت نمونه‌های لیتری توسط کاغذ صافی و اون اندازه‌گیری و محاسبه شدند.

در این پروسه به ازای هر نمونه آب برداشت شده از شبکه یک کدورت و یک غلظت مواد معلق بدست آمد. در جدول (۱۲-۳) نمونه‌ای از فرم برداشت مربوط به کدورت و غلظت مواد معلق نمونه‌ها آورده شده است. بقیه داده‌ها در پیوست‌های (۳۰-۳) تا (۳۳-۳) درج گردیده‌اند. در جدول (۱۳-۳) کل نتایج مربوط به کدورت و غلظت نمونه‌ها آورده شده است.

جدول ۱۲-۳ - داده‌های غلظت مواد معلق و کدورت نمونه‌ها

کدورت (NTU)	غلظت مواد معلق (gr/ lit)	وزن ماده خشک (gr)	حجم نمونه (lit)	شماره		کدورت (NTU)	غلظت مواد معلق (gr/ lit)	وزن ماده خشک (gr)	حجم نمونه (lit)	شماره
۱۸۶/۶۷	۰/۵۶	۰/۸۵	۱/۵	۱		۷۶۲/۳۳	۱/۵۰	۲/۲۵	۱/۵	۱
۸۷/۷۷	۰/۳۳	۰/۵۰	۱/۵	۲		۵۷۷/۶۷	۱/۰۰	۱/۵	۱/۵	۲
۱۵۲/۰۰	۰/۵۰	۰/۷۵	۱/۵	۳		۴۴۴/۶۷	۰/۷۵	۱/۲۰	۱/۵	۳
۷۳۴/۶۷	۲/۷۸	۴/۲۰	۱/۵	۴		۳۵۹/۶۷	۰/۶۰	۰/۹۰	۱/۵	۴
۶۷۳/۶۷	۲/۳۸	۳/۶۰	۱/۵	۵		۲۶۳/۶۷	۰/۵۰	۰/۷۵	۱/۵	۵
۵۹۷/۶۷	۲/۱۷	۳/۲۵	۱/۵	۶		۲۴۷/۰۰	۰/۴۲	۰/۶۵	۱/۵	۶
۵۷۹/۳۳	۲/۰۰	۳/۰۰	۱/۵	۷		۲۱۵/۰۰	۰/۳۸	۰/۵۵	۱/۵	۷
۵۶۲/۰۰	۱/۸۵	۲/۸۰	۱/۵	۸		۱۹۱/۰۰	۰/۳۳	۰/۵۰	۱/۵	۸
۵۳۴/۰۰	۱/۷۲	۲/۶۰	۱/۵	۹		۱۶۹/۰۰	۰/۳۰	۰/۴۵	۱/۵	۹
۵۱۰/۰۰	۱/۶۱	۲/۲۴	۱/۵	۱۰		۱۵۴/۶۷	۰/۲۷	۰/۴۰	۱/۵	۱۰

جدول ۱۳-۳ - داده‌های مربوط به غلظت مواد معلق و کدورت

غلظت (g/lit)	کدورت (NTU)	ردیف	غلظت (g/lit)	کدورت (NTU)	ردیف
۰/۵۶	۱۸۶/۶۷	۴۶	۱/۵۰	۷۶۲/۳۳	۱
۰/۳۳	۸۷/۷۷	۴۷	۱/۰۰	۵۷۷/۶۷	۲
۰/۵۰	۱۵۲/۰۰	۴۸	۰/۷۵	۴۴۴/۶۷	۳
۲/۷۸	۷۳۴/۶۷	۴۹	۰/۹۰	۳۵۹/۶۷	۴
۲/۳۸	۶۷۳/۶۷	۵۰	۰/۵۰	۲۶۳/۶۷	۵
۲/۱۷	۵۹۷/۶۷	۵۱	۰/۴۳	۲۷۴/۰۰	۶
۲/۰۰	۵۷۹/۳۳	۵۲	۰/۳۸	۲۱۵/۰۰	۷
۱/۸۵	۵۶۲/۰۰	۵۳	۰/۳۳	۱۹۱/۰۰	۸
۱/۷۲	۵۳۴/۰۰	۵۴	۰/۳۰	۱۶۹/۰۰	۹
۱/۶۱	۵۱۰/۰۰	۵۵	۰/۲۷	۱۵۴/۶۷	۱۰
۱/۵۲	۵۰۲/۶۷	۵۶	۰/۲۵	۱۳۳/۰۰	۱۱
۱/۴۳	۴۶۳/۰۰	۵۷	۰/۲۳	۱۳۰/۰۰	۱۲
۱/۳۵	۴۳۷/۰۰	۵۸	۰/۲۱	۱۱۱/۶۷	۱۳
۱/۲۸	۴۱۹/۶۷	۵۹	۰/۲۰	۱۰۳/۶۷	۱۴
۱/۲۲	۳۸۹/۳۳	۶۰	۰/۱۹	۱۰۸/۶۷	۱۵
۱/۱۶	۳۸۷/۶۷	۶۱	۰/۱۷	۹۰/۳۰	۱۶
۱/۱۱	۳۶۸/۰۰	۶۲	۰/۱۵	۷۶/۰۷	۱۷
۱/۰۶	۳۶۱/۰۰	۶۳	۰/۱۴	۷۶/۲۰	۱۸
۰/۶۳	۲۱۱/۰۰	۶۴	۰/۱۲	۶۹/۹۷	۱۹
۰/۴۵	۱۸۵/۳۳	۶۵	۰/۱۰	۵۳/۱۰	۲۰
۵/۰۰	۹۰۰/۰۰	۶۶	۰/۰۹	۴۷/۲۳	۲۱
۴/۱۷	۸۶۷/۶۷	۶۷	۰/۰۸	۴۶/۶۰	۲۲
۳/۵۷	۸۰۷/۳۳	۶۸	۵/۰۰	۹۰۹/۶۷	۲۳
۳/۱۳	۷۶۳/۰۰	۶۹	۱/۱۴	۳۶۷/۰۰	۲۴
۰/۳۸	۸۰/۰۰	۷۰	۲/۵۰	۶۷۳/۳۳	۲۵
۱/۱۱	۳۶۸/۰۰	۷۱	۱/۸۵	۵۵۲/۰۰	۲۶
۲/۵۰	۶۷۳/۳۳	۷۲	۱/۶۷	۵۱۱/۶۷	۲۷
۲/۳۸	۶۷۳/۶۷	۷۳	۱/۳۹	۴۵۵/۳۳	۲۸
۲/۱۷	۵۹۷/۶۷	۷۴	۱/۱۴	۳۶۷/۰۰	۲۹
۲/۰۰	۵۷۹/۳۳	۷۵	۰/۹۳	۳۱۹/۰۰	۳۰
۱/۸۵	۵۶۲/۰۰	۷۶	۰/۷۸	۲۷۷۷/۶۷	۳۱
۱/۸۵	۵۵۲/۰۰	۷۷	۰/۶۸	۲۳۰/۶۷	۳۲
۱/۷۲	۵۳۴/۰۰	۷۸	۰/۶۳	۲۱۱/۰۰	۳۳
۰/۲۹	۸۶/۶۳	۷۹	۰/۵۶	۱۸۶/۶۷	۳۴
۰/۲۶	۷۶/۲۰	۸۰	۰/۵۰	۱۵۲/۰۰	۳۵
۱/۵۲	۵۰۲/۶۷	۸۱	۰/۴۵	۱۸۵/۳۳	۳۶
۱/۴۳	۴۶۳/۰۰	۸۲	۰/۳۸	۸۰/۰۰	۳۷
۱/۳۹	۴۵۵/۳۳	۸۳	۰/۳۳	۸۷/۷۷	۳۸
۱/۳۵	۴۳۷/۰۰	۸۴	۰/۲۹	۸۶/۶۳	۳۹
۱/۲۸	۴۱۹/۶۷	۸۵	۰/۲۶	۷۶/۲۰	۴۰
۱/۲۲	۳۸۹/۳۳	۸۶	۱/۰۶	۳۶۱/۰۰	۴۱
۱/۱۶	۳۸۷/۶۷	۸۷	۰/۹۳	۳۱۹/۰۰	۴۲
۳/۱۳	۷۶۳/۰۰	۸۸	۰/۷۸	۲۷۷۷/۶۷	۴۳
			۰/۶۸	۲۳۰/۶۷	۴۴
			۵/۰۰	۹۰۰/۰۰	۴۵



# فصل چهارم

## نتایج و بحث

در این فصل بر اساس داده‌های اندازه‌گیری شده، بررسی‌های صورت گرفته و بازدیدهای میدانی، دامنه هر یک از مشکلات شبکه آبیاری و تأسیسات وابسته مشخص گردیده که در این قسمت به تفصیل شرح داده می‌شود.

#### ۱-۴- ارزیابی راندمان انتقال شبکه‌ی آبیاری دشت گرمسار

راندمان انتقال یکی از معیارهای ارزیابی عملکرد شبکه های آبیاری می باشد با استفاده از داده های اندازه‌گیری شده و محاسبات هیدرولیکی مستند، راندمان انتقال شبکه بطور متوسط ۸۹ درصد برآورد گردید. طول کanal های انتقال حدوداً ۱۲۰ کیلومتر می باشد. جدول (۱-۴) راندمان انتقال هر یک از بازه‌های مورد بررسی را نشان می‌دهد.

جدول ۱- نتایج مربوط به راندمان انتقال در شبکه‌ی گرمسار

ردیف	نام بازه	درجه کanal	طول بازه (متر)	راندمان انتقال
۱	C	۱	۱۸۰۰	۹۱/۲۶
۲	A	۱	۵۵۰	۹۶/۱۳
۳	G	۱	۱۳۵۰	۹۱/۲۶
۴	K	۱	۹۵۰	۸۸/۷۳
۵	L	۱	۲۵۰۰	۸۴/۱۸
۶	N	۱	۱۵۵۰	۸۴/۱۲
۷	P	۱	۱۰۵۰	۹۳/۴۵
۸	U	۱	۱۴۰۰	۸۷/۶۵
۹	V	۲	۶۵۰	۹۱/۷۶
۱۰	Z	۲	۲۱۰۰	۸۶/۶۵
۱۱	W	۲	۱۴۰۰	۷۹/۷۶
۱۲	D	۲	۱۵۰۰	۹۲/۹۰
۱۳	E	۲	۱۸۵۰	۹۰/۳۰
۱۴	F	۲	۹۵۰	۸۳/۲۶
۱۵	H	۱	۱۵۰۰	۸۹/۵۸
۱۶	I	۲	۷۰۰	۹۰/۹۷
۱۷	M	۳	۵۰۰	۷۵/۲۴
۱۸	Q	۳	۱۴۰۰	۹۲/۲۴
۱۹	R	۳	۹۰۰	۸۹/۱۹
۲۰	S	۳	۱۵۰۰	۹۲/۶۸
۲۱	T	۳	۴۰۰	۹۶/۱۴
۲۲	B	۳	۶۶۰	۹۰/۵۰
راندمان انتقال شبکه				
۸۹/۰۰				

نتایج محاسبات نشان داد که مقادیر راندمان انتقال در کanal های شبکه بین ۷۵ تا ۹۶ درصد متغیر است و بطور متوسط راندمان انتقال ۸۹ درصد برآورد گردید. علت تلفات انتقال ۱۱ درصدی شبکه را در عمر بالای شبکه ، ترکهای عرضی و طولی در جدارهای کanalها، آبندی نشدن مناسب درزهای انقباض، رویش علفهای هرز در بدنهای کanalها، رسوب‌گذاری به علت پایین بودن شیب در بعضی موارد و از همه مهمتر اقلیم منطقه که باعث افزایش پتانسیل تبخیر شده، می‌توان ارزیابی نمود. برای بهبود راندمان انتقال می‌توان به استفاده از مقطع مستطیلی به جای مقطع ذوزنقه‌ای، دال‌گذاری روی مجاری روبرو، لایروبی منظم، تعمیر و نگه داری دوره‌ای کanalها اشاره نمود. با توجه به مشاهدات صحرایی انجام شده و با عنایت به عمر بیش از ۳۰ ساله شبکه از نظر سازه ای کanalهای انتقال استحکام خود را حفظ کرده و ترکهای اندکی در لاینینگ کanal مشاهده شد . شکل (۱-۴) یکی از کanalهای پوشش‌دار شبکه گرمسار را نشان می‌دهد.



شکل ۱-۴- نمونه‌ی کanal انتقال پوشش‌دار شبکه‌ی گرمسار

از طرفی طبق محاسبات انجام شده نشان می دهد که ضریب زبری مانینگ افزایش یافته و از مقدار طراحی ۰/۰۱۴ فراتر رفته و بطور متوسط به عدد بیش از ۰/۰۲۱ رسیده که باعث کاهش سرعت و در نهایت باعث کاهش ظرفیت انتقال و نهایتاً کاهش راندمان انتقال شده است. افزایش زبری به علت عمر بالای شبکه، رسوب گذاری، رشد جلبک و علف های هرز، لایروبی نادرست، اصولی آبندی نشدن درزهای انقباض توسط ماده مناسب (ماستیک) و ریزش سنگریزه از برم به داخل کanal ارزیابی می شود. مواد پرکننده درزهای انقباض از سطح کanal بیرون زده که خود عاملی در افزایش ضریب زبری و نهایتاً در کاهش راندمان انتقال عمل می کند. رشد علف های هرز در درزهای انقباض باعث افزایش مقاومت جریان و افزایش تلفات نشتی و همچنین باعث تخریب بتن لاینینگ می شود که می تواند عاملی در کاهش راندمان ارزیابی گردد. واریز شدن سنگریزه ها در داخل کanal انتقال از برم ها باعث به هم خوردن هیدرولیک جریان شده و عاملی در کاهش سرعت و در نتیجه باعث افزایش رسوب گذاری می شود. در اشکال (۴-۶) الی (۶-۴) انواع معایب ساختاری کanal های شبکه دیده می شود.



شکل ۴-۲- درزهای انقباض بصورت ناصحیح پر شده‌اند



شکل ۴-۳- رشد علفهای هرز در درز انقباض و رسوب‌گذاری در دیوارهای کanal



شکل ۴-۴- بالا زدگی آب در کanal انتقال به علت وجود سازه کنترل کننده در پایین دست



(الف)



(ب)

شکل ۴-۵-الف و ب رشد علفهای هرز در برم‌ها کانال انتقال و ورود به داخل کanal



(الف)



(ب)

شکل ۶-۴- رشد علفهای در درزهای انقباض در کanal انتقال

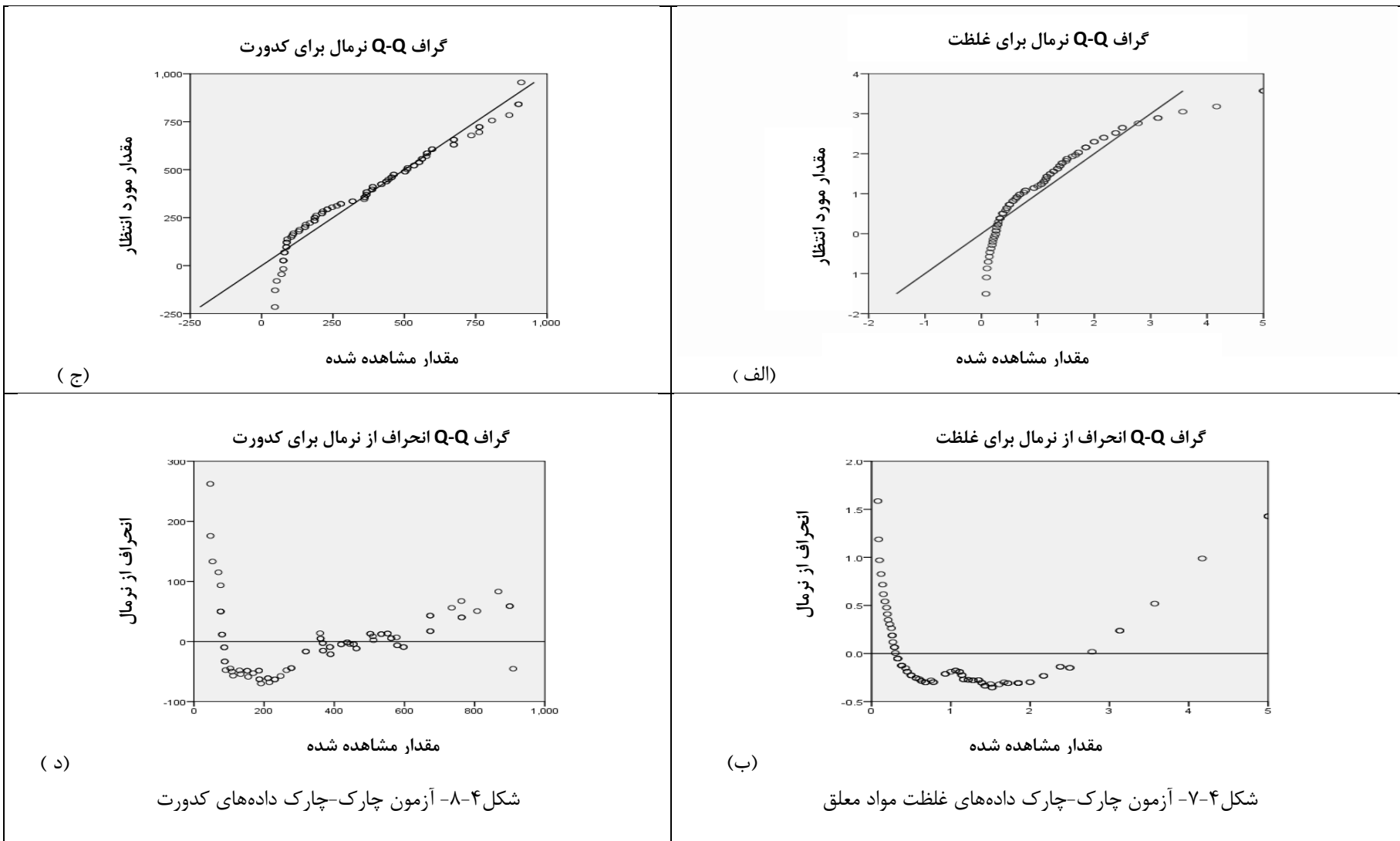
## ۲-۴- برآورد معادله‌ی بین کدورت و غلظت مواد معلق در شبکه‌ی آبیاری گرمسار

برای بدست آوردن رابطه‌ی بین کدورت و غلظت مواد معلق در شبکه‌ی آبیاری گرمسار از داده‌های جدول (۱۳-۳) استفاده می‌شود. این داده‌ها بصورت عملیات صحرایی و آزمایشگاهی از شبکه در طول یکسال اخذ گردید. برای تعیین نرمال بودن توزیع داده‌ها از آزمون گرافیکی چارک-چارک<sup>۱</sup> استفاده شد. در اینجا از نرم‌افزار آماری SPSS16 برای تجزیه و تحلیل آماری داده‌ها استفاده گردید (حبیب‌پور و صفری، ۱۳۹۱).

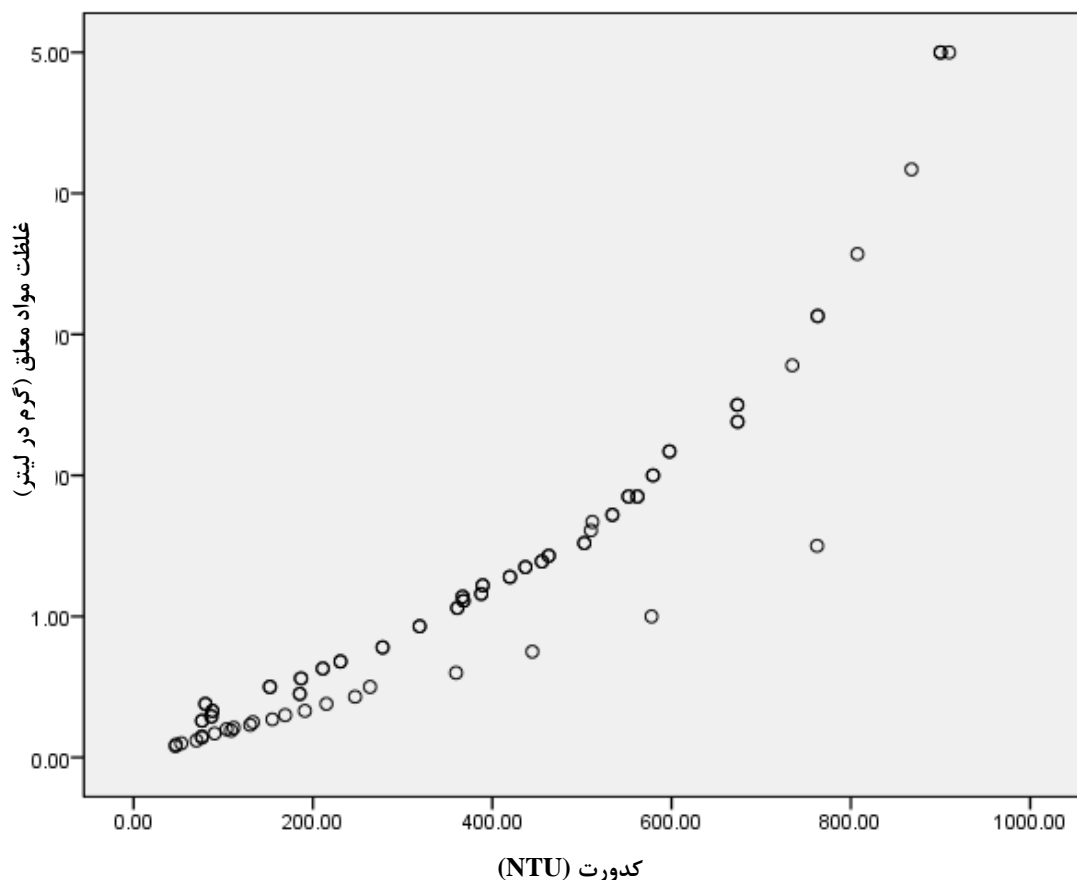
نتایج آزمون بصورت گراف‌های (۷-۴) و (۸-۴) نشان داد که توزیع داده‌ها نرمال نیست. شکل‌های (ب) و (د) میزان نرمال نبودن داده‌های مذبور را نشان می‌دهد.

---

<sup>1</sup> Q-Q plot



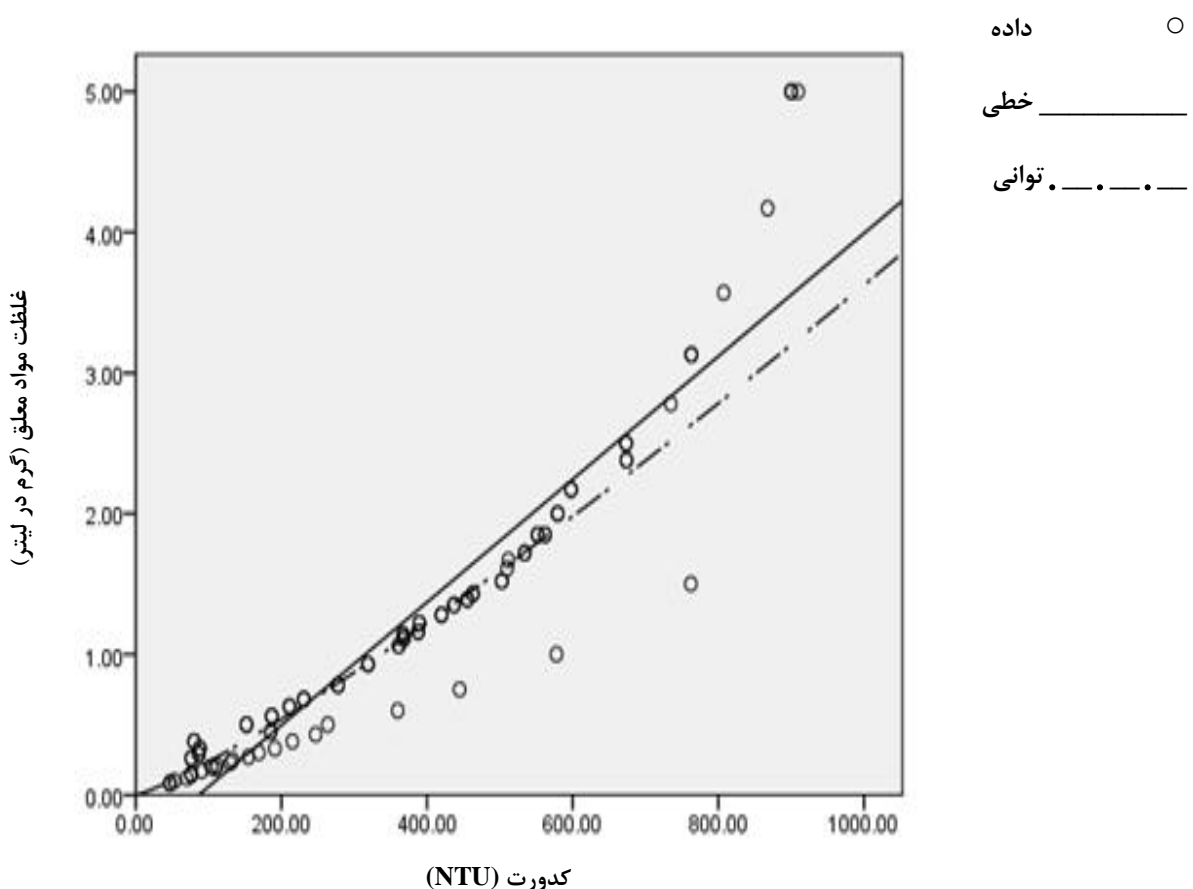
با توجه به نتایج آزمون گرافیکی چارک- چارک، برای تعیین میزان همبستگی داده ها از آزمون غیرپارامتریک ضریب همبستگی اسپیرمن<sup>۱</sup> استفاده شد. شکل (۹-۴) نمودی از پراکنش داده ها می باشد. در اینجا متغیر مستقل کدورت انتخاب شده است چون اندازه گیری آن به راحتی توسط دستگاه کدورت سنج قابل سنجش است. متغیر وابسته، غلظت مواد معلق در نظر گرفته می شود چون بدست آوردن آن در آزمایشگاه نسبتاً مشکل می باشد.



شکل ۹-۴- گراف پراکنش داده ها به روش اسپیرمن

<sup>۱</sup> Spearman rank correlation coefficient

با توجه به نمودار پراکنش داده ها شکل (۹-۴) پی می بریم که رابطه بین دو متغیر کدورت و غلظت مواد معلق، بیشتر می تواند بصورت خطی<sup>۱</sup> و توانی<sup>۲</sup>، به صورت شکل (۱۰-۴) باشد.



شکل ۱۰-۴- منحنی های برآش خطی و توانی داده ها

جدول (۲-۴) میزان برآش دو مدل را مقایسه می کند در این جدول سطح معنی دار آزمون F برای هر دو مدل توانی و خطی کوچکتر از  $0.05$  است. در چنین شرایطی، برای این که بهترین مدل را انتخاب کنیم باید مدلی را برگزینیم که مقدار آماره F در آن بیشترین مقدار را دارد.

<sup>1</sup> Linear  
<sup>2</sup> Power

همانطور که در جدول ملاحظه می‌شود، مقدار آماره F برای مدل رگرسیونی توانی بیشتر از مدل دیگر است. بنابراین، می‌توان گفت که مدل رگرسیونی توانی برآورده ترین مدل برای پیش‌بینی تغییرات غلظت مواد معلق بر حسب کدورت است.

معادله برآش به صورت زیر تعیین می‌گردد:

$$Y = 0.001 X^{1/183}$$

که در آن X معرف کدورت بر حسب NTU و y معرف غلظت مواد معلق بر حسب g/lit است.

جدول ۴-۲- پارامترهای برآش

$b_1$	مقدار ثابت معادله	مقدار آماره F	$R^2$	معادله
۰/۰۰۴	-۰/۳۷۸	۵۷۳/۶۳۶	۰/۸۷۰	خطی
۱/۱۸۳	۰/۰۰۱	۱۰۸۲	۰/۹۲۶	توانی

### ۴-۳- تخریب بتن سازه‌ای

تخربهای سازه‌ای در شبکه بیشتر در دراپ‌ها مشاهده گردید. که در شکل (۱۱-۴) نمونه‌هایی آورده شده است. علت را می‌توان در سرعت بالای موضعی جریان در این گونه سازه‌ها و پدیده خلاء زایی دانست. همچنین می‌توان تخریب‌های حاصله را به علت تغییرات دمایی شدید نیز عنوان نمود چرا که قسمت دیوارهای دراپ‌ها در بیرون از بستر خاکریز کanal انتقال بوده و در زمستان دچار تخریب می‌شوند (شکل الف).



(الف)



(ب)

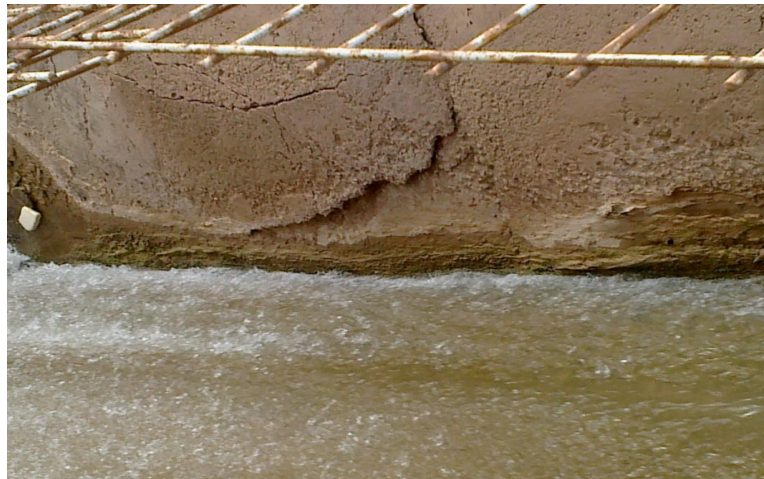
شکل ۱۱-۴- تخریب بتن در دراپ‌ها



(د)



(س)



(ج)



(ل)

شکل ۱۱-۴- تخریب بتن در دراپ‌ها



(ق)



(ش)

ادامه شکل ۱۱-۴- تخریب بتن در دراپ‌ها



(ص)

#### ۴-۴- مسئله رسوب‌گذاری در شبکه

مسئله رسوب در شبکه های آبیاری کشور از مشکلات رایج می باشد. که علت آن را می توان در بعد کلان ضعف در آبخیزداری حوضه‌ها دانست. در طراحی سازه‌های آبی نیز اگر مسائل فنی و هیدرولیکی مربوط به رسوب رعایت نشود تهدیدی برای عملکرد آنها خواهد بود . با این مقدمه در شبکه‌ی آبیاری دشت گرمسار نیز این مشکل به چشم می خورد با وجود طراحی حوضچه‌ی ترسیب در پایین دست بند انحرافی گرمسار، سالانه هزاران تن رسوب وارد شبکه شده و مشکلاتی در بهره برداری از شبکه ایجاد می‌کند. این موضوع در کanal کمربندی CCU بیشتر نمایان است چراکه این کanal در امتداد خطوط تراز احداث گردیده و با توجه به شیب کم، بیشترین ترسیب مواد معلق در این بازه اتفاق می افتد که سالانه باید لایروبی گردد . که هزینه گزافی را بر شرکت بهره بردار تحمیل می کند. از طرفی هنگام لایروبی باعث تخریب لاینینگ کanal نیز می شود. شکل (۱۲-۴) نمایشی از رسوب در کanal‌های شبکه گرمسار می باشد.

رابطه استخراجی بین کدورت و غلظت مواد معلق در آب شبکه دشت گرمسار می تواند در موارد زیر مورد استفاده واقع شود:

- برآورده بار معلق.
- برآورده میزان رسوب وارد شده به شبکه.
- مدیریت در باز و بسته کردن دریچه‌های شعاعی بند انحرافی.

مثالاً در شرایطی که دبی کanal اصلی (OA) ۴ مترمکعب در ثانیه و کدورت اندازه گیری شده ۳۵۸ گزارش گردد. می‌توان برآورد کرد که در مدت ۲۴ ساعت مقدار مواد معلق (رس و سیلت و ماسه نرم) وارد شده به شبکه ۳۶۳ تن می باشد که به صورت بالقوه توانایی ترسیب را دارد.



ز



الف



ر



ب

شکل ۱۲-۴ - نمایش رسوپ در کانال‌های شبکه‌ی گرمسار

## ۴-۵- مشکلات کanal گرمسار و انشعابات آن

با توجه به اینکه کanal گرمسار نقش آبرسانی به کanal های درجات پائین تر و آبگیرهای مختلف را دارد لذا می توان تقسیم بندی مشکلات را با انشعابات آن شروع نمود . شکل (۴-۱۳) آبگیر ابتدای کanal گرمسار را نشان می دهد.

## ۴-۱- مشکل کanal AX

کanal AX از نقطه A به سمت غرب از کanal گرمسار جدا شده و بشکل تلسکوپی ادامه یافته و در امتداد خود به بازه هایی به اسمی X<sub>1</sub>، X<sub>2</sub>، X<sub>3</sub>، X<sub>4</sub>، X<sub>۳۰۱</sub>، X<sub>۴۰۱</sub>، X<sub>۴۱۱</sub> و X<sub>۴۱۲</sub> نامیده شده و تا انتهای اراضی غربی شبکه ادامه می یابد. ضمناً شاخه های X<sub>۱</sub> و X<sub>۲</sub> بطور عمودی در جهت جنوب از آن جدا می گردد. گسترش شهر گرمسار و اتصال روستاهای اطراف به آن مانند روستای لجران، کوی فرهنگیان و... مشکلات زیر را ایجاد کرده است.

### • کanal های X<sub>۴۱۱</sub> و X<sub>۴۱۲</sub>

این کanal ها در داخل اراضی شهری و کوچه های گرمسار عبور نموده و همیشه مشکل تخلیه زباله شهری در کanal ها و خطرات سقوط اطفال بداخل آنها مشاهده می گردد، رسوبگذاری در انتهای کanal های X<sub>۴۱۱</sub> و X<sub>۴۱۲</sub> از دیگر مشکلات آنها بوده که باعث کاهش کشش کanal ها می گردد که همه ساله می باشیستی لایروبی گردد ولی بلا فاصله با رسوب دوباره انباسته می شود. تجمع فاضلاب های شهری در انتهای کanal های X<sub>۴۱۱</sub> و X<sub>۴۱۲</sub> سبب بروز مشکلاتی در بهره برداری از کanal ها می گردد.

### • کanal X<sub>۴۰۱</sub>

اراضی زیردست این کanal در حال حاضر جزء شهر گرمسار شده و نیاز به آب ندارد بنابراین کanal X<sub>۴۰۱</sub> غیرقابل استفاده باقی مانده است.



(الف)



(ب)



(ج)

شکل ۱۳-۴-آبگیر ابتدای کanal گرمسار

## • کanal X<sup>3</sup>

این کanal از داخل شهرک کرند عبور کرده و همیشه در معرض ریختن آشغال بداخل آن و خطر سقوط اطفال و دامهای روستا به آن می‌باشد که باید چاره‌اندیشی گردد. همچنین تقاطع این کanal با بلوار راه آهن گرمسار بعلت کم بودن کشش سیفون تقاطعی همواره ایجاد مشکل می‌نماید، بخصوص در موقع بارندگی آب پس زده و وارد سطح جاده می‌گردد. ادامه کanal در داخل کوچه‌های مسکونی شهر سبب بروز مشکلاتی برای اهالی شده و خطر سقوط اطفال بداخل آن وجود دارد. در مجموع معمولاً عملیات بهره‌برداری و نگهداری با مشکل مواجه بوده و اغلب مسائل اجتماعی بروز می‌نماید. عکس‌های (۱۴-۴) و (۱۵-۴) محل تقاطع کanal X<sup>3</sup> با بلوار راه آهن قبل از سیفون تقاطعی را نشان می‌دهد. کanal X<sup>3</sup> پس از عبور از روستاهای فرور و کرند با راه آهن تهران - مشهد تقاطع داشته ولی به علت گرفتگی سیفون تقاطعی، زارعین قبل از سیفون آب را به زیر کالورت راه آهن هدایت نموده و بطور غیر اصولی مشکل خود را حل کرده‌اند. عکس‌های (۱۶-۴) و (۱۷-۴) چگونگی انحراف آب را از زیر کالورت راه آهن نشان می‌دهد.

## • کanal X<sup>2</sup>

کanal X<sup>2</sup> شاخه‌ای عمودی از کanal AX بوده که به اراضی روستای لجران اربابی آبرسانی می‌کند، جهت آن شمالی جنوبی بوده و با خط راه آهن تقاطع دارد. در محل تقاطع به علت کشش کم سیفون و گرفتگی آن زارعین آب را از زیر کالورت راه آهن عبور داده و پس از آن روستای ساروزن و شاهبداغ آبگیری نموده و شاخه‌ای از آن بطرف اراضی لجران اربابی که هم اکنون جزء اراضی شهری شده است ادامه مسیر می‌یابد.



شکل ۱۴-۴- تجمع زباله در ورودی سیفون تقاطعی کanal X۳ با بلوار راه آهن گرمسار



شکل ۱۵-۴- محل تقاطع کanal X۳ با بلوار راه آهن و برگشت آب در ورودی سیفون



شکل ۱۶-۴- گرفتگی سیفون تقاطعی کanal X۳ با خط راه آهن و هدایت آب به زیر کالورت مجاور



شکل ۱۷-۴- شکستگی کanal X۳ و هدایت آب به زیر کالورت راه آهن

## ۴-۵-۲- مشکل کanal BZ و BY

نقطه B بر روی کanal گرمسار از نقاط کنترلی و با اهمیت بوده که حوضچه تقسیمی در آن محل احداث و کanal های BZ از سمت راست و BY1 و BY2 از سمت چپ و BC بطور مستقیم ادامه می‌یابد، همچنین دریچه‌ای آب را بسمت حوضچه‌های تغذیه مصنوعی منتقل می‌نماید.

### • آبگیر Z2

ادامه مسیر Z2 با جاده ناسار، سیفون تقاطعی قرار دارد که کشش آن کم بوده و نیاز به بازسازی دارد زیرا رسوبگیری و کاهش دبی همواره در این نقطه دیده می‌شود. همچنین پل روی دریچه در مسیر BZ (محل آبگیر Z2) شکسته شده و نیاز به تعمیر دارد.

### • دریچه Z3

کنار دریچه آبگیر Z3 دریچه بزرگی وجود دارد که بلا استفاده مانده است، شاید هدف اولیه، آبرسانی به اراضی یکپارچه شرکت سهامی زراعی بوده باشد . در حال حاضر یک قاب دریچه برای روستای ناسار آبگیری می‌نماید.

اولین دریچه آبگیر از کanal BY حدود ۱۰ متر جلوتر از حوضچه تقسیم آب برای اراضی روستای کهنه آبگیری می‌نماید همچنین سرریز جانبی تا ۵۰۰ لیتر در ثانیه آب را به حوضچه تغذیه مصنوعی هدایت می‌کند. کanal انتقال آب به حوضچه تغذیه مصنوعی که بخشی از آن خاکی و بخشی بتونی می‌باشد جدیداً احداث گردیده ولی وضعیت حوضچه از لحاظ نشت آب مشکل دار بوده و در اطراف آن تراوش آب وجود دارد که لازم است برای جلوگیری از تخریب آن چاره اندیشه گردد زمان انتقال آب بداخل حوضچه، ماههای پرآبی در فصل بهار و پائیز می‌باشد.

### • کanal Y2 و سیفون بلااستفاده آن

ادامه کanal BY از زیر دو شاخه رودخانه کردوان عبور کرده و سازه سیفون در محل تقاطع احداث شده است از این شاخه کanal های MAY2، MAY31، GHY4 برای اراضی حسین آباد موقوفه،

محمدآباد خالصه، کردوان، محمودآباد، امامزاده علی‌اکبر و حسنآباد آبگيري می‌نمایند. در مسیر کanal BY بعد از ج‌داشدن شاخه ۱ کanal بدون وجود هیچ عارضه‌ای سیفون گردیده که بنظر می‌رسد در طرح اولیه در زمان شرکت سهامی زراعی قرار بوده که جاده ای از روی آن عبور نماید ولی امروزه وجود این سازه بی‌فایده بوده و می‌توان برای جلوگیری از مشکلات تمیزکردن و لایروبی سالانه، سیفون را تبدیل به کanal روباز نمود. در حال حاضر مشکلات سالانه برای این سیفون وجود دارد. از دیگر مشکلات مسیر ۲ رسوبگذاری در حوضچه‌های تقسیم آب و گرفتگی سوراخ کنترل‌کننده جریان می‌باشد. شکستگی بتن دیواره سازه‌های کنترل کننده از جمله مشکلات موجود می‌باشد.

#### ۴-۶- مشکلات کanal آرادان

همانطور که قبل‌اً بیان گردید پس از حوضچه‌های رسوبگیر در محل سد انحرافی کanal های گرمسار و آرادان از پایین‌دست حوضچه، آبگيري می‌نمایند بدین‌ نحو که کanal گرمسار توسط دریچه‌های نیرپیک ۸ مترمکعب آب را تحويل گرفته و بقیه آب به کanal آرادان سرازیر می‌شود ورودی آرادان فاقد دریچه و دارای آستانه سرریز می‌باشد که رقوم ارتفاعی آن ۲۰ سانتیمتر بالاتر از رقوم ارتفاعی آبگیر کanal گرمسار می‌باشد. بنابراین کanal گرمسار می‌تواند تمام ظرفیت خود را دریافت و پس از آن آرادان آبگيري نماید. از جمله اشکالات اصلی کanal آرادان تغییر دبی ورودی آن با تغییر آورد رودخانه می‌باشد از آنجائیکه دبی رودخانه حتی در صبح و عصر ممکن است متفاوت باشد این تغییرات به کanal آرادان انتقال می‌یابد. در بالادست سد انحرافی مقداری باغات در اطراف رودخانه قرار دارند که بدون نظارت و به دلخواه نیاز باغات خود را از آب رودخانه تأمین می‌نمایند این آبگیرها بخصوص در روزهای تعطیل از جمله علل نوسان آب در رودخانه می‌باشد. مشکل کanal آرادان در شاخه‌ی PQ بصورت زیر می‌باشد.

#### ۴-۶-۱- مشکل نقطه‌ی Q1 (کanal Q11)

از نقطه‌ی Q1 روی شاخه‌ی PQ کanal اصلی آرادان، یک شاخه کanal بنام Q11 جدا شده و به سمت جنوب جریان می‌یابد. ظرفیت کanal ۱۱ Q11 برابر ۱۲۰ لیتر در ثانیه می‌باشد که به روستاهای کاظم‌بیگی (۵۰ لیتر در ثانیه) اربابی آرادان (۵۰ لیتر در ثانیه) و شهرداری آرادان (۲۰ لیتر در ثانیه) آبرسانی می‌نماید و تا تقاطع جاده رفت و برگشت گرم‌سار - سمنان کanal بصورت آبرسان بوده و مشکلی ندارد. پس از جاده (صد متر پائین تر از کالورت تقاطعی) حوضچه تقسیم آب وجود دارد که آبگیر اربابی آرادان از سمت چپ آن جدا شده و سه سنگ حلقه و ۲ سنگ آب مازاد را به این اراضی منتقل می‌کند. این آبگیر از نوع مدول نیرپیک بوده و عملأً بیش از ۳۰-۴۰ لیتر در ثانیه آب از آن عبور نمی‌کند. علت آن سطح آب جلو دریچه می‌باشد که ارتفاع لازم را ایجاد نکرده و قاب‌های دریچه خالی می‌باشد و لازم است این مشکل برطرف گردد. در این نقطه یا باید کف دریچه پایین کشیده شود و یا سطح آب بالاتر برده شود، بالابردن سطح آب سبب پس زدن آب به زیر کالورت جاده آسفالته شده و خرابی ایجاد می‌نماید زیرا شیب کanal Q11 در این بازه کم بوده و رسوبات تنهشین می‌گردد.

#### ۴-۶-۲- شاخه‌ی APQ11

در انتهای کanal Q11 سیفون احداث شده زیر جاده ی روستایی، آب را به سمت چپ جاده منتقل کرده و کanal فرعی ادامه می‌یابد از این کanal شاخه درجه ۴ تقریباً بموازات Q11 در خلاف جهت احداث شده که آب را به چند قطعه از اراضی کاظم‌بیگی برساند. این شاخه در حال حاضر بلااستفاده بوده و آبرسانی به این قطعات توسط انہار سنتی از نقطه P انجام می‌گیرد. آبگیر شهرداری آرادان از سمت راست حوضچه جدا شده و پس از طی ۲۰ متر آب توسط لوله‌ای از روی کanal به سمت چپ منتقل شده و بطرف محل مصرف جریان می‌یابد در صورتیکه می‌توان آبگیری را از سمت چپ انجام داد که لوله ایجاد شده حذف گردد. عکس (۱۸-۴) و (۱۹-۴) آبگیر شهرداری آرادان و کanal بلااستفاده و سازه‌های ایجاد شده را نشان می‌دهد.



شکل ۱۸-۴- محل آبگیری شهرداری آزادان از کanal کاظمیگی و لوله انحراف آب به سمت چپ کanal



شکل ۱۹-۴- جعبه تقسیم و کanal درجه ۴ بلاستفاده برای اراضی کاظمیگی

### ۴-۶-۳- مشکل سیفون نقطه‌ی N1

کanal Q<sub>N</sub> در انتهای شاخه‌ی ای از رودخانه‌ی حبله‌رود بنام فروان برخورد کرده و سیفون می‌گردد، آبشتگی توسط رودخانه سبب شده که اطراف سیفون خالی شده و دیواره‌های آن دیده شود. ضمناً از دیواره‌ها، تراوش آب نیز به چشم می‌خورد. در این نقطه سیفون باید به سرعت مرمت و ترمیم گردید و اطراف آن پوشش شود. اقدامات لازم به منظور تثبیت رودخانه و کنترل آبشتگی در محدوده این سیفون ضروری می‌باشد. از نقطه N پس از تحویل آب کهن آباد و وقفی آرادان بقیه آب به سمت نقطه C2 جریان یافته و به کanal کمربندی متصل می‌گردد.

### ۴-۶-۴- مشکلات کanal کمربندی (UCC1)

در طراحی اولیه شبکه‌های آبیاری گرمسار بدلیل کمبود آب در ماه های خشک سال و نبود منبع ذخیره آب و استفاده از جریان بهنگام رودخانه، کanal کمربندی UCC1 را در جنوب شبکه طراحی و اجرا نمودند. زمانی که دبی رودخانه کاهش می‌یابد ابتدا اثر آن در کanal آرادان مشاهده شده و کanal‌های انتهایی شبکه بشدت دچار کمبود آب می‌گردند، برای جلوگیری از افت سطح آب در آن ناحیه کanal گرمسار به کanal کمربندی در نقطه C آبرسانی نموده و کمبود آب در این ناحیه را تقلیل می‌دهد نقطه C که اصطلاحاً "دولات" نامیده می‌شود که جریان را به کanal‌های مختلف تقسیم و تنظیم می‌نماید.



شکل ۲۰-۴- حوضچه‌ی تقسیم آب نقطه‌ی C (دولات) و آبگیر مندولک



شکل ۲۱-۴- آبگیر شاخه CU جهت آبرسانی به روستاهای زیردست از نقطه‌ی دولات

## CC1 - ۱-۴-۶-۴ - کanal

این شاخه کanal از نقطه C (دولات) آب را به سمت شرق شبکه منتقل می نماید نحوه آبگیری از

این کanal و نقاط حساس روی آن به شرح زیر است:

### • نقطه C6

از این نقطه شاخه C6 و C601 جدا می شود که حدود ۲۰ لیتر در ثانیه آب را به روستای

سعدآباد منتقل می نماید. در زمان کم آبی، این روستا با مشکل مواجه بوده و آب به آن نمی رسد.

شاخه C601 قبل برای آبرسانی به رشمeh احداث شده بود ولی بعلت کم آبی در موقع کاهش دبی

محل آبگیر آن را تغییر داده و در حال حاضر از انتهای کanal ۲۱ آبگیری می نماید. بنابراین کanal

C601 تقریباً بلااستفاده بوده و آبی دریافت نمی کند عکس (۴-۲۲) کanal رشمeh را نشان می دهد.

برخی از شاخه های فرعی کanal C601 که در طرح اولیه بوده احداث نشده است.

### • نقطه C5

از این نقطه کanal های C5 به انهار مگستپه، امامزاده قوشه، یدکی نورالدین آبرسانی می نماید شاخه

C51 به شهر سفید آبرسانی می کند همچنین روستاهای محمدآباد موقوفه و قشلاق تقی رستم از این

کanal آب دریافت می دارند. در نقطه C5 سه دریچه نیرپیک ۳۰۰، ۴۸۰ و ۹۰ لیتری کار گذاشته

شده که بیش از ظرفیت مورد نیاز می باشد و بلااستفاده مانده است . در مسیر کanal C5 نیز

دریچه های قدیمی و از کار افتاده قرار دارد که نمی تواند نقش تنظیم و تقسیم آب را بخوبی انجام

دهد.

### • نقطه C1

این نقطه که در کنار ایستگاه راه آهن یاتری سفلی قرار دارد شامل جعبه تقسیم و چک نوک

مرغابی است. عکس های (۴-۲۳) و (۴-۲۴) حوضچه تقسیم آب را در نقطه C1 نشان می دهد .

همانطور که ملاحظه می‌شود دیوارهای حوضچه نیاز به تعمیر دارد.



شکل ۴-۲۲ - کanal بلااستفاده C601 (روستای رشم)<sup>۴</sup>

#### • نقطه‌ی C4

کanal C4 که از نقطه C4 کمربندی جدا می‌شود در حال حاضر قابل استفاده نمی‌باشد.



شکل ۲۳-۴- وضعیت حوضچه‌ی تقسیم آب در نقطه C1



شکل ۲۴-۴- وضعیت حوضچه‌ی تقسیم آب در نقطه C1 و شکستگی دیواره‌ها

## ۴-۶-۲- مشکلات وابسته به کanal کمربندی

- به علت سوار نشدن آب به اراضی سه دانگ مندولک از طریق کanal C71 و گرفتگی اولین سیفون روی آن (حدود ۲۰۰ متر پس از آبگیری از نقطه C) کanal بلااستفاده مانده و رسوب در آن انباشته شده است.
- دریچه‌های آبگیر تعبیه شده برای کanal C701، CU، C71 در نقطه تقسیم C دارای ظرفیت بیش از نیاز بوده که برخی از روزنه‌های آن بلااستفاده مانده و برخی خراب می‌باشند که باید در موقع استفاده جوش آن باز شده و پس از استفاده مجدداً جوش داده شود که لازم است اصلاح گردد.
- ادامه کanal C51 در نزدیک امامزاده قوشه و قشلاق تقی رستم به علت عبور ماشین آلات سنگین شکسته شده که نیاز به بازسازی دارد.
- اساسی‌ترین مشکل نقاط C1، C5، C6 کمبود آب در زمان‌های کم‌آبی می‌باشد . در گذشته قرار بوده که آب چاه‌های تلفیقی G22، G23، G25 به این شاخه از کanal کمربندی آبرسانی کند که امروزه بعلت عدم استفاده از چاهها مشکل کمبود آب وجود دارد.
- یکی از مشکلات تنظیم آب در نقاط C1-C6 مراجعه روزانه کشاورزان است که دائماً باید دستور باز و بسته کردن دریچه‌ها به میراب داده شود در حالی که روستاهای دارای نماینده، اینکار به صورت ماهانه انجام شده و مشکل کمتری از لحاظ بهره‌برداری به وجود می‌آید.

## ۴-۷- مشکلات آبگیرهای روستائی

در نقطه Q3 ، کanal‌های Q4 و Q5 برای آبیاری اراضی پاده و پنجهزاری و رمضانقره جدا شده و به سمت شرق ادامه مسیر می‌دهد. این کanal‌ها با انشعابات چپ و راست نقش آبرسانی به اراضی زیردست را بعهده دارد. این کanal‌ها که جزء شبکه‌های فرعی به حساب می‌آیند خارج از محدوده عمل شرکت بهره‌برداری و نگهداری می‌باشد و ظاهراً می‌باید توسط بهره‌برداران نگهداری گردند ولی متأسفانه بعلت ناگاهی بهره‌برداران، نداشتن تشکل و سیستم منظم بهره‌برداری و نگهداری، برخی از کanal‌ها بدون استفاده باقی مانده و دریچه‌های نصب شده عموماً تخریب گردیده و مورد استفاده قرار نمی‌گیرند بعارت دیگر از شبکه‌های مدرن بطور سنتی استفاده می‌گردد که عملاً هزینه‌های هنگفت انجام شده به تدریج از بین رفته و شبکه در حال تخریب می‌باشد.

عکس‌های (۲۵-۴) تا (۲۸-۴) وضعیت دریچه‌ها و کanal های فرعی آبیاری را که در دست بهره‌برداران روستاهای پاده، رمضانقره، و پنجهزاری می باشد نشان می دهد. لازم است در این ارتباط، تصمیم‌گیری مناسبی جهت حفظ و نگهداری تأسیسات ایجاد شده اتخاذ گردد.



شکل ۴-۲۵- دریچه‌ی آبگیر کanal درجه ۴ اراضی پاده



شکل ۴-۲۶- چگونگی استفاده از آبگیرهای شبکه‌ی فرعی



شکل ۲۷-۴- دریچه‌های آبگیر بلااستفاده در اراضی پاده



شکل ۲۸-۴- کانال‌های فرعی بلااستفاده و دریچه‌های آبگیر مربوطه

## ۸-۴- شبکه‌های فرعی آبیاری

در منطقه گرمسار بیش از ۲۰۰ کیلومتر شبکه‌های فرعی احداث گردیده است. عمدتی این شبکه‌ها در شرق منطقه و زیر کanal آزادان و شاخه های مربوطه می باشد. در مناطق اطراف روستاهای پنجهزاری، پاده، قلعه خرابه، حسین‌آباد کردها و سایر قسمت‌ها کanal‌های فرعی احداث گردیده و در زمان شرکت سهامی زراعی، یکپارچگی اراضی انجام گرفته بود . در شرایط فعلی ، این شبکه‌ها تحت مدیریت شرکت بهره‌برداری نمی‌باشد و ظاهراً تحت مدیریت بهره‌برداران از آب بوده و عملاً مدیریتی بر حفظ و نگهداری آنها اعمال نمی‌گردد. شرکت بهره‌برداری سالانه بررسی می‌کند که رسوبات جمع شده در آنها توسط بهره‌برداران لایروبی گردد. اغلب این شبکه‌ها بلااستفاده مانده و یا قسمتی از آنها استفاده شده و بخشی از کanal‌ها و دریچه‌ها غیرقابل استفاده می‌باشد. عکس‌های (۲۵-۴) تا (۲۸-۴) وضعیت دریچه‌های آبگیر روی کanal‌های درجه ۳ و ۴ در اراضی پاده، پنجهزاری و علی‌آباد معتمدی را نشان می‌دهد. بازدیدهای انجام شده حاکی از آن است که این دریچه‌ها و کanal‌ها بلااستفاده مانده و کارآیی خود را از دست داده است . لازم است برای جلوگیری از اتلاف هزینه های انجام شده چاره‌اندیشی شود.

## ۹-۴- وضعیت سازه‌های آبی

در شبکه‌های آبیاری گرمسار آبگیرهای مدول نیرپیک، کنترل کننده ثابت نوک مرغابی (duckbill)<sup>۱</sup> دریچه‌های CHO<sup>۱</sup>، سیفون‌های عمودی، کالورت و ... احداث گردیده است. در ادامه، وضعیت هر یک از سازه‌ها تشریح می‌گردد.

<sup>۱</sup> Constand head orifice intake

#### ۴-۹-۱- دریچه‌های مدول نیرپیک

این آبگیرها به تعداد ۱۸۶ عدد (طبق لیست ابینیه‌های فنی شرکت بهره‌برداری) در طول شبکه احداث شده که طبق اطلاعات مهندسین مشاور مهاب قدس تعداد ۱۲۴ دستگاه از آنها برای شبکه‌های اصلی می‌باشد (مهاب قدس، ۱۳۷۰).

نتایج بازدیدهای انجام شده از دریچه‌های آبگیر شبکه گرمسار نشان می‌دهد که تقریباً اندازه کلیه دریچه‌ها با میزان آب تحويلی همخوانی نداشته و اغلب بزرگتر از میزان آبی است که از آن عبور می‌نماید. علت آن طراحی دریچه برای سطح معین با هیدرومدول مشخص در طرح اولیه بوده است. امروزه از همان دریچه میزان حقابه‌ای که هیچگونه ارتباطی با هیدرومدول و سطح اراضی طراحی شده ندارد آبگیری می‌نماید. بنابراین یک یا چند نقاب دریچه قفل شده یا جوش داده شده و با بقیه نقاب‌ها آب را تنظیم می‌نماید در برخی از نقاط، دریچه در نظر گرفته شده کوچکتر از میزان دبی مورد نیاز می‌باشد که یا تعویض شده و یا توسط دستگاه بهره‌برداری دریچه دیگری نصب شده است. همچنین در پاره‌ای موارد در نقطه‌ای از کالل، نیاز به دریچه آبگیری بوده که در طرح اولیه وجود نداشته و بعداً دستگاه بهره‌برداری آن را احداث نموده است. در شبکه‌های فرعی اغلب دریچه‌ها بلااستفاده مانده و تقریباً از بین رفته‌اند زیرا نگهداری آنها جزء وظیفه شرکت بهره‌برداری نبوده و بهره‌برداران هم به آن توجهی نداشته و به طریق سنتی از کanal های مدرن آبگیری می‌نمایند. لازم است بازبینی کلی روی دریچه‌های آبگیر انجام شده و ظرفیت آنها با حقابه هماهنگ شود. همچنین بایستی تکلیف مسئولیت نگهداری از شبکه‌های فرعی نیز مشخص گردد.

#### ۴-۹-۲- سیفون‌های شبکه

طبق آمار و ارقام شرکت بهره‌برداری ۱۱۴ سازه سیفون در شبکه احداث گردیده است. تیپ سیفون‌ها اغلب از نوع فرانسوی و بصورت چاهک عمودی در ورودی و خروجی آن می‌باشد. وجود رسوب در جریان آب شبکه و شکل سیفون‌ها، اغلب باعث گرفتگی و رسوب‌گذاری در آنها می‌شود. که همه ساله

مشکلاتی را برای شرکت بهره برداری ایجاد می نماید. در برخی از نقاط بخصوص سیفون های زیرجاده‌ای داخل شهری و روستایی توسط خود سازمان یا شرکت بهره برداری تغییر داده شده و در نقاطی که از لحاظ ارتفاعی امکان داشته به کالورت و جریان آزاد تبدیل گردیده است . در حال حاضر سیفون‌های تقاطعی برخی از کanal ها با جاده آسفالت و یا خط راه آهن دارای مشکلاتی بوده که لازم است مورد توجه قرار گیرد.

### ۳-۹-۴- سرریزها

تعداد سرریزهای بتنی ثابت که از نوع نوک مرغابی می‌باشد ۴۹ سازه بوده که توأم با جعبه تقسیم و آبگیرهای روستاها احداث شده است . این سازه‌ها از کارآیی نسبتاً خوبی برخوردار بوده و در صورتیکه رسوبات و آشغال‌های آورده شده توسط جریان آب در زمان‌های لازم تمیز شود می‌توانند کارآیی خود را داشته باشند. از جمله مشکلات آنها تفاوت آبگیری در طرح اولیه و امروزه می باشد. زیرا در طرح اولیه سطح آب، دبی کارال‌ها، میزان آبگیری برای حالت مشخصی طراحی گردیده که امروزه هیچ یک از آنها به آن صورت وجود ندارد . بنابراین نوسانات آب جلو دریچه سبب شده که آب بیشتر یا کمتر تحويل گردد. در برخی نقاط برای بالا آوردن سطح آب ارتفاع دیواره سرریز را افزایش داده اند که باید مورد توجه قرار گیرد.

### ۴-۹-۴- دراپ‌ها

دراپ‌ها سازه‌های آبی می‌باشد که در نقاط تغییر تراز کف کanal و یا سطح آب احداث می‌گردد بنابراین وقتی نیاز به تراز سطح آب بالا نباشد می‌توان برای جلوگیری از افزایش خاکریزی، کف کanal را پائین انداخت. در طول شبکه گرمسار ۱۳۹ نقطه تغییر تراز کف کanal وجود دارد. دراپ‌ها بصورت عمودی<sup>۱</sup> و یا شیب دار<sup>۲</sup> می‌باشند. عموماً قبل و بعد از دراپ ها، تبدیل<sup>۳</sup> در نظر گرفته شده تا فرم جریان تغییر

<sup>1</sup> vertical

<sup>2</sup> inclined

<sup>3</sup> transition

نکند. در برخی نقاط به علت نداشتن تبدیل، سطح آب بالادست افزایش یافته و تغییراتی در شرایط هیدرولیکی کانال گذاشته است.

#### ۹-۵-۴- مقسم‌ها

در شبکه گرمساز ۵۰ سازه تقسیم آب وجود دارد که آبگیری از آن نقاط انجام می‌شود. در برخی از آنها سرریزهای جانبی وجود دارد. این سازه‌ها اغلب توسط آشغال‌های حمل شده با جریان آب پر شده و کارآیی خود را از دست داده‌اند. کمبود آب در ده ساله اخیر سبب شده که تقریباً بیشتر سرریزها بلااستفاده مانده است. در برخی نقاط که نیاز به سطح آب بالاتری داشته‌اند برای جلوگیری از خروج آب از سرریزها، ارتفاع دیواره آنها افزایش داده شده است.

# فصل پنجم

نتیجه گیری کلی

## ۱-۵- نتیجه‌گیری

در حالت کلی اهم نتایج حاصله از تحقیق به صورت ذیل می‌باشد:

(۱) با استناد به تحقیق صورت گرفته برای شبکه آبیاری دشت گرمسار راندمان انتقال ۸۹

درصد برآورد گردید. که با توجه به عمر ۳۰ ساله‌ی شبکه قابل قبول ارزیابی می‌شود.

(۲) در پایش صورت گرفته در اکثر دراپ‌ها خردگی بتن مشاهده گردید. در قسمت‌های تخریب

شده‌ی بتن دراپ‌ها لازم است سریعاً بازسازی صورت گیرد تا قسمت مسلح سازه (میلگردها)

در معرض زنگزدگی واقع نگردد که باعث تخریب سریع‌تر سازه خواهد شد.

(۳) رشد علف‌های هرز در برم کانال‌ها در اکثر بازه‌های کanalی شبکه رؤیت شد. که باعث تخریب

بتن بدنی کانال و با ورود به داخل کانال باعث به هم خوردن هیدرولیک جریان می‌شود که

در راندمان انتقال بی‌اثیر نیست. توصیه می‌گردد که شرکت بهره‌بردار ردیف بودجه‌ای خاصی

جهت تمیز کردن برم‌ها از رشد علف‌های هرز اتخاذ نماید

(۴) با توجه به بازدیدهای انجام شده روشن گردید که درزهای انقباض در کانال‌های انتقال به

درستی آینندی نشده‌اند که این موضوع در کاهش راندمان انتقال و افزایش تلفات نشت مؤثر

ارزیابی می‌شود و از طرفی با رشد علف‌های هرز در این موضع بر ایجاد ترک‌های در لاینینگ

کانال اثر مضاعف دارد. در این زمینه لازم است درزهای انقباض از مواد موجود که غالباً از

رسوبات پرشده تخلیه گردند و به طور اصولی با ماستیک به گونه‌ای پرشوند که از سطح

کانال بیرون نزنند و باعث افزایش ضربی زبری نگردد.

(۵) پس از گذشت ۳۰ سال از عمر شبکه، سازه‌های آبی و ابنيه‌های وابسته به دلیل عوامل فنی،

فره‌نگی و اجتماعی مستعمل شده‌اند و علیرغم بازسازی، مرمت و تعمیر سالیانه آرها، مشاهده

می‌شود که هنوز برخی از این سازه‌ها مشکل بهره‌برداری دارند و این امر موجب بروز مسائل و

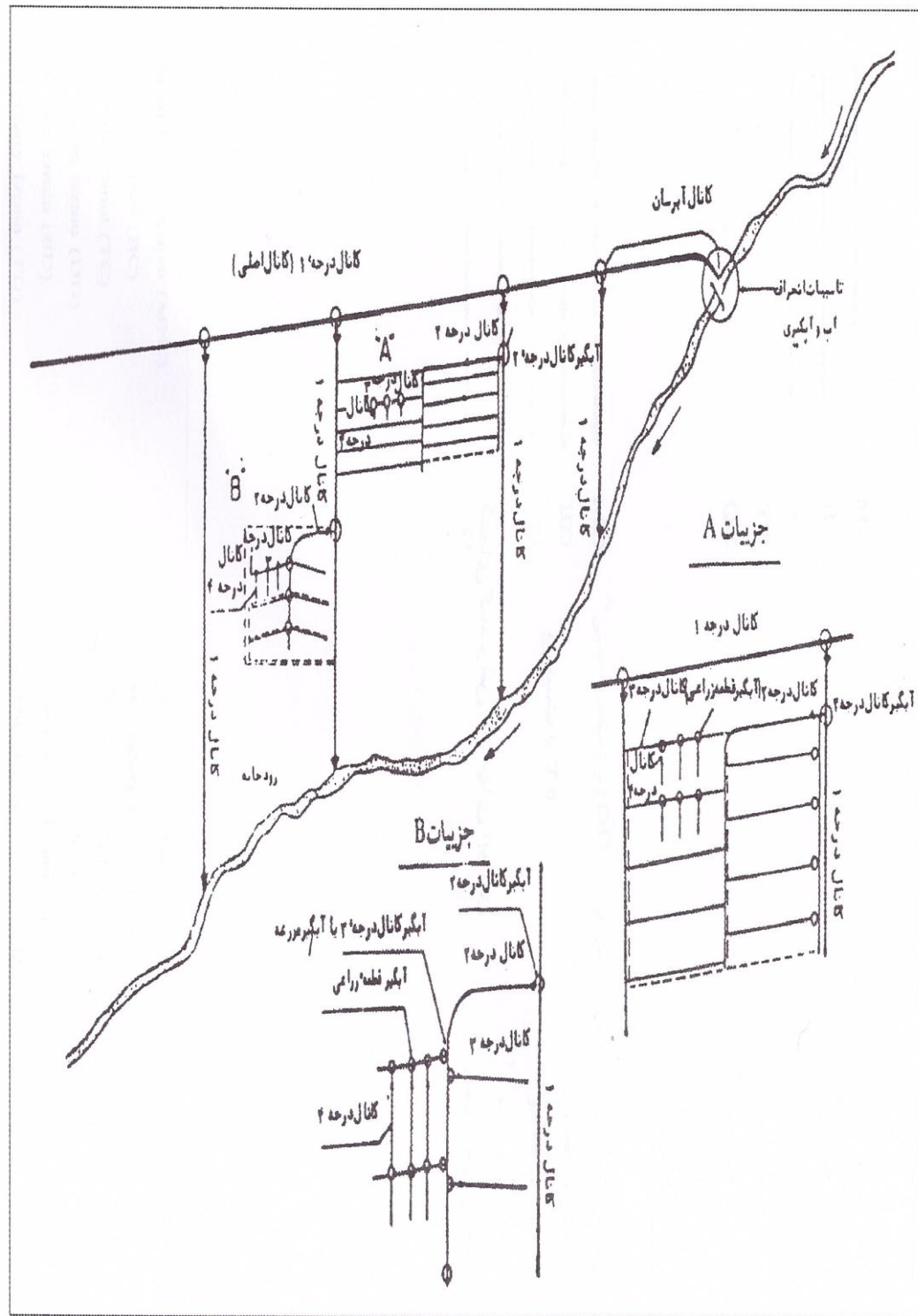
مشکلات زیادی در توزیع و انتقال آب شده است.

- ۶) در شبکه گرمسار برای اولین بار رابطه بین کدورت و غلظت رسوب معلق استخراج گردید. این فرآیند برای سد مخزنی (دز) در خوزستان صورت پذیرفته که معادله حاصله به صورت  $Y=4/8X$  ارائه گردیده بود. در این تحقیق معادله استخراج شده برای تخمین مقدار غلظت مواد معلق در آب شبکه از روی داده‌ی کدورت به صورت  $Y=0.001X^{1/13.8}$  حاصل گردید. از این رابطه همچنین در برآورد دبی بار معلق، برآورد میزان رسوب وارد شده به شبکه و مدیریت در باز و بسته کردن دریچه‌های شعاعی بند انحرافی می‌توان استفاده نمود.
- ۷) یکی از مسائل و مشکلات مهم شبکه‌ی آبیاری گرمسار، وجود مقادیر زیاد رسوب در آب رودخانه حبله‌رود است. از آنجاییکه حوضچه‌های ترسیب سد انحرافی گنجایش ترسیب همه رسوبات موجود در آب رودخانه را ندارند، بخش زیادی از رسوبات در هر لحظه وارد شبکه و اینهای وابسته شده و در هر مکانی که سرعت آب کاهش می‌یابد ترسیب شده و باعث کاهش ظرفیت آبگیرها، پرشدن سیفون‌ها و کالورتها شده است. در نتیجه، هزینه لاپرواژ و میزان تبخیر افزایش یافته و در نهایت تلفات افزایش و راندمان شبکه کاهش یافته است
- ۸) لازم است برای افزایش عملکرد شبکه، کلاس‌های آموزشی برای بهره‌برداران تشکیل گردد تا نحوه استفاده درست از شبکه به صورت یک رفتار اجتماعی نهادینه گردد تا شاهد ریخته شدن آشغال در کanal‌ها، تجاوز به حریم قانونی کanal‌ها، تخریب کanal‌ها و دریچه‌ها و سایر موارد نباشیم.
- ۹) ضروری است جهت عملکرد بهینه کanal‌های شبکه گرمسار لاپرواژ در زمان و مکان لازم به صورت فنی و با ادوات مناسب انجام پذیرد تا به بدنه کanal صدمه‌ای وارد نگردد.
- ۱۰) لازم است که برای کاهش حجم رسوبات وارد به شبکه در موقع سیلابی رودخانه حبله رود، آبگیری از بند انحرافی صورت نپذیرد.

## ۲-۵- پیشنهادات

- ۱) با توجه به حجم بالای رسوبات در شبکه ۵ پیشنهاد می شود مسئله آبخیزداری در بالادست حبله رود مورد بررسی قرار گیرد.
- ۲) به دلیل عملکرد پایین حوضچه های ترسیب، پیشنهاد می شود در ابعاد و تعداد حوضچه های ترسیب بند انحرافی، پژوهشی جدیدی صورت پذیرد.
- ۳) با توجه به پتانسیل بالای تبخیر در دشت گرمسار توصیه می شود که کانال های احدهای در این منطقه بیشتر با مقطع مستطیلی احداث گردند. بدین ترتیب سطح آزاد آب کاهش پیدا کرده و از تلفات تبخیر کاسته و بر راندمان انتقال افزوده می گردد. این موضوع در پایاب سد مخزنی دامغان در حال اجراست که پیشنهاد می گردد مورد بررسی قرار گیرد.
- ۴) کanal کمربندي (CCU) در قسمت جنوب شبکه آبیاري دشت گرمسار، به علت واقع شدن در امتداد خطوط تراز با مشکل شدید ترسیب رو برو است که همه ساله باید لا یروبی گردد. پیشنهاد می گردد برای رساندن آب به این منطقه مکان یابی جدیدی برای مسیر کanal بصورت یک تحقیق جدید در آنچه انجام گیرد.

# پیوست‌ها و مراجع



#### پیوست ۱-۱- طرح شماتیک کانال‌های شبکه‌ی آبیاری

پیوست ۳-۱- لیست سازه‌های احتمالی در شبکه‌های آبیاری گرمسار

ردیف	نام کanal	طول (m)	دبي (CMS)	دریچه	تنظیم کننده سطح آب	آبگیر	شیب شکن	مقسم	درآپ	پل	زیرگذر	روگذر	سرریز	فلوم	سیفون
۱	OA	۳۹۰۴	۸	۴	-	-	۱۴	۱	-	۱	-	۱	-	-	-
۲	AB	۲۴۵۳	۵/۷۲	۳	-	-	۸	۱	-	۲	-	۱	-	-	-
۳	BC	۴۹۷۷	۲	۴	-	-	۱۵	۱	-	۲	-	-	-	-	-
۴	OP	۳۰۰۴	۱۲	۶	-	-	۹	۱	-	-	-	۱	-	-	-
۵	R-N	۶۷۶۴	۷/۹	۴	-	-	۱۳	۳	-	۵	۱	۸	-	-	-
۶	N-C1	۲۱	۹/۹	-	-	-	-	-	-	-	-	-	-	-	-
۷	AV	۸۶۷	۰/۶	۱	-	-	-	-	۱	۱	-	-	-	-	-
۸	A-X2	۴۱۵۰	۱/۴۴	۷	-	-	-	۳	۴	۴	-	۶	-	-	-
۹	X2-X4	۳۷۳۶	۰/۸۱	-	-	-	-	۳	-	۲	-	۲	-	-	-
۱۰	B-Y4	۳۴۷	۱/۴۴	۱۰	-	-	-	۶	۶	۱	-	۹	-	-	-
۱۱	B-Z	۳۵۷۹	۲/۵۵	۹	-	-	-	۴	-	۲	-	۶	-	-	-
۱۲	C-CU2	۳۹۲۷	۱/۹۸	۶	-	-	-	۳	-	-	-	۵	-	-	-
۱۳	U2-U3	۲۲۵۵	۰/۶	۳	-	-	-	۱	-	۱	-	۲	-	-	-
۱۴	V1	۱۳۷۶	۰/۳	۱	-	-	-	-	-	۱	-	۲	-	-	-
۱۵	X2	۱۴۰۳	۰/۳	۱	-	-	-	-	-	۱	-	۱	-	-	-
۱۶	X4	۱۵۰۳	۰/۴۸	۲	-	-	-	-	-	۴	-	۱	-	-	-
۱۷	Y1	۲۴۵۹	۰/۴۲	۶	-	-	-	-	-	۷	-	۵	-	-	-
۱۸	Y4	۱۶۳۸	۰/۱۸	۳	-	-	-	-	-	۳	-	۳	-	-	-
۱۹	Z1	۸۰۰	۰/۳	۲	-	-	-	۱	۱	-	-	۱	-	-	-
۲۰	Z2	۲۲۴۴	۰/۴۵	۶	-	-	-	۱	۱	۱	-	۲	-	-	-
۲۱	Z3	۳۳۷۵	۰/۳۶	-	-	-	-	-	-	۵	-	۳	-	-	-
۲۲	Z21	۸۶۱	۰/۳	-	-	-	-	-	-	-	-	۱	-	-	-
۲۳	بن کوه (BK)	۲۴۶	۰/۲۴	-	-	-	-	-	-	۱	-	۱	-	-	-
۲۴	C1-C	۹۸۷۸	۵/۶۲	۱۹	-	-	-	۷	۱	-	-	۳	-	-	-
۲۵	C1	۲۹۷۶	۰/۹۹	۶	-	-	-	۴	۴	-	-	۹	-	-	-
۲۶	C2	۴۵۸۶	۱/۰۲	۸	-	-	-	۱	۱	-	-	۱	-	-	-

६	-	१	४	-	-	६	-	१	३	-	७	.१६३	२६१९	C <sub>3</sub> -C <sub>31</sub>	२७
५	-	-	३	-	१	६	-	१	-	-	२	.०८७	२५२५	C <sub>5</sub>	२८
३	-	-	२	-	-	५	-	-	-	-	-	.०३३	१७१४	C <sub>6</sub>	२९
२	-	-	२	-		-	-	१	-	-	१	.०२७	१७५२	C <sub>7</sub>	३०
२	-	-	१	-	-	५	-	-	१	-	१	.०१८	१२००	U-१	३१
५	-	१	१	-	-	२	-	-	-	-	५	.०८७	११८४	U <sub>2</sub> -U <sub>21</sub>	३२
१	-	-	-	-	३	-	-	-	-	-	-	.०२४	१०२८	U <sub>21</sub> -U <sub>22</sub>	३३
२	-	-	७	-	१	-	-	१	१	-	२	.०२१	२४४७	U-३	३४
२	-	२	-	-	-	-	-	-	-	-	३	.०४२	७१७	SS-S <sub>6</sub>	३५
२	-	-	७	-	-	६	-	-	२	-	-	.०१५	२२८९	S <sub>5</sub> -S <sub>13</sub>	३६
१	-	-	-	-	-	-	-	-	-	-	-	.०१५	१८६	S <sub>5</sub> -S <sub>6</sub>	३७
३	-	-	-	-	२	-	-	-	-	-	-	.०४८	१०१५	Q <sub>1</sub> -Q <sub>11</sub>	३८
३	-	-	५	-	१	५	-	-	१	-	५	१०९	१५२३	Q <sub>1</sub> -Q <sub>3</sub>	३९
१	-	-	२	-	१	३	-	१	२	-	३	.०८४	१०११	Q <sub>3</sub> -Q <sub>4</sub>	४०
२	-	-	६	-	२	९	-	-	१	-	-	.०८४	२०८८	Q <sub>3</sub> -Q <sub>51</sub>	४१
३	-	-	३	-	१	६	-	-	१	-	-	.०२१	२७९८	Q <sub>41</sub>	४२
-	-	२	-	१	१	५	१	-	-	-	२	३/३	१८९८	P-Q <sub>1</sub>	४३
३	-	-	१	-	१	-	९	१	-	-	५	२/८	३८८०	Q <sub>1</sub> -Q	४४
५	-	-	-	-	२	-	-	-	१	-	५	२	४२१३	QN	४५

پیوست ۳-۲- لیست دریچه‌های هیدرومکانیک نصب شده در کانال‌های درجه‌ی ۱ و ۲

تعداد دریچه	نوع دریچه	نام کanal و ساختمان	ج.
		AV کanal	3
	XX2-300	Turnout V1	
		BY کanal	
یک عدد		Turnout Y1	
یک عدد	XX2-420		
	XX2-90		
یک عدد	XX2-180	Turnout Y2	
یک عدد	XX2-180	Turnout Y3	
یک عدد	50×50	کشوئی	
یک عدد	XX2-300	Turnout Y4	
یک عدد	XX2-180		
		BZ کanal	
یک عدد	XX2-300	Turnout Z1	
یک عدد	50×50	کشوئی	
یک عدد	XX2-60		
یک عدد	XX2-480	Turnout Z2	
یک عدد	XX2-360		
یک عدد	XX2-180		
	XX2-420	Turnout Z3	
یک عدد	XX2-360		
		Z2 کanal	
یک عدد	XX2-300	Turnout Z2-1	
یک عدد	XX2-150		
		CU کanal	
یک عدد	XX2-180	Turnout U1	
یک عدد	50×50	کشوئی	
		P.Q.N کanal	
یک عدد	XX2-480	Turnout Q1	
یک عدد	50×50		
یک عدد	C1=1600	Turnout Q	
یک عدد	XX2-240	Turnout N1	
یک عدد	کشوئی		

تعداد دریچه	نوع دریچه	نام کanal و ساختمان	ج.
		کanal گرمسار	
یک عدد	L2-650	Point "A"	
یک عدد	C2-2700		
یک عدد	C2-1700		
یک عدد	C2-3000		
یک عدد	XX2-210		
یک عدد	XX2-30		
یک عدد	150×150		
یک عدد	50×50	کشوئی	
یک عدد			
یک عدد	C2-2600	Point "B"	
یک عدد	C2-2000		
یک عدد	C2-1500		
یک عدد	XX2-60		
یک عدد	50×50		
یک عدد		Point "C"	
یک عدد	C2-2000		
یک عدد	XX2-300		
یک عدد	XX2-30		
یک عدد	XX2-240		
		AX کanal	
یک عدد	XX2-150	Turnout x1	
یک عدد	50×50	کشوئی	
یک عدد	XX2-300	Turnout x2	
یک عدد	XX2-180		
یک عدد	XX2-150	Turnout x3	
یک عدد	50×50	کشوئی	
یک عدد	XX2-480	Turnout x4	
یک عدد	XX2-180		
یک عدد	XX2-180		
یک عدد	XX2-300	Turnout Q2	
یک عدد	XX2-360		
یک عدد	XX2-30		

پیوست ۳-۲- ادامه لیست دریچه‌های هیدرومکانیک نصب شده در کانال‌های درجه ۱ و ۲

تعداد دریچه	نوع دریچه	نام کanal و ساختمان	ردیف:
دو عدد	XX2-300	Turnout C6	
یک عدد	XX2-90		
یک عدد	XX2-30		
		C-2 کanal	
دو عدد	XX2-480	Turnout C2-1	
یک عدد	XX2-60		
		C-3 کanal	
دو عدد	XX2-300	Turnout C3-1	
یک عدد	XX2-30		
		کanal آزادان	
دو عدد	C2-1500	Point P	
یک عدد	CC2-3000		
یک عدد	C2-3000		
یک عدد	C2-1600		
یک عدد	C2-1700		
یک عدد	C2-2900		
یک عدد	1.5×1.50	کشوئی	
یک عدد		Turnout "s"	
یک عدد	XX1-420		
یک عدد	XX1-150		
یک عدد	Avio56.50		
دو عدد	XX1-150	Turnout "T"	
یک عدد	Avio 4532		
یک عدد	50×50		
		S کanal	
یک عدد	XX2-120	Turnout 5.4	
یک عدد	50×50		
دو عدد	XX2.150	Turnout 5.5	
یک عدد		Q-Q3 کanal	
یک عدد	XX2-300	Turnout Q3	
یک عدد	50×50		

تعداد دریچه	نوع دریچه	نام کanal و ساختمان	ردیف:
		ادامه کanal	
یک عدد	XX2-480	Turnout U2	
یک عدد	XX2-300		
یک عدد	XX2-240		
یک عدد	XX2-90		
یک عدد	XX2-30		
یک عدد	XX2-420	Turnout U3	
یک عدد	XX2-30	U-2 کanal	
یک عدد	XX2-300	Turnout U2-1	
یک عدد	XX2-240		
یک عدد	XX2-30		
		C1-C کanal	
یک عدد	C2-1400	Turnout C1	
دو عدد	C2-2800		
یک عدد	XX2-360		
یک عدد	XX2-30		
یک عدد	C2-1000	Turnout C2	
یک عدد	XX2-240		
یک عدد	XX2-30		
یک عدد	50×50		
یک عدد	XX2-480	Turnout C3	
دو عدد	XX2-150		
یک عدد	XX2-360	Turnout C4	
یک عدد	XX2-30		
یک عدد	50×50		
یک عدد	XX2-480	Turnout C5	
یک عدد	XX2-300		
یک عدد	XX2-90		
یک عدد	50×50		
یک عدد	XX2-30		
دو عدد	XX2-240		
یک عدد	XX2-300	Q3-Q4	
یک عدد	XX2-210	Turnout Q.4	



Global Water

800-876-1172 • globalw.com

## VII. Specifications

Range:	0.3-19.9 FT/S (0.1-6.1 M/S)
Accuracy:	0.1 FT/S (0.1 M/S)
Averaging:	True digital running average Updated once per second
Display:	LCD, Glare and UV Protected
Sensor Type:	Turbo-Prop propeller with magnetic pickup
Length and Weight:	FP111: 3' to 6', 2 Lbs. FP211: 5' to 15', 3 Lbs. FP311: 2.5' to 5.5', 2 Lbs.
Shipping Weight (US):	FP111: 10 lbs. FP211: 13 lbs FP311: 5 Lbs.
Materials:	Probe: PVC and anodized aluminum with stainless steel water bearing Computer: ABS/Polycarbonate housing with polyester overlay
Power:	Internal Lithium, Approx 5 year life Non-Replaceable
Operating Temperature:	-20° to 70° C (-4° to 158° F) Non-Freezing
Storage Temperature:	-30° to 80° C (-22° to 176° F)

پیوست ۳- مشخصات فنی سرعت سنج

*Important*

## 2. Turbidity Calibration

### Calibration Overview

The TN-100/T-100 turbidity meter was calibrated and tested prior to leaving the factory. The meter kit now includes a set of prepared SDVB primary standards in plastic bottles which are EPA-approved for meter calibration. This keeps the stock solutions for the 0.02, 20.0, 100 and 800 NTU standards ready to use and offers improved precision and shelf life. A set of 4 empty vials for the standards are included in the meter kit.

- Before using the meter for the first time, verify the meter calibration by reading back the value for the prepared primary standard at the appropriate NTU value. This check is recommended daily to check the meter prior to measuring a sample. When the standard value drifts, retest with a vial of fresh standard solution. The 0.02 NTU standard needs to read <0.1 NTU for acceptance.
- A replacement set of the 4 standards in plastic bottles is available. These 60mL bottles are identical to the bottles in the meter kit, so they can easily be carried in the case to where the measurement needs to be taken. These standards are specifically made for the TN-100/T-100 portable turbidity meters. The standards will not read to the stated NTU value in other manufacturer's turbidity meters.

### 2.1 Calibration Standards

We recommend that you use the following materials during calibration to achieve the accuracy stated in this manual:

- **CAL 1:** 800 NTU Calibration Standard
- **CAL 2:** 100 NTU Calibration Standard
- **CAL 3:** 20.0 NTU Calibration Standard
- **CAL 4:** 0.02 NTU Calibration Standard

It is well known that diluted Formazin is unstable. If you choose to use Formazin to calibrate the instrument, ensure that you are using a fresh stock suspension of Formazin to achieve the accuracy quoted for the instrument. Calibration standards offered are more stable than Formazin. For expiry date of calibration standard, please refer to the expiration date indicated on the cap label.

- Now* It is important that the calibration standards are not violently shaken or agitated because air entrapment in the fluid introduces an error factor during calibration which subsequently will lead to an inaccurate measurement. Also, do not store in freezing temperatures which causes irreversible shrinkage of the standards' particles thus resulting to inaccurate calibration and measurement.

پیوست ۳-۴ - کالیبره کردن دستگاه کدورت سنج

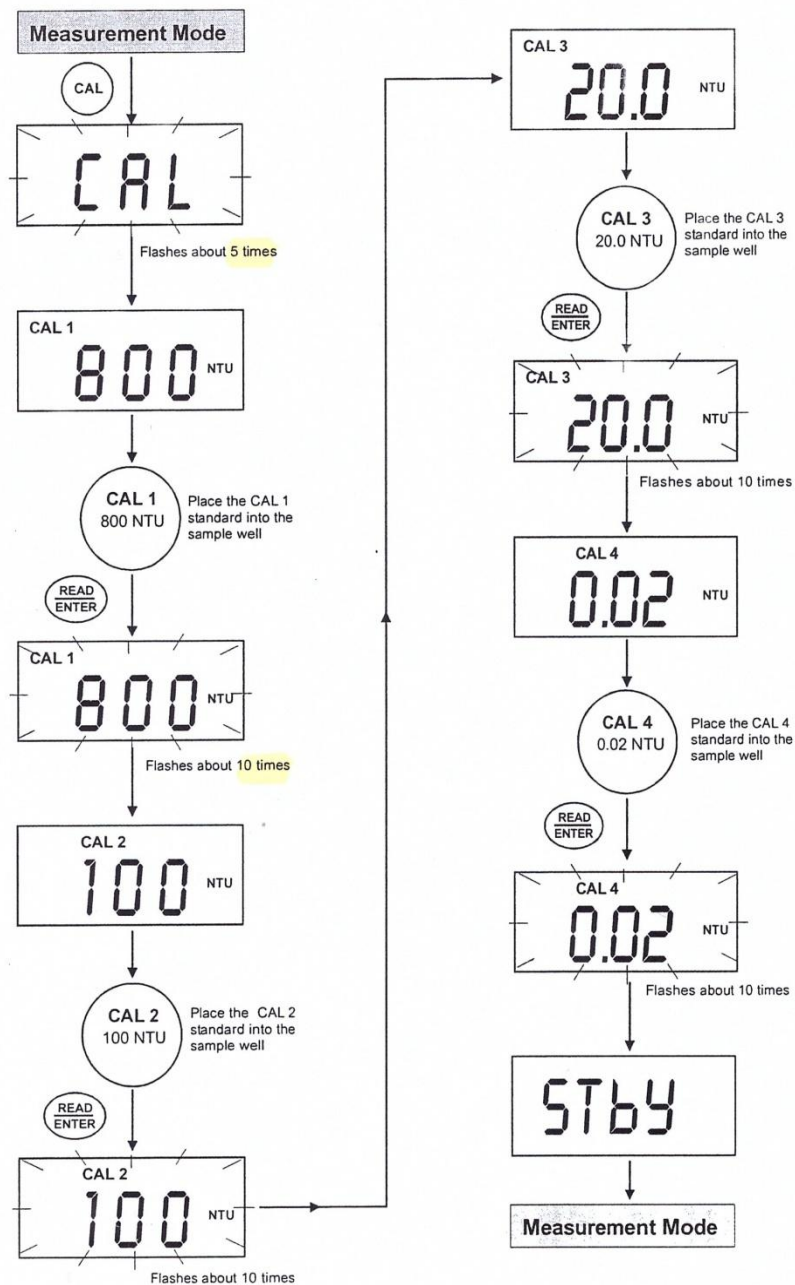


Figure 5: Calibration Sequence

پیوست ۳-۴- مراحل کالیبره کردن کدورت سنج

## 7. Specifications

Parameter	Specification
Measurement Method	ISO 7027 compliant nephelometric method (90°)
Measurement Range	0 to 1000 NTU
Automatic Range Selection	0.01 – 19.99 NTU 20.0 – 99.9 NTU 100 – 1000 NTU
Resolution	0.01 NTU (0 – 19.99 NTU) 0.1 NTU (20 – 99.9 NTU) 1 NTU (100 – 1000 NTU)
Accuracy	<0.1 NTU for 0.02 NTU Standard ±2% of reading ± 1 LSD for 0.1 to 500 NTU; ±3% of reading ± 1 LSD for 501 to 1000 NTU.
Repeatability	± 0.01 NTU or ± 1% of reading, whichever is greater with gel samples
Response Time	< 6 seconds for full step change
Calibration Standards	0.02 NTU; 20 NTU; 100 NTU; 800 NTU
Standardization	EPA-approved polymer-based primary standards
Light Source	Infrared-emitting diode (850 nm wavelength)
Light Source Life	> 1,000,000 tests
Detector	Silicon photovoltaic
Stray Light	< 0.02 NTU
Display	4-digit 14-segments customized liquid crystal display with annunciators
Sample Cells (Vials)	Borosilicate glass with screw caps, fill line and indexing mark. 51 (H) x 25 (Dia) mm (2 x 1 in)
Sample Volume Required	10 ml (0.33 oz)
Operating Temperature Range	0°C to 50°C (32°F to 122°F)
Sample Temperature Range	0°C to 50°C (32°F to 122°F)
Operating Humidity Range	0-90% RH, non-condensing at 30°C (86°F)
Power Supply	4 x "AAA" Alkaline Batteries
Battery Life	> 1200 readings
Enclosure Type & Rating:	ABS Plastic / IP67 rated
Insulation Rating	Pollution Degree 2
Weight:	Meter: 200 g (7 oz) Meter with case: 1.25 kg (2.75 lb)
Dimensions	Meter: 6.8 (W) x 15.5 (L) x 4.6 (H) cm; (2.7 x 6.1 x 1.8 in) Meter with Case: 16 (W) x 35 (L) x 12 (H) cm; (6.3 x 13.8 x 4.7 in)

پیوست ۳-۵- مشخصات فنی کدروت سنج

توضیحات	عرض سطح اب (Cm)	LEFT			CRNTER LINE			RIGTR			Y (Cm)	قطعه	دربه کانال	بازه	منطقه
		0.8y (m/s)	0.6y (m/s)	0.2y (m/s)	0.8y (m/s)	0.6y (m/s)	0.2y (m/s)	0.8y (m/s)	0.6y (m/s)	0.2y (m/s)					
A-B	۲۲۵	۱/۳	۱/۴	۱/۶	۱/۴	۱/۵	۱/۸	۱/۰	۱/۲	۱/۵	۳۵	Up.	۱	<b>G</b>	گرمسار
	۲۵۰	۰/۶	۰/۷	۰/۷	۰/۶	۰/۸	۱/۰	۰/۵	۰/۷	۰/۸	۵۴	Down.		۱۳۵۰	طول بازه m
B-C	۲۹۱	۰/۶	۰/۸	۰/۸	۰/۷	۰/۹	۱/۰	۰/۵	۰/۷	۰/۸	۵۷	Up.	۱	<b>H</b>	گرمسار
	۲۴۶	۰/۹	۱/۰	۱/۰	۱/۰	۱/۱	۱/۲	۱/۰	۱/۱	۱/۱	۴۲	Down.		۱۵۰۰	طول بازه m
B-Z1	۱۲۹	۰/۴	۰/۵	۰/۷	۰/۵	۰/۶	۰/۸	۰/۴	۰/۶	۰/۶	۲۳	Up.	۲	<b>I</b>	گرمسار
	۱۳۵	۰/۳	۰/۴	۰/۵	۰/۴	۰/۵	۰/۷	۰/۳	۰/۵	۰/۵	۲۵	Down.		۷۰۰	طول بازه m
P-S5	۲۸۵	۱/۰	۰/۹	۱/۲	۱/۰	۱/۱	۱/۴	۰/۹	۱/۰	۱/۲	۴۵	Up.	۱	<b>K</b>	آزادان
	۳۱۵	۰/۸	۰/۷	۰/۸	۰/۶	۰/۷	۰/۸	۰/۶	۰/۸	۰/۸	۵۵	Down.		۹۵۰	طول بازه m
	۲۷۰	۱/۰	۱/۱	۱/۲	۱/۱	۱/۲	۱/۴	۱/۰	۱/۱	۱/۳	۴۰	Up.	۱	<b>L</b>	آزادان
	۲۴۶	۱/۰	۱/۱	۱/۳	۱/۳	۱/۴	۱/۵	۱/۱	۱/۳	۱/۴	۳۲	Down.		۲۵۰۰	طول بازه m
	۱۵۰	۰/۳	۰/۴	۰/۵	۰/۴	۰/۵	۰/۷	۰/۳	۰/۵	۰/۵	۳۰	Up.	۳	<b>M</b>	آزادان
	۱۲۰	۱/۴	۰/۵	۰/۶	۰/۵	۰/۷	۰/۹	۰/۵	۰/۶	۰/۶	۲۰	Down.		۵۰۰	طول بازه m

پیوست ۳-۶- داده‌های سرعت در مقاطع اندازه‌گیری

توضیحات	عرض سطح اب (Cm)	LEFT			CRNTER LINE			RIGTR			مقطع	درجه کانال	با زه	منطقه	
		0.8y (m/s)	0.6y (m/s)	0.2y (m/s)	0.8y (m/s)	0.6y (m/s)	0.2y (m/s)	0.8y (m/s)	0.6y (m/s)	0.2y (m/s)					
O-P	۲۹۴	۱/۵	۱/۶	۱/۷	۱/۵	۱/۸	۲/۰	۱/۴	۱/۶	۱/۷	۴۸	Up.	۱	N	آزادان
	۳۱۵	۰/۹	۱/۱	۱/۲	۱/۱	۱/۳	۱/۵	۱/۰	۱/۰	۱/۳	۵۵	Down.		۱۵۵۰	طول بازه m
P-Q	۳۲۴	۱/۰	۱/۰	۱/۲	۱/۱	۱/۲	۱/۴	۰/۹	۱/۱	۱/۱	۵۸	Up.	۱	p	آزادان
	۳۰۰	۱/۰	۱/۱	۱/۲	۱/۴	۱/۴	۱/۶	۱/۱	۱/۲	۱/۳	۵۰	Down.		۱۰۵۰	طول بازه m
	۲۲۵	۰/۶	۰/۷	۰/۸	۰/۷	۰/۹	۱/۰	۰/۷	۰/۸	۰/۹	۴۵	Up.	۳	Q	آزادان
	۲۰۴	۰/۸	۰/۹	۰/۹	۰/۹	۱/۰	۱/۱	۰/۸	۰/۹	۱/۰	۳۸	Down.		۱۴۰۰	طول بازه m
	۲۰۱	۰/۹	۱/۰	۱/۱	۱/۰	۱/۱	۱/۳	۱/۰	۱/۱	۱/۲	۳۷	Up.	۳	R	آزادان
	۲۱۰	۰/۸	۰/۹	۰/۹	۰/۷	۰/۸	۱/۱	۰/۷	۰/۹	۱/۰	۴۰	Down.		۹۰۰	طول بازه m
	۲۰۷	۰/۵	۰/۶	۰/۷	۰/۷	۰/۸	۱/۱	۰/۵	۰/۷	۰/۸	۵۹	Up.	۳	S	آزادان
	۲۲۲	۰/۴	۰/۶	۰/۶	۰/۵	۰/۶	۰/۹	۰/۳	۰/۵	۰/۶	۴۴	Down.		۱۵۰۰	طول بازه m
	۱۸۰	۰/۸	۰/۹	۱/۰	۱/۰	۱/۱	۱/۲	۰/۹	۱/۰	۱/۰	۳۰	Up.	۳	T	آزادان
	۲۰۴	۰/۵	۰/۷	۰/۸	۰/۶	۰/۸	۱/۰	۰/۵	۰/۶	۰/۷	۳۸	Down.		۴۰۰	طول بازه m

پیوست ۳-۷-داده های سرعت در مقاطع اندازه گیری

توضیحات	عرض سطح اب (Cm)	LEFT			CRNTER LINE			RIGTR			Y (Cm)	قطعه	درجه کانال	بازه	منطقه
		<b>0.8y</b> (m/s)	<b>0.6y</b> (m/s)	<b>0.2y</b> (m/s)	<b>0.8y</b> (m/s)	<b>0.6y</b> (m/s)	<b>0.2y</b> (m/s)	<b>0.8y</b> (m/s)	<b>0.6y</b> (m/s)	<b>0.2y</b> (m/s)					
S5-NQ	۲۵۲	۱/۰	۱/۲	۱/۳	۱/۱	۱/۲	۱/۴	۰/۹	۱/۰	۱/۱	۳۴	Up.	۱	<b>U</b>	هشت آباد
	۲۶۱	۰/۸	۰/۷	۱/۰	۰/۹	۱/۰	۱/۲	۰/۸	۰/۸	۱/۰	۳۷	Down.		۱۴۰۰	طول بازه m
C4-C5-C6	۲۷۰	۰/۸	۰/۹	۱/۱	۱/۰	۱/۱	۱/۳	۰/۸	۰/۹	۱/۰	۴۰	Up.	۱	<b>V</b>	هشت آباد
	۲۸۵	۰/۷	۰/۸	۰/۸	۰/۸	۰/۸	۰/۹	۰/۷	۰/۸	۰/۸	۴۵	Down.		۶۵۰	طول بازه m
S5-S6	۲۲۵	۰/۶	۰/۸	۰/۹	۰/۹	۱/۰	۱/۱	۰/۷	۰/۸	۱/۰	۳۵	Up.	۲	<b>W</b>	داور آباد
	۲۴۹	۰/۵	۰/۶	۰/۶	۰/۵	۰/۶	۰/۷	۰/۴	۰/۵	۰/۶	۴۳	Down.		۱۰۰۰	طول بازه m
C4-C5-C6	۲۰۴	۰/۴	۰/۵	۰/۵	۰/۵	۰/۶	۰/۷	۰/۴	۰/۵	۰/۶	۳۸	Up.	۲	<b>Z</b>	محمد آباد
	۱۸۰	۰/۵	۰/۶	۰/۷	۰/۶	۰/۷	۰/۸	۰/۵	۰/۶	۰/۶	۳۰	Down.		۲۱۰۰	طول بازه m
												Up.			
												Down.			

پیوست ۳-۸- داده‌های سرعت در مقاطع اندازه‌گیری

Vm (m/s)	At CMS	Qt CMS	Q3 CMS	Q2 CMS	Q1 CMS	A3 $m^2$	A2 $m^2$	A1 $m^2$	V3 (m/s)	V2 (m/s)	V1 (m/s)	B m	b m	d m		بلندی	ردیف
۱/۰۲	۱/۳۴	۱/۳۷	۰/۳۳	۰/۶۶	۰/۳۹	۰/۳۹	۰/۵۷	۰/۳۹	۱/۰	۱/۳	۱/۲	۳/۱۵	۱/۵۰	۰/۵۷	بالا دست	A	۲
۱/۰۱		۱/۳۶	۰/۳۰	۰/۶۰	۰/۴۰				۰/۹	۱/۱	۱/۰					۵۴۰	طول بازه
									۰/۷	۱/۰	۰/۸					۱	درجہ کانال
									۰/۸۵	۱/۱۵	۱/۰۰				GO-A		
Vm (m/s)	At CMS	Qt CMS	Q3 CMS	Q2 CMS	Q1 CMS	A3 $m^2$	A2 $m^2$	A1 $m^2$	V3 (m/s)	V2 (m/s)	V1 (m/s)	B m	b m	d m		بازه	ردیف
۱/۱۹	۱/۱۳	۰/۳۴	۰/۳۳	۰/۶۵	۰/۳۶	۰/۳۱	۰/۵۰	۰/۳۱	۱/۲	۱/۵	۱/۳	۳/۰۰	۱/۵۰	۰/۵۰	پایین دست	A	۲
۱/۱۴		۱/۲۹	۰/۳۰	۰/۶۰	۰/۳۰				۱/۱	۱/۲	۱/۱					۵۴۰	طول بازه
									۰/۹	۱/۱	۱/۰					۱	درجہ کانال
									۱/۰۵	۱/۳۰	۱/۱۵				GO-A		

S.W.A.of.R		$\frac{\Delta Q}{100}$	$\Delta Q$	eff.%	Fr	n	S	D	R	P	Z		بازه	ردیف
$m^2$			(Lit/sec)					m	m	m		بالا دست		
۱۶۶۰/۵	۰/۰۶	۶/۰۰	۳۲/۴۲	۹۷/۶۳	۰/۴۹۹	۰/۰۲۲۹	۰/۰۰۲	۰/۴۳	۰/۳۸	۳/۵۶	۱/۵۰		A	۲
				۹۴/۶۲									۵۴۰	طول بازه
					Fr	n	S	D	R	P	Z	پایین دست	بازه	ردیف
eff.%					۰/۶۲۰	۰/۰۱۸۳	۰/۰۰۲	۰/۳۸	۰/۳۴	۳/۳۰	۱/۵۰		A	۲
۹۶/۱۳													۵۴۰	طول بازه

پیوست ۳-۹- نتایج محاسبات هیدرولیکی روی مقاطع جریان

Vm (m/s)	At CMS	Qt CMS	Q3 CMS	Q2 CMS	Q1 CMS	A3 $m^2$	A2 $m^2$	A1 $m^2$	V3 (m/s)	V2 (m/s)	V1 (m/s)	B m	b m	d m		بلندی	ردیف
۱/۴۷	۰/۶۰	۰/۸۹	۰/۲۳	۰/۴۵	۰/۲۰	۰/۱۶	۰/۲۸	۰/۱۶	۱/۶	۱/۸	۱/۵	۲/۲۵	۱/۲	۰/۳۵	بالا دست	G	۳
۱/۳۹		۰/۸۴	۰/۲	۰/۴	۰/۲				۱/۴	۱/۵	۱/۲					۱۳۵۰	طول بازه
									۱/۳	۱/۴	۱					۱	درجہ کانال
									۱/۴۵	۱/۶	۱/۲۵				A-B		
Vm (m/s)	At CMS	Qt CMS	Q3 CMS	Q2 CMS	Q1 CMS	A3 $m^2$	A2 $m^2$	A1 $m^2$	V3 (m/s)	V2 (m/s)	V1 (m/s)	B m	b m	d m		بازه	ردیف
۰/۷۱	۱/۰۹	۰/۷۷	۰/۲۱	۰/۳۵	۰/۲۱	۰/۳۳	۰/۴۳	۰/۳۳	۰/۷	۱	۰/۸	۲/۵	۱/۲	۰/۵۴	پایین دست	G	۳
۰/۷۴		۰/۸۰	۰/۲	۰/۳	۰/۲				۰/۷	۰/۸	۰/۷					۱۳۵۰	طول بازه
									۰/۶	۰/۶	۰/۵					۱	درجہ کانال
									۰/۶۵	۰/۸	۰/۶۵				A-B		

S.W.A.of.R		$\frac{\Delta Q}{100}$	ΔQ	eff.%	Fr	n	S	D	R	P	Z		بازه	ردیف
$m^2$			(Lit/sec)					m	m	m				
۳۲۰۶/۲۵	۰/۰۹	۸/۵۰	۱۱۴/۷۵	۸۷/۰۳	۰/۹۰۴	۰/۰۱۳۴	۰/۰۰۲۵	۰/۲۷	۰/۲۵	۲/۴۶	۱/۵۰	بالا دست	G	۳
				۹۵/۴۹									۱۳۵۰	طول بازه
					Fr	n	S	D	R	P	Z	پایین دست	بازه	ردیف
								m	m	m				
eff.%					۰/۳۴۴	۰/۰۳۴۶	۰/۰۰۲۵	۰/۳۴	۰/۳۴	۳/۱۵	۱/۵۰		G	۳
۹۱/۲۶													۱۳۵۰	طول بازه

پیوست ۳-۱۰- نتایج محاسبات هیدرولیکی روی مقاطع جریان

Vm (m/s)	At CMS	Qt CMS	Q3 CMS	Q2 CMS	Q1 CMS	A3 $m^2$	A2 $m^2$	A1 $m^2$	V3 (m/s)	V2 (m/s)	V1 (m/s)	B m	b m	d m		بلندی	ردیف
•/۱۳	•/۹۸	۱/۱۱	•/۲۹	•/۵۴	•/۲۸	•/۲۶	•/۴۵	•/۲۶	۱/۲	۱/۴	۱/۲	۲/۸۵	۱/۵	•/۴۵	بالا دست	K	۴
۱/۰۲		۱/۰۰	•/۲	•/۵	•/۳				•/۹	۱/۱	۱					۹۵۰	طول بازه
									۱	۱	•/۹					۱	درجہ کانال
									۱/۱	۱/۲	۱/۰۵					P-S5	
Vm (m/s)	At CMS	Qt CMS	Q3 CMS	Q2 CMS	Q1 CMS	A3 $m^2$	A2 $m^2$	A1 $m^2$	V3 (m/s)	V2 (m/s)	V1 (m/s)	B m	b m	d M		بازه	ردیف
•/۷۳	۱/۲۸	•/۹۳	•/۲۹	•/۳۹	•/۲۶	•/۳۶	•/۵۵	•/۳۶	•/۸	•/۸	•/۸	۳/۱۵	۱/۵	•/۵۵	پایین دست	K	۴
		•/۹۳	•/۳	•/۴	•/۳				•/۷	•/۷	•/۸					۹۵۰	طول بازه
									•/۸	•/۶	•/۶					۱	درجہ کانال
									•/۸	•/۷	•/۷					P-S5	

S.W.A.of.R		$\frac{\Delta Q}{100}$	ΔQ	eff.%	Fr	n	S	D	R	P	Z		بازه	ردیف
$m^2$			(Lit/sec)					m	m	m				
۲۸۵۰	•/۱۹	۱۸/۶۲	۱۷۶/۸۴	۸۴/۰۵	•/۶۱۷	•/۰۱۵۲	•/۰۰۱۴	•/۳۴	•/۳۱	۳/۱۲	۱/۵۰	بالا دست	K	۴
			۹۳/۴۱										۹۵۰	طول بازه
					Fr	n	S	D	R	P	Z	پایین دست	بازه	ردیف
eff.%					•/۳۶۵	•/۰۲۶۳	•/۰۰۱۴	•/۴۱	•/۳۷	۳/۴۸	۱/۵۰		K	۴
۸۸/۷۳													۹۵۰	طول بازه

پیوست ۱۱-۳ - نتایج محاسبات هیدرولیکی روی مقاطع جریان

Vm (m/s)	At CMS	Qt CMS	Q3 CMS	Q2 CMS	Q1 CMS	A3 $m^2$	A2 $m^2$	A1 $m^2$	V3 (m/s)	V2 (m/s)	V1 (m/s)	B m	b m	d m		بلندی	ردیف
۱/۱۸	۰/۸۴	۱/۰۰	۰/۲۴	۰/۵۰	۰/۲۵	۰/۲۲	۰/۴۰	۰/۲۲	۱/۲	۱/۴	۱/۳	۲/۷	۱/۵	۰/۴		L	۵
		۰/۹۶	۰/۲	۰/۵	۰/۲				۱/۱	۱/۲	۱/۱				بالا دست	۲۵۰۰	طول بازه
									۱	۱/۱	۱					۱	درجہ کانال
									۱/۱	۱/۲۵	۱/۱۵				Q1-Q2		
Vm (m/s)	At CMS	Qt CMS	Q3 CMS	Q2 CMS	Q1 CMS	A3 $m^2$	A2 $m^2$	A1 $m^2$	V3 (m/s)	V2 (m/s)	V1 (m/s)	B m	b m	d m		بازه	ردیف
۱/۳۰	۰/۶۳	۰/۸۲	۰/۱۸	۰/۴۵	۰/۲۰	۰/۱۶	۰/۳۲	۰/۱۶	۱/۳	۱/۵	۱/۴	۲/۴۶	۱/۵	۰/۳۲		L	۵
		۰/۸۲	۰/۲	۰/۴	۰/۲				۱/۱	۱/۴	۱/۳				پایین دست	۲۵۰۰	طول بازه
									۱	۱/۳	۱/۱					۱	درجہ کانال
									۱/۱۵	۱/۴	۱/۲۵				Q1-Q2		

S.W.A.of.R		$\frac{\Delta Q}{100}$	$\Delta Q$	eff.%	Fr	n	S	D	R	P	Z		بازه	ردیف	
$m^2$			(Lit/sec)					m	m	m					
۶۴۵۰	۰/۰۷	۶/۸۳	۱۷۰/۶۸	۸۲/۸۵	۰/۶۷۸	۰/۰۱۶۴	۰/۰۰۲	۰/۳۱	۰/۲۹	۲/۹۴	۱/۵۰		L	۵	
				۸۵/۵۱									پایین دست	۲۵۰۰	طول بازه
eff.%					Fr	n	S	D	R	P	Z		بازه	ردیف	
۸۴/۱۸					۰/۸۱۸	۰/۰۱۳۲	۰/۰۰۲	۰/۲۶	۰/۲۴	۲/۶۵	۱/۵۰		L	۵	
													پایین دست	۲۵۰۰	طول بازه

پیوست ۱۲-۳ - نتایج محاسبات هیدرولیکی روی مقاطع جریان

Vm (m/s)	At CMS	Qt CMS	Q3 CMS	Q2 CMS	Q1 CMS	A3 $m^2$	A2 $m^2$	A1 $m^2$	V3 (m/s)	V2 (m/s)	V1 (m/s)	B m	b m	d m		طنه	ردیف
۱/۶۵	۱/۰۷	۱/۷۶	۰/۴۷	۰/۸۴	۰/۴۵	۰/۲۹	۰/۴۸	۰/۲۹	۱/۷	۲	۱/۷	۲/۹۴	۱/۵	۰/۴۸		N	۶
		۱/۸۰	۰/۵	۰/۹	۰/۵				۱/۶	۱/۸	۱/۶				بالا دست	۱۵۵۰	طول بازه
									۱/۵	۱/۵	۱/۴					۱	درجہ کانال
									۱/۶	۱/۷۵	۱/۵۵				O-P		
Vm (m/s)	At CMS	Qt CMS	Q3 CMS	Q2 CMS	Q1 CMS	A3 $m^2$	A2 $m^2$	A1 $m^2$	V3 (m/s)	V2 (m/s)	V1 (m/s)	B m	b m	d m		بازه	ردیف
۱/۱۹	۱/۲۸	۱/۵۲	۰/۳۸	۰/۷۲	۰/۴۲	۰/۳۶	۰/۵۵	۰/۳۶	۱/۲	۱/۵	۱/۳	۳/۱۵	۱/۵	۰/۵۵		N	۶
		۱/۴۸	۰/۴	۰/۷	۰/۴				۱/۱	۱/۳	۱				پایین دست	۱۵۵۰	طول بازه
									۰/۹	۱/۱	۱					۱	درجہ کانال
									۱/۰۵	۱/۳	۱/۱۵				O-P		

S.W.A.of.R		$\frac{\Delta Q}{100}$	ΔQ	eff.%	Fr	N	S	D	R	P	Z		بازه	ردیف
$m^2$			(Lit/sec)					m	m	m				
۴۷۱۹/۷۵	۰/۱۶	۱۵/۸۵	۲۴۵/۷۰	۸۶/۰۶	۰/۸۷۷	۰/۰۱۰۴	۰/۰۰۱۳	۰/۳۶	۰/۳۳	۳/۲۳	۱/۵۰		N	۶
				۸۲/۱۹								بالا دست	۱۵۵۰	طول بازه
					Fr	n	S	D	R	P	Z		بازه	ردیف
eff.%					۰/۵۹۴	۰/۰۱۵۳	۰/۰۰۱۳	۰/۴۱	۰/۳۷	۳/۴۸	۱/۵۰		N	۶
۸۴/۱۲												پایین دست	۱۵۵۰	طول بازه

پیوست ۳-۱۳ - نتایج محاسبات هیدرولیکی روی مقاطع جریان

Vm (m/s)	At CMS	Qt CMS	Q3 CMS	Q2 CMS	Q1 CMS	A3 $m^2$	A2 $m^2$	A1 $m^2$	V3 (m/s)	V2 (m/s)	V1 (m/s)	B m	b m	d m		بلندیه	ردیف
۱/۱۳	۱/۳۷	۱/۵۶	۰/۴۴	۰/۷۲	۰/۴۰	۰/۴۰	۰/۵۸	۰/۴۰	۱/۲	۱/۴	۱/۱	۳/۲۴	۱/۵	۰/۵۸	بالا دست	P	۷
		۱/۵۳	۰/۴	۰/۷	۰/۴				۱	۱/۲	۱/۱					۱۰۵۰	طول بازه
									۱	۱/۱	۰/۹					۱	درجہ کانال
									۱/۸	۱/۷۵	۱/۵۵					P-Q	
Vm (m/s)	At CMS	Qt CMS	Q3 CMS	Q2 CMS	Q1 CMS	A3 $m^2$	A2 $m^2$	A1 $m^2$	V3 (m/s)	V2 (m/s)	V1 (m/s)	B m	b m	d m		بازه	ردیف
۱/۳۱	۱/۱۳	۱/۴۷	۰/۳۴	۰/۷۵	۰/۳۸	۰/۳۱	۰/۵۰	۰/۳۱	۱/۲	۱/۶	۱/۳	۳	۱/۵	۰/۵	پایین دست	P	۷
		۱/۴۲	۰/۳	۰/۷	۰/۴				۱/۱	۱/۴	۱/۲					۱۰۵۰	طول بازه
									۱	۱/۴	۱/۱					۱	درجہ کانال
									۱/۱	۱/۵	۱/۲					P-Q	

S.W.A.of.R		$\frac{\Delta Q}{100}$	ΔQ	eff.%	Fr	N	S	D	R	P	Z		بازه	ردیف
$m^2$			(Lit/sec)					m	m	m		بالا دست		
۳۲۷۶	۰/۰۹	۸/۶۳	۹۰/۵۸	۹۴/۱۹	۰/۵۵۶	۰/۰۱۶۴	۰/۰۰۱۳	۰/۴۲	۰/۳۸	۳/۵۹	۱/۵۰		P	۷
				۹۲/۷۱									۱۰۵۰	طول بازه
					Fr	n	S	D	R	P	Z		بازه	ردیف
eff.%								m	m	m		پایین دست	P	۷
۹۳/۴۵					۰/۶۸۱	۰/۰۱۴۵	۰/۰۰۱۵	۰/۳۸	۰/۳۴	۳/۳۰	۱/۵۰		۱۰۵۰	طول بازه

پیوست ۳-۱۴ - نتایج محاسبات هیدرولیکی روی مقاطع جریان

Vm (m/s)	At CMS	Qt CMS	Q3 CMS	Q2 CMS	Q1 CMS	A3 $m^2$	A2 $m^2$	A1 $m^2$	V3 (m/s)	V2 (m/s)	V1 (m/s)	B m	b m	d m		طبقه	ردیف
۱/۱۷	۰/۶۸	۰/۸۰	۰/۲۰	۰/۴۳	۰/۱۸	۰/۱۷	۰/۳۴	۰/۱۷	۱/۳	۱/۴	۱/۲	۲/۵۲	۱/۵	۰/۳۴	بالا دست	U	۸
		۰/۷۹	۰/۲	۰/۴	۰/۲				۱/۲	۱/۲	۱					۱۴۰۰	طول بازه
									۱	۱/۱	۰/۹					۱	درجہ کانال
									۱/۱۵	۱/۲۵	۱/۰۵					S5-NQ	
Vm (m/s)	At CMS	Qt CMS	Q3 CMS	Q2 CMS	Q1 CMS	A3 $m^2$	A2 $m^2$	A1 $m^2$	V3 (m/s)	V2 (m/s)	V1 (m/s)	B m	b m	d m		باشه	ردیف
۰/۹۶	۰/۷۶	۰/۷۳	۰/۱۷	۰/۳۹	۰/۱۸	۰/۲۰	۰/۳۷	۰/۲۰	۰/۹	۱/۲	۱	۲/۶۱	۱/۵	۰/۳۷	پایین دست	U	۸
		۰/۶۶	۰/۱	۰/۴	۰/۲				۰/۷	۱	۰/۸					۱۴۰۰	طول بازه
									۰/۸	۰/۹	۰/۸					۱	درجہ کانال
									۰/۸۵	۱/۰۵	۰/۹					S5-NQ	

S.W.A.of.R		$\frac{\Delta Q}{100}$	$\Delta Q$	eff.%	Fr	N	S	D	R	P	Z		باشه	ردیف
$m^2$			(Lit/sec)					m	m	m		بالا دست		
۳۵۹۱	۰/۰۵	۵/۱۹	۷۲/۶۸	۹۰/۹۵	۰/۷۲۰	۰/۰۲۰۷	۰/۰۰۱	۰/۲۷	۰/۲۵	۲/۷۳	۱/۵۰		U	۸
				۸۴/۳۵									۱۴۰۰	طول بازه
					Fr	n	S	D	R	P	Z		باشه	ردیف
eff.%								m	m	m		پایین دست	U	۸
۸۷/۶۵					۰/۵۶۸	۰/۰۱۳۷	۰/۰۰۱	۰/۲۹	۰/۲۷	۲/۸۳	۱/۵۰		۱۴۰۰	طول بازه

پیوست ۳-۱۵- نتایج محاسبات هیدرولیکی روی مقاطع جریان

Vm (m/s)	At CMS	Qt CMS	Q3 CMS	Q2 CMS	Q1 CMS	A3 $m^2$	A2 $m^2$	A1 $m^2$	V3 (m/s)	V2 (m/s)	V1 (m/s)	B m	b m	d m		بلندیه	ردیف
۱/۰۳	۰/۸۴	۰/۸۷	۰/۲۱	۰/۴۶	۰/۲۰	۰/۲۲	۰/۴۰	۰/۲۲	۱/۱	۱/۳	۱	۲/۷	۱/۵	۰/۴	بالا دست	۷	۹
		۰/۸۴	۰/۲	۰/۴	۰/۲				۰/۹	۱/۱	۰/۹					۶۵۰	طول بازه
									۰/۸	۱	۰/۸					۱	درجہ کانال
									۰/۹۵	۱/۱۵	۰/۹					C4-C5-C6	
Vm (m/s)	At CMS	Qt CMS	Q3 CMS	Q2 CMS	Q1 CMS	A3 $m^2$	A2 $m^2$	A1 $m^2$	V3 (m/s)	V2 (m/s)	V1 (m/s)	B m	b m	d m		بازه	ردیف
۰/۸۰	۰/۹۸	۰/۷۸	۰/۲۰	۰/۳۸	۰/۲۰	۰/۲۶	۰/۴۵	۰/۲۶	۰/۸	۰/۹	۰/۸	۲/۸۵	۱/۵	۰/۴۵	پایین دست	۷	۹
		۰/۷۸	۰/۲	۰/۴	۰/۲				۰/۸	۰/۸	۰/۸					۶۵۰	طول بازه
									۰/۷	۰/۸	۰/۷					۱	درجہ کانال
									۰/۷۵	۰/۸۵	۰/۷۵					C4-C5-C6	

S.W.A.of.R		$\frac{\Delta Q}{100}$	ΔQ	eff.%	Fr	N	S	D	R	P	Z		بازه	ردیف
$m^2$			(Lit/sec)					m	m	m				
۱۸۰۳/۷۵	۰/۱۴	۱۳/۵۳	۸۷/۹۴	۸۹/۸۶	۰/۵۹۱	۰/۰ ۱۳۳	۰/۰۰ ۱	۰/۳۱	۰/۲۹	۲/۹۴	۱/۵۰	بالا دست	۷	۹
				۹۳/۶۶									۶۵۰	طول بازه
					Fr	n	S	D	R	P	Z		بازه	ردیف
								m	m	m				
eff.%					۰/۴۳۴	۰/۰ ۱۸۳	۰/۰۰ ۱	۰/۳۴	۰/۳۱	۳/۱۲	۱/۵۰	پایین دست	۷	۹
۹۱/۷۶													۶۵۰	طول بازه

پیوست ۳-۱۶ - نتایج محاسبات هیدرولیکی روی مقاطع جریان

Vm (m/s)	At CMS	Qt CMS	Q3 CMS	Q2 CMS	Q1 CMS	A3 $m^2$	A2 $m^2$	A1 $m^2$	V3 (m/s)	V2 (m/s)	V1 (m/s)	B m	b m	d m		لطفه	ردیف
•/٥٣	•/٥٦	•/٢٩	•/٠٧	•/١٤	•/٠٨	•/١٧	•/٢٣	•/١٧	•/٨	•/٧	•/٦	٢/٠٤	٠/٩	٠/٣٨	بالا دست	Z	١٠
		•/٣٠	•/١	•/١	•/١				•/٨	•/٦	•/٥					٢١٠٠	طول بازه
									•/٤	•/٥	•/٤					٢	درجه کانال
									•/٤٥	•/٦	•/٥					C4-C5-C6	
Vm (m/s)	At CMS	Qt CMS	Q3 CMS	Q2 CMS	Q1 CMS	A3 $m^2$	A2 $m^2$	A1 $m^2$	V3 (m/s)	V2 (m/s)	V1 (m/s)	B m	b m	d m		بازه	ردیف
•/٦٣	•/٤١	•/٢٦	•/٠٧	•/١٣	•/٠٦	•/١١	•/١٨	•/١١	•/٧	•/٨	•/٦	١/٨	٠/٩	٠/٣	پایین دست	Z	١٠
		•/٢٦	•/١	•/١	•/١				•/٦	•/٧	•/٦					٢١٠٠	طول بازه
									•/٥	•/٦	•/٥					٢	درجه کانال
									•/٦	•/٧	•/٥٥					C4-C5-C6	

S.W.A.of.R		$\frac{\Delta Q}{100}$	ΔQ	eff.%	Fr	N	S	D	R	P	Z		بازه	ردیف
$m^2$			(Lit/sec)					m	m	m		بالا دست		
٤٠٣٢	•/٠٢	١/٨٣	٣٨/٤٦	٨٦/٩١	•/٣٢١	•/٠٢٣٦	•/٠٠١	•/٢٧	•/٢٥	٢/٢٧	١/٥٠		Z	١٠
				٨٦/٤٠									٢١٠٠	طول بازه
					Fr	n	S	D	R	P	Z	پایین دست	بازه	ردیف
eff.%								m	m	m			Z	١٠
٨٦/٦٥					•/٤٢٤	•/٠١٧٤	•/٠٠١	•/٢٣	•/٢٠	١/٩٨	١/٥٠		٢١٠٠	طول بازه

پیوست ١٧-٣ - نتایج محاسبات هیدرولیکی روی مقاطع جریان

Vm (m/s)	At CMS	Qt CMS	Q3 CMS	Q2 CMS	Q1 CMS	A3 $m^2$	A2 $m^2$	A1 $m^2$	V3 (m/s)	V2 (m/s)	V1 (m/s)	B m	b m	d m		بلندی	ردیف
•/۸۹	•/۶۰	•/۵۴	•/۱۲	•/۲۸	•/۱۴	•/۱۶	•/۲۸	•/۱۶	•/۹	۱/۱	۱	۲/۲۵	۱/۲	۰/۳۵		W	۱۱
		•/۵۴	•/۱	•/۳	•/۱				•/۸	۱	•/۸				بالا دست	۱۴۰۰	طول بازه
									•/۶	•/۹	•/۷					۲	درجه کانال
									•/۷۵	۱	•/۸۵				S5-S6		
Vm (m/s)	At CMS	Qt CMS	Q3 CMS	Q2 CMS	Q1 CMS	A3 $m^2$	A2 $m^2$	A1 $m^2$	V3 (m/s)	V2 (m/s)	V1 (m/s)	B m	b m	d m		بازه	ردیف
•/۵۶	•/۷۹	•/۴۴	•/۱۲	•/۲۱	•/۱۱	•/۲۲	•/۳۴	•/۲۲	•/۶	•/۷	•/۶	۲/۴۹	۱/۲	۰/۴۳		W	۱۱
		•/۴۵	•/۱	•/۲	•/۱				•/۶	•/۶	•/۵				پایین دست	۱۴۰۰	طول بازه
									•/۵	•/۵	•/۴					۲	درجه کانال
									•/۵۵	•/۶	•/۵				S5-S6		

S.W.A.of.R		$\frac{\Delta Q}{100}$	ΔQ	eff.%	Fr	N	S	D	R	P	Z		بازه	ردیف		
$m^2$			(Lit/sec)					m	m	m						
۳۳۱۸	•/۰۷	۶/۹۱	۹۶/۶۹	۸۲/۰۶	•/۵۵۰	•/۰۱۳۹	•/۰۰۱	•/۲۷	•/۲۵	۲/۴۶	۱/۵۰		W	۱۱		
				۸۴/۱۵								بالا دست	۱۴۰۰	طول بازه		
					Fr	n	S	D	R	P	Z		بازه	ردیف		
								m	m	m						
eff.%					•/۳۱۵	•/۰۲۴۸	•/۰۰۱	•/۳۲	•/۲۹	۲/۷۵	۱/۵۰		W	۱۱		
۸۳/۱۰												پایین دست	۱۴۰۰	طول بازه		

پیوست ۳-۱۸- نتایج محاسبات هیدرولیکی روی مقاطع جریان

Vm (m/s)	At CMS	Qt CMS	Q3 CMS	Q2 CMS	Q1 CMS	A3 $m^2$	A2 $m^2$	A1 $m^2$	V3 (m/s)	V2 (m/s)	V1 (m/s)	B m	b m	d m		بلندی	ردیف
•/٧٧	•/٤٤	•/٣٤	•/٠٨	•/١٦	•/٠٩	•/١٢	•/١٩	•/١٢	•/٧	•/٩	•/٨	١/٨٦	•/٩	•/٣٢	بالا دست	D	١٢
		•/٣٥	•/١	•/٢	•/١				•/٦	•/٩	•/٨					١٥٠٠	طول بازه
									•/٦	•/٨	•/٧					٢	درجہ کانال
									•/٦٥	•/٨٥	•/٧٥				X2-X3-X4		
Vm (m/s)	At CMS	Qt CMS	Q3 CMS	Q2 CMS	Q1 CMS	A3 $m^2$	A2 $m^2$	A1 $m^2$	V3 (m/s)	V2 (m/s)	V1 (m/s)	B m	b m	d m		بازه	ردیف
•/٦٦	•/٤٨	•/٣١	•/٠٨	•/١٤	•/٠٩	•/١٤	•/٢٠	•/١٤	•/٧	•/٨	•/٧	١/٩٢	•/٩	•/٣٤	پایین دست	D	١٢
		•/٣٢	•/١	•/١	•/١				•/٦	•/٧	•/٧					١٥٠٠	طول بازه
									•/٥	•/٦	•/٦					٢	درجہ کانال
									•/٦	•/٧	•/٦٥				X2-X3-X4		

S.W.A.of.R		$\frac{\Delta Q}{100}$	ΔQ	eff.%	Fr	N	S	D	R	P	Z		بازه	ردیف
$m^2$			(Lit/sec)					m	m	m				
٢٨٣٥	•/٠٢	١/٥٣	٢٣/٠٠	٩٣/٢٠	•/٥٠١	•/٠١٨٢	•/٠٠١٥	•/٢٤	•/٢٢	٢/٠٥	١/٥٠	بالا دست	D	١٢
				٩٢/٦٠									١٥٠٠	طول بازه
					Fr	n	S	D	R	P	Z	پایین دست	بازه	ردیف
								m	m	m				
eff.%					•/٤٢٠	•/٠٢١٨	•/٠٠١٥	•/٢٥	•/٢٣	٢/١٣	١/٥٠		D	١٢
٩٢/٩٠													١٥٠٠	طول بازه

پیوست ۱۹-۳ - نتایج محاسبات هیدرولیکی روی مقاطع جریان

Vm (m/s)	At CMS	Qt CMS	Q3 CMS	Q2 CMS	Q1 CMS	A3 $m^2$	A2 $m^2$	A1 $m^2$	V3 (m/s)	V2 (m/s)	V1 (m/s)	B m	b m	d m		ملوّه	ردیف
•/٨•	•/٣٢	•/٢٥	•/٠٦	•/١٣	•/٠٦	•/٠٨	•/١٥	•/٠٨	•/٨	١	•/٩	١/٦٥	•/٩	•/٢٥		E	١٣
		•/٢٦	•/١	•/١	•/١				•/٩	•/٨	•/٧				بالا دست	١٨٥٠	طول بازه
									•/٧	•/٧	•/٦					٢	درجه کانال
									•/٧٥	•/٨٥	•/٧٥					A-X1	
Vm (m/s)	At CMS	Qt CMS	Q3 CMS	Q2 CMS	Q1 CMS	A3 $m^2$	A2 $m^2$	A1 $m^2$	V3 (m/s)	V2 (m/s)	V1 (m/s)	B m	b m	d m		بازه	ردیف
•/٦١	•/٣٧	•/٢٣	•/٠٦	•/١١	•/٠٦	•/١٠	•/١٧	•/١٠	•/٧	•/٧	•/٦	١/٧٤	•/٩	•/٢٨		E	١٣
		•/٢٥	•/١	•/١	•/١				•/٦	•/٧	•/٧				پایین دست	١٨٥٠	طول بازه
									•/٥	•/٦	•/٥					٢	درجه کانال
									•/٦	•/٦٥	•/٥٥					A-X1	

S.W.A.of.R		$\frac{\Delta Q}{100}$	ΔQ	eff.%	Fr	N	S	D	R	P	Z		بازه	ردیف	
$m^2$			(Lit/sec)					m	m	m					
٣١٣٥/٧٥	•/٠٢	١/٥٦	٢٨/٩٤	٨٨/٦١	•/٥٧٩	•/٠١٥٣	•/٠٠١٥	•/١٩	•/١٨	١/٨٠	١/٥٠		E	١٣	
				٩٧/٥١								بالا دست	١٨٥٠	طول بازه	
					Fr	n	S	D	R	P	Z		بازه	ردیف	
eff.%					•/٤٢٢	•/٠٢١٣	•/٠٠١٥	•/٢١	•/١٩	١/٩١	١/٥٠		E	١٣	
٩٣/٠٦												پایین دست	١٨٥٠	طول بازه	

پیوست ٣-٢٠- نتایج محاسبات هیدرولیکی روی مقاطع جریان

Vm (m/s)	At CMS	Qt CMS	Q3 CMS	Q2 CMS	Q1 CMS	A3 $m^2$	A2 $m^2$	A1 $m^2$	V3 (m/s)	V2 (m/s)	V1 (m/s)	B m	b m	d m		بلندی	ردیف
•/۶۹	•/۲۷	•/۱۹	•/۰۵	•/۰۸	•/۰۵	•/۰۸	•/۱۱	•/۰۸	•/۷	•/۸	•/۷	۱/۴۱	۰/۶	۰/۲۷		F	۱۴
		•/۲۰	•/۱	•/۱	•/۱				•/۷	•/۸	•/۷				بالا دست	۹۵۰	طول بازه
									•/۶	•/۷	•/۶					۲	درجه کانال
									•/۶۵	•/۷۵	•/۶۵				A-X1		
Vm (m/s)	At CMS	Qt CMS	Q3 CMS	Q2 CMS	Q1 CMS	A3 $m^2$	A2 $m^2$	A1 $m^2$	V3 (m/s)	V2 (m/s)	V1 (m/s)	B m	b m	d m		بازه	ردیف
•/۴۹	•/۳۲	•/۱۵	•/۰۴	•/۰۷	•/۰۴	•/۱۰	•/۱۲	•/۱۰	•/۵	•/۷	•/۶	۱/۵	۰/۶	۰/۳		F	۱۴
		•/۱۲	•	•/۱	•				•/۵	•/۶	•/۵				پایین دست	۹۵۰	طول بازه
									•/۴	•/۴	•/۳					۲	درجه کانال
									•/۴۵	•/۵۵	•/۴۵				A-X1		

S.W.A.of.R		$\frac{\Delta Q}{100}$	ΔQ	eff.%	Fr	N	S	D	R	P	Z		بازه	ردیف
$m^2$			(Lit/sec)					m	m	m				
۱۳۸۲/۲۵	۰/۰۴	۳/۵۲	۳۳/۴۳	۱/۸۲/۱۴	۰/۵۰۲	۰/۰۱۷۴	۰/۰۰۱۵	۰/۱۹	۰/۱۷	۱/۵۷	۱/۵۰		F	۱۴
				۸۴/۴۴								بالا دست	۹۵۰	طول بازه
					Fr	n	S	D	R	P	Z		بازه	ردیف
eff.%					۰/۳۴۰	۰/۰۲۶۰	۰/۰۰۱۵	۰/۲۱	۰/۱۹	۱/۶۸	۱/۵۰		F	۱۴
۸۳/۲۹												پایین دست	۹۵۰	طول بازه

پیوست ۳-۲۱- نتایج محاسبات هیدرولیکی روی مقاطع جریان

Vm (m/s)	At CMS	Qt CMS	Q3 CMS	Q2 CMS	Q1 CMS	A3 $m^2$	A2 $m^2$	A1 $m^2$	V3 (m/s)	V2 (m/s)	V1 (m/s)	B m	b m	d m		طبقه	ردیف
•/۷۴	۱/۱۷	•/۸۷	•/۲۵	•/۳۹	•/۲۳	•/۳۶	•/۴۶	•/۳۶	•/۸	۱	•/۸	۲/۹۱	۱/۲	•/۵۷	بالا دست	H	۱۵
		•/۹۵	•/۳	•/۴	•/۳				•/۸	•/۹	•/۷					۱۵۰۰	طول بازه
									•/۶	•/۷	•/۵					۱	درجه کانال
									•/۷	•/۸۵	•/۶۵					B-C	
Vm (m/s)	At CMS	Qt CMS	Q3 CMS	Q2 CMS	Q1 CMS	A3 $m^2$	A2 $m^2$	A1 $m^2$	V3 (m/s)	V2 (m/s)	V1 (m/s)	B m	b m	d m		باشه	ردیف
۱/۰۴	•/۷۷	•/۸۰	•/۲۱	•/۳۷	•/۲۳	•/۲۲	•/۳۴	•/۲۲	۱	۱/۲	۱/۱	۲/۴۶	۱/۲	•/۴۲	پایین دست	H	۱۵
		•/۸۲	•/۲	•/۴	•/۲				۱	۱/۱	۱/۱					۱۵۰۰	طول بازه
									•/۹	۱	۱					۱	درجه کانال
									•/۹۵	۱/۱	۱/۰۵					B-C	

S.W.A.of.R		$\frac{\Delta Q}{100}$	ΔQ	eff.%	Fr	N	S	D	R	P	Z		باشه	ردیف
$m^2$			(Lit/sec)					m	m	m		بالا دست		
۴۰۲۷/۵	•/۰۵	۴/۵۵	۶۸/۲۶	۹۲/۱۶	•/۳۷۴	•/۰۳۰۴	•/۰۰۲	•/۴۰	•/۳۶	۳/۲۶	۱/۵۰		H	۱۵
				۸۷/۰۰									۱۵۰۰	طول بازه
					Fr	n	S	D	R	P	Z		باشه	ردیف
eff.%					•/۵۹۶	•/۰۱۸۵	•/۰۰۲	•/۳۱	•/۲۸	۲/۷۱	۱/۵۰	پایین دست	H	۱۵
۸۹/۵۸													۱۵۰۰	طول بازه

پیوست ۳-۲۲- نتایج محاسبات هیدرولیکی روی مقاطع جریان

Vm (m/s)	At CMS	Qt CMS	Q3 CMS	Q2 CMS	Q1 CMS	A3 $m^2$	A2 $m^2$	A1 $m^2$	V3 (m/s)	V2 (m/s)	V1 (m/s)	B m	b m	d m		لطفه	ردیف
•/٥٨	•/٢٢	•/١٣	•/٠٣	•/٠٦	•/٠٣	•/٠٦	•/٠٩	•/٠٦	•/٧	•/٨	•/٦	١/٢٩	٠/٦	٠/٢٣		١	١٦
		•/١٢	•	•/١	•				•/٨	•/٦	•/٦				بالا دست	٧٠٠	طول بازه
									•/٤	•/٥	•/٤					٢	درجه کانال
									•/٥٥	•/٦٥	•/٥				B-Z1		
Vm (m/s)	At CMS	Qt CMS	Q3 CMS	Q2 CMS	Q1 CMS	A3 $m^2$	A2 $m^2$	A1 $m^2$	V3 (m/s)	V2 (m/s)	V1 (m/s)	B m	b m	d m		بازه	ردیف
•/٤٦	•/٢٤	•/١١	•/٠٣	•/٠٦	•/٠٣	•/٠٧	•/١٠	•/٠٧	•/٨	•/٧	•/٨	١/٣٥	٠/٦	٠/٢٥		١	١٦
		•/١١	•	•/١	•				•/٤	•/٥	•/٥				پایین دست	٧٠٠	طول بازه
									•/٣	•/٤	•/٣					٢	درجه کانال
									•/٤	•/٥٥	•/٤				B-Z1		

S.W.A.of.R		$\frac{\Delta Q}{100}$	ΔQ	eff.%	Fr	N	S	D	R	P	Z		بازه	ردیف		
$m^2$			(Lit/sec)					m	m	m						
٩٢٤	•/٠٢	١/٨٧	١٣/١١	٨٩/٥٦	٠/٤٥٠	٠/٠١٩١	٠/٠٠١٥	٠/١٧	٠/١٥	١/٤٣	١/٥٠		١	١٦		
				٩٢/٣٨								بالا دست	٧٠٠	طول بازه		
eff.%					Fr	N	S	D	R	P	Z		بازه	ردیف		
٩٠/٩٧					٠/٣٤٧	٠/٠٢٥٠	٠/٠٠١٥	٠/١٨	٠/١٦	١/٥٠	١/٥٠		١	١٦		
								m	m	m		پایین دست	٧٠٠	طول بازه		

پیوست ۳-۲۳- نتایج محاسبات هیدرولیکی روی مقاطع جریان

Vm (m/s)	At CMS	Qt CMS	Q3 CMS	Q2 CMS	Q1 CMS	A3 $m^2$	A2 $m^2$	A1 $m^2$	V3 (m/s)	V2 (m/s)	V1 (m/s)	B m	b m	d m		بلندی	ردیف
•/٤٦	•/٣٢	•/١٤	•/٠٤	•/٠٧	•/٠٤	•/١٠	•/١٢	•/١٠	•/٨	•/٧	•/٨	١/٥	٠/٦	٠/٣		M	١٧
		•/١٥	•	•/١	•				•/٤	•/٨	•/٨				بالا دست	٥٠٠	طول بازه
									•/٣	•/٤	•/٣					٣	درجه کانال
									•/٤	•/٥٥	•/٤						
Vm (m/s)	At CMS	Qt CMS	Q3 CMS	Q2 CMS	Q1 CMS	A3 $m^2$	A2 $m^2$	A1 $m^2$	V3 (m/s)	V2 (m/s)	V1 (m/s)	B m	b m	d m		بازه	ردیف
•/٦٠	•/١٨	•/١١	•/٠٣	•/٠٦	•/٠٣	•/٠٥	•/٠٨	•/٠٥	•/٦	•/٩	•/٦	١/٢	٠/٦	٠/٢		M	١٧
		•/١١	•	•/١	•				•/٥	•/٧	•/٦				پایین دست	٥٠٠	طول بازه
									•/٤	•/٥	•/٥					٣	درجه کانال
									•/٥	•/٧	•/٥٥						

S.W.A.of.R		$\frac{\Delta Q}{100}$	ΔQ	eff.%	Fr	N	S	D	R	P	Z		بازه	ردیف		
$m^2$			(Lit/sec)					m	m	m						
٦٧٥	•/٠٧	٧/١٠	٣٥/٥٠	٧٥/٣٥	•/٣١٨	•/٠٢٢٦	•/٠٠١	•/٢١	•/١٩	١/٦٨	١/٥٠		M	١٧		
				٧٥/١٣								بالا دست	٥٠٠	طول بازه		
eff.%					Fr	N	S	D	R	P	Z		بازه	ردیف		
٧٥/٢٤					•/٤٩٧	•/٠١٣٩	•/٠٠١	•/١٥	•/١٤	١/٣٢	١/٥٠		M	١٧		
												پایین دست	٥٠٠	طول بازه		

پیوست ۳-۲۴- نتایج محاسبات هیدرولیکی روی مقاطع جریان

Vm (m/s)	At CMS	Qt CMS	Q3 CMS	Q2 CMS	Q1 CMS	A3 $m^2$	A2 $m^2$	A1 $m^2$	V3 (m/s)	V2 (m/s)	V1 (m/s)	B m	b m	d m		بلندی	ردیف
۰/۷۹	۰/۲۱	۰/۵۶	۰/۱۵	۰/۲۳	۰/۱۸	۰/۲۲	۰/۲۷	۰/۲۲	۰/۸	۱	۰/۹	۲/۲۵	۰/۹	۰/۴۵	بالا دست	Q	۱۸
		۰/۵۷	۰/۲	۰/۲	۰/۲				۰/۷	۰/۹	۰/۸					۱۴۰۰	طول بازه
									۰/۶	۰/۷	۰/۷					۳	درجه کانال
									۰/۷	۰/۸۵	۰/۸						
Vm (m/s)	At CMS	Qt CMS	Q3 CMS	Q2 CMS	Q1 CMS	A3 $m^2$	A2 $m^2$	A1 $m^2$	V3 (m/s)	V2 (m/s)	V1 (m/s)	B m	b m	d m		بازه	ردیف
۰/۹۳	۰/۵۶	۰/۵۲	۰/۱۴	۰/۲۳	۰/۱۵	۰/۱۷	۰/۲۳	۰/۱۷	۰/۹	۱/۱	۱	۲/۰۴	۰/۹	۰/۳۸	پایین دست	Q	۱۸
		۰/۵۳	۰/۱	۰/۲	۰/۱				۰/۹	۱	۰/۹					۱۴۰۰	طول بازه
									۰/۸	۰/۹	۰/۸					۳	درجه کانال
									۰/۸۵	۱	۰/۹						

S.W.A.of.R		$\frac{\Delta Q}{100}$	ΔQ	eff.%	Fr	N	S	D	R	P	Z		بازه	ردیف	
$m^2$			(Lit/sec)					m	m	m					
۳۰۰۳	۰/۰۳	۲/۹۵	۴۱/۲۹	۹۲/۶۱	۰/۴۴۸	۰/۰۱۹۶	۰/۰۰۱۳	۰/۳۲	۰/۲۸	۲/۵۲	۱/۵۰	بالا دست	Q	۱۸	
				۹۱/۸۷									۱۴۰۰	طول بازه	
					Fr	n	S	D	R	P	Z		بازه	ردیف	
								m	m	m					
eff.%					۰/۵۶۵	۰/۰۱۵۳	۰/۰۰۱۳	۰/۲۷	۰/۲۵	۲/۲۷	۱/۵۰	پایین دست	Q	۱۸	
۹۲/۲۴													۱۴۰۰	طول بازه	

پیوست ۳-۲۵- نتایج محاسبات هیدرولیکی روی مقاطع جریان

Vm (m/s)	At CMS	Qt CMS	Q3 CMS	Q2 CMS	Q1 CMS	A3 $m^2$	A2 $m^2$	A1 $m^2$	V3 (m/s)	V2 (m/s)	V1 (m/s)	B m	b m	d m		بلندی r	ردیف ۱۹
۱/۰۹	۰/۵۴	۰/۵۹	۰/۱۶	۰/۲۶	۰/۱۷	۰/۱۶	۰/۲۲	۰/۱۶	۱/۱	۱/۳	۱/۲	۲/۰۱	۰/۹	۰/۳۷			
		۰/۵۸	۰/۲	۰/۲	۰/۲				۱	۱/۱	۱/۱					۹۰۰	طول بازه
									۰/۹	۱	۱					۳	درجه کانال
									۱	۱/۱۵	۱/۱						
Vm (m/s)	At CMS	Qt CMS	Q3 CMS	Q2 CMS	Q1 CMS	A3 $m^2$	A2 $m^2$	A1 $m^2$	V3 (m/s)	V2 (m/s)	V1 (m/s)	B m	b m	d m		بازه r	ردیف ۱۹
۰/۸۷	۰/۶۰	۰/۵۲	۰/۱۵	۰/۲۲	۰/۱۵	۰/۱۸	۰/۲۴	۰/۱۸	۰/۹	۱/۱	۱	۲/۱	۰/۹	۰/۴		۹۰۰	طول بازه
		۰/۵۲	۰/۲	۰/۲	۰/۲				۰/۹	۰/۸	۰/۹					۳	درجه کانال
									۰/۸	۰/۷	۰/۷						
									۰/۸۵	۰/۹	۰/۸۵						

S.W.A.of.R		$\frac{\Delta Q}{100}$	ΔQ	eff.%	Fr	N	S	D	R	P	Z		بازه r	ردیف ۱۹
$m^2$			(Lit/sec)					m	m	m				
۱۸۴۹/۵	۰/۰۷	۷/۲۷	۶۵/۴۷	۸۸/۸۶	۰/۶۷۳	۰/۰۱۳۷	۰/۰۰۱۵	۰/۲۷	۰/۲۴	۲/۲۳	۱/۵۰		۹۰۰	طول بازه
				۸۹/۵۳										
					Fr	n	S	D	R	P	Z		بازه r	ردیف ۱۹
								m	m	m				
eff.%					۰/۵۲۰	۰/۰۱۸۲	۰/۰۰۱۵	۰/۲۹	۰/۲۶	۲/۳۴	۱/۵۰		۹۰۰	طول بازه
۸۹/۱۹														

پیوست ۳-۲۶- نتایج محاسبات هیدرولیکی روی مقاطع جریان

Vm (m/s)	At CMS	Qt CMS	Q3 CMS	Q2 CMS	Q1 CMS	A3 $m^2$	A2 $m^2$	A1 $m^2$	V3 (m/s)	V2 (m/s)	V1 (m/s)	B m	b m	d m		بلندی	ردیف
•/۷۴	•/۵۸	•/۴۳	•/۱۰	•/۲۱	•/۱۱	•/۱۷	•/۲۳	•/۱۷	•/۷	۱/۱	•/۸	۲/۰۷	۰/۹	۰/۳۹		S	۲۰
		•/۴۱	•/۱	•/۲	•/۱				•/۶	•/۸	•/۷				بالا دست	۱۵۰۰	طول بازه
									•/۵	•/۷	•/۵					۳	درجہ کانال
									•/۶	•/۹	•/۶۵						
Vm (m/s)	At CMS	Qt CMS	Q3 CMS	Q2 CMS	Q1 CMS	A3 $m^2$	A2 $m^2$	A1 $m^2$	V3 (m/s)	V2 (m/s)	V1 (m/s)	B m	b m	d m		بازه	ردیف
•/۵۶	•/۶۹	•/۳۹	•/۱۱	•/۱۸	•/۱۰	•/۲۱	•/۲۶	•/۲۱	•/۶	•/۹	•/۶	۲/۲۲	۰/۹	۰/۴۴		S	۲۰
		•/۳۹	•/۱	•/۲	•/۱				•/۶	•/۶	•/۵				پایین دست	۱۵۰۰	طول بازه
									•/۴	•/۵	•/۳					۳	درجہ کانال
									•/۵	•/۷	•/۴۵						

S.W.A.of.R		$\frac{\Delta Q}{100}$	ΔQ	eff.%	Fr	N	S	D	R	P	Z		بازه	ردیف	
$m^2$			(Lit/sec)					m	m	m					
۳۲۱۷/۵	۰/۰۳	۲/۷۳	۴۰/۸۸	۹۰/۴۱	۰/۴۴۴	۰/۰۱۷۱	۰/۰۰۱	۰/۲۸	۰/۲۵	۲/۳۱	۱/۵۰		S	۲۰	
				۹۴/۹۴									بالا دست	۱۵۰۰	طول بازه
					Fr	n	S	D	R	P	Z		بازه	ردیف	
								m	m	m					
eff.%					۰/۳۲۲	۰/۰۲۳۹	۰/۰۰۱	۰/۳۱	۰/۲۸	۲/۴۹	۱/۵۰		S	۲۰	
۹۲/۶۸													پایین دست	۱۵۰۰	طول بازه

پیوست ۳-۲۷- نتایج محاسبات هیدرولیکی روی مقاطع جریان

Vm (m/s)	At CMS	Qt CMS	Q3 CMS	Q2 CMS	Q1 CMS	A3 $m^2$	A2 $m^2$	A1 $m^2$	V3 (m/s)	V2 (m/s)	V1 (m/s)	B m	b m	d m		بلندیه	ردیف
۱/۰۰	۰/۴۱	۰/۴۱	۰/۱۰	۰/۲۰	۰/۱۱	۰/۱۱	۰/۱۸	۰/۱۱	۱	۱/۲	۱	۱/۸	۰/۹	۰/۳		T	۲۱
		۰/۴۱	۰/۱	۰/۲	۰/۱				۰/۹	۱/۱	۱				بالا دست	۴۰۰	طول بازه
									۰/۸	۱	۰/۹					۳	درجه کانال
									۰/۹	۱/۱	۰/۹۵						
Vm (m/s)	At CMS	Qt CMS	Q3 CMS	Q2 CMS	Q1 CMS	A3 $m^2$	A2 $m^2$	A1 $m^2$	V3 (m/s)	V2 (m/s)	V1 (m/s)	B m	b m	d m		بازه	ردیف
۰/۷۰	۰/۵۶	۰/۳۹	۰/۱۱	۰/۱۸	۰/۱۰	۰/۱۷	۰/۲۳	۰/۱۷	۰/۸	۱	۰/۷	۲/۰۴	۰/۹	۰/۳۸		T	۲۱
		۰/۴۰	۰/۱	۰/۲	۰/۱				۰/۷	۰/۸	۰/۶				پایین دست	۴۰۰	طول بازه
									۰/۵	۰/۶	۰/۵					۳	درجه کانال
									۰/۶۵	۰/۸	۰/۶						

S.W.A.of.R		$\frac{\Delta Q}{100}$	ΔQ	eff.%	Fr	N	S	D	R	P	Z		بازه	ردیف
$m^2$			(Lit/sec)					m	m	m				
۷۶۸	۰/۰۴	۴/۲۷	۱۷/۱۰	۹۵/۷۹	۰/۶۷۵	۰/۰۱۰۴	۰/۰۰۰۹	۰/۲۳	۰/۲۰	۱/۹۸	۱/۵۰		T	۲۱
				۹۶/۴۹								بالا دست	۴۰۰	طول بازه
					Fr	n	S	D	R	P	Z		بازه	ردیف
								m	m	m				
eff.%					۰/۴۲۵	۰/۰۱۶۹	۰/۰۰۰۹	۰/۲۷	۰/۲۵	۲/۲۷	۱/۵۰		T	۲۱
۹۶/۱۴												پایین دست	۴۰۰	طول بازه

پیوست ۳-۲۸- نتایج محاسبات هیدرولیکی روی مقاطع جریان

Vm (m/s)	At CMS	Qt CMS	Q3 CMS	Q2 CMS	Q1 CMS	A3 $m^2$	A2 $m^2$	A1 $m^2$	V3 (m/s)	V2 (m/s)	V1 (m/s)	B m	b m	d m		بلندیه	ردیف
•/٥١	•/١٤	•/٠٧	•/٠٢	•/٠٣	•/٠٢	•/٠٥	•/٠٤	•/٠٥	•/٨	•/٧	•/٦	•/٩٦	•/٣	•/٢٢		B	٢٢
		•/٠٧	•	•	١				•/٤	•/٦	•/٥				بالا دست	٦٦٠	طول بازه
									•/٤	•/٥	•/٤					٣	درجه کانال
									•/٤٥	•/٦	•/٥				BK		
Vm (m/s)	At CMS	Qt CMS	Q3 CMS	Q2 CMS	Q1 CMS	A3 $m^2$	A2 $m^2$	A1 $m^2$	V3 (m/s)	V2 (m/s)	V1 (m/s)	B m	b m	d m		بازه	ردیف
•/٦٤	•/١٠	•/٠٧	•/٠٢	•/٠٣	•/٠٢	•/٠٣	•/٠٤	•/٠٣	•/٧	•/٨	•/٧	•/٨٤	•/٣	•/١٨		B	٢٢
		•/٠٦	•	•	•				•/٦	•/٧	•/٥				پایین دست	٦٦٠	طول بازه
									•/٥	•/٦	•/٥					٣	درجه کانال
									•/٦	•/٧	•/٦				BK		

S.W.A.of.R		$\frac{\Delta Q}{100}$	ΔQ	eff.%	Fr	N	S	D	R	P	Z		بازه	ردیف
$m^2$			(Lit/sec)					m	m	m				
٥٩٤	•/٠١	•/٩٤	٦/١٨	٩١/٣٤	•/٤٣٢	•/٠١٩٢	•/٠٠١٥	•/١٤	•/١٣	١/٠٩	١/٥٠		B	٢٢
				٨٩/٦٥								بالا دست	٦٦٠	طول بازه
					Fr	n	S	D	R	P	Z		بازه	ردیف
								m	m	m				
eff.%					•/٥٨٠	•/٠١٣٨	•/٠٠١٥	•/١٢	•/١١	•/٩٥	١/٥٠		B	٢٢
٩٠/٥٠												پایین دست	٦٦٠	طول بازه

پیوست ۳-۲۹- نتایج محاسبات هیدرولیکی روی مقاطع جریان

کد دورت (NTU)	غلظت مواد معلق(gr/lit)	وزن ماده خشک (gr)	حجم نمونه (lit)	شماره
۵۰۲/۶۷	۱/۵۲	۲/۲۸	۱/۵	۱
۴۶۳/۰۰	۱/۴۳	۲/۱۵	۱/۵	۲
۴۳۷/۰۰	۱/۳۵	۲/۰۳	۱/۵	۳
۴۱۹/۶۷	۱/۲۸	۱/۹۲	۱/۵	۴
۳۸۹/۳۳	۱/۲۲	۱/۸۳	۱/۵	۵
۳۸۷/۶۷	۱/۱۶	۱/۷۴	۱/۵	۶
۳۶۸/۰۰	۱/۱۱	۱/۶۷	۱/۵	۷
۳۶۱/۰۰	۱/۰۶	۱/۶۰	۱/۵	۸
۲۱۱/۰۰	۰/۶۳	۰/۹۵	۱/۵	۹
۱۸۵/۳۳	۰/۴۵	۰/۶۸	۱/۵	۱۰

کد دورت (NTU)	غلظت مواد معلق(gr/lit)	وزن ماده خشک (gr)	حجم نمونه (lit)	شماره
۱۳۳/۰۰	۰/۲۵	۰/۳۸	۱/۵	۱
۱۳۰/۰۰	۰/۲۳	۰/۳۵	۱/۵	۲
۱۱۱/۶۷	۰/۲۱	۰/۳۲	۱/۵	۳
۱۰۳/۶۷	۰/۲۰	۰/۳۰	۱/۵	۴
۱۰۸/۶۷	۰/۱۹	۰/۲۸	۱/۵	۵
۹۰/۳۰	۰/۱۷	۰/۲۵	۱/۵	۶
۷۶/۰۷	۰/۱۵	۰/۲۳	۱/۵	۷
۶۷/۲۰	۰/۱۴	۰/۲۱	۱/۵	۸
۶۹/۹۷	۰/۱۲	۰/۱۸	۱/۵	۹
۵۳/۱۰	۰/۱۰	۰/۱۵	۱/۵	۱۰

پیوست ۳-۳۰- داده‌های غلظت مواد معلق و کد دورت نمونه‌ها

کد دورت (NTU)	غلظت مواد معلق(gr/lit)	وزن ماده خشک (gr)	حجم نمونه (lit)	شماره
۹۰۰/۰۰	۵/۰۰	۷/۵۰	۱/۵	۱
۸۶۷/۶۷	۴/۱۷	۶/۲۵	۱/۵	۲
۸۰۷/۳۳	۳/۵۷	۵/۳۵	۱/۵	۳
۷۶۳/۰۰	۳/۱۳	۴/۷۰	۱/۵	۴
۸۰/۰۰	۰/۳۸	۰/۵۷	۱/۵	۵
۳۶۸/۰۰	۱/۱۱	۱/۶۷	۱/۵	۶
۶۷۳/۳۳	۲/۵۰	۳/۷۵	۱/۵	۷
۶۷۳/۶۷	۲/۳۸	۳/۵۷	۱/۵	۸
۵۹۷/۶۷	۲/۱۷	۳/۲۵	۱/۵	۹
۵۷۹/۳۳	۲/۰۰	۳/۰۰	۱/۵	۱۰

کد دورت (NTU)	غلظت مواد معلق(gr/lit)	وزن ماده خشک (gr)	حجم نمونه (lit)	شماره
۴۷/۲۳	۰/۰۹	۰/۱۴	۱/۵	۱
۴۶/۶۰	۰/۰۸	۰/۱۲	۱/۵	۲
۹۰۹/۶۷	۵/۰۰	۷/۵	۱/۵	۳
۷۶۳/۰۰	۳/۱۳	۴/۷۰	۱/۵	۴
۶۷۳/۳۳	۲/۵۰	۳/۷۵	۱/۵	۵
۵۵۲/۰۰	۱/۸۵	۲/۷۸	۱/۵	۶
۵۱۱/۶۷	۱/۶۷	۲/۵۰	۱/۵	۷
۴۵۵/۳۳	۱/۳۹	۲/۱۰	۱/۵	۸
۳۶۷/۰۰	۱/۱۴	۱/۷۱	۱/۵	۹
۳۱۹/۰۰	۰/۹۳	۱/۴۰	۱/۵	۱۰

پیوست ۳-۳۱- داده‌های غلظت مواد معلق و کد دورت نمونه‌ها

کد دورت (NTU)	غلظت مواد معلق(gr/lit)	وزن ماده خشک (gr)	حجم نمونه (lit)	شماره
۵۶۲/۰۰	۱/۸۵	۲/۷۸	۱/۵	۱
۵۵۲/۰۰	۱/۸۵	۲/۷۸	۱/۵	۲
۵۳۴/۰۰	۱/۷۲	۲/۵۸	۱/۵	۳
۸۶/۶۳	۰/۲۹	۰/۴۴	۱/۵	۴
۷۶/۲۰	۰/۲۶	۰/۴۰	۱/۵	۵
۵۰۲/۶۷	۱/۵۲	۲/۲۸	۱/۵	۶
۴۶۳/۰۰	۱/۴۳	۲/۱۵	۱/۵	۷
۴۵۵/۳۳	۱/۳۹	۲/۱۰	۱/۵	۸
۴۳۷/۰۰	۱/۳۵	۲/۰۳	۱/۵	۹
۴۱۹/۶۷	۱/۲۸	۱/۹۰	۱/۵	۱۰

کد دورت (NTU)	غلظت مواد معلق(gr/lit)	وزن ماده خشک (gr)	حجم نمونه (lit)	شماره
۲۷۷/۶۷	۰/۷۸	۱/۱۷	۱/۵	۱
۲۳۰/۶۷	۰/۶۸	۱/۰۲	۱/۵	۲
۲۱۱/۰۰	۰/۶۳	۰/۹۵	۱/۵	۳
۱۸۶/۶۷	۰/۵۶	۰/۸۵	۱/۵	۴
۱۵۲/۰۰	۰/۵۰	۰/۷۵	۱/۵	۵
۱۸۵/۳۳	۰/۴۵	۰/۶۸	۱/۵	۶
۸۰/۰۰	۰/۳۸	۰/۵۷	۱/۵	۷
۸۷/۷۷	۰/۳۳	۰/۵۰	۱/۵	۸
۸۶/۶۳	۰/۲۹	۰/۴۴	۱/۵	۹
۷۶/۲۰	۰/۲۶	۰/۴۰	۱/۵	۱۰

پیوست ۳-۳-۲-۳- داده‌های غلظت مواد معلق و کدورت نمونه‌ها

کد دورت (NTU)	غلظت مواد معلق(gr/lit)	وزن ماده خشک (gr)	حجم نمونه (lit)	شماره
				۱
				۲
				۳
				۴
				۵
				۶
				۷
				۸
				۹
				۱۰

کد دورت (NTU)	غلظت مواد معلق(gr/lit)	وزن ماده خشک (gr)	حجم نمونه (lit)	شماره
۳۶۱/۰۰	۱/۰۶	۱/۶۰	۱/۵	۱
۳۱۹/۰۰	۰/۹۳	۱/۴۰	۱/۵	۲
۲۷۷/۶۷	۰/۷۸	۱/۱۷	۱/۵	۳
۲۳۰/۶۷	۰/۶۸	۱/۰۰	۱/۵	۴
۹۰۰/۰۰	۵/۰۰	۷/۵۰	۱/۵	۵
۳۸۹/۳۳	۱/۲۲	۱/۸۰	۱/۵	۶
۳۸۷/۶۷	۱/۱۶	۱/۷۵	۱/۵	۷
۳۶۷/۰۰	۱/۱۴	۱/۷۰	۱/۵	۸
				۹
				۱۰

پیوست-۳-۳-داده‌های غلظت مواد معلق و کد دورت نمونه‌ها

## مراجع:

- (۱) احتشامی م، علی کناری ش، و عباسی ن، (۱۳۷۹)، ارزیابی راندمان انتقال و توزیع و همچنین علل افزایش زبری در کانال‌های شبکه آبیاری قزوین، مجموعه مقالات دهمین سمینار کمیته ملی آبیاری و زهکشی ایران، صص ۹۳-۸۳.
- (۲) باروتکوب ش، بینا م، و عساکری ع، (۱۳۸۴)، موقعیت مکانی درزهای انقباض پوشش بتنی کانال‌ها و نقش آن در علاج بخشی تخریب ناشی از خاصیت تورمی خاک، نخستین کنفرانس ملی تجربه‌های ساخت شبکه‌های آبیاری و زهکشی، چاپ اول، (۱۳۸۴)، گروه مهندسی آبیاری و آبادانی دانشگاه تهران، ص ۳۷۵.
- (۳) بهزادی‌نسب م، مینائی س، و مختاریان ر، (۱۳۸۵)، "ارزیابی عملکرد و مسائل و مشکلات سازه اندازه‌گیری نیرپیک در شبکه‌های آبیاری و زهکشی دشت اوان و شمال شرق اهواز"، همایش ملی شبکه‌های آبیاری و زهکشی، اهواز.
- (۴) بیات ح، صادقیان ج، فیضی س، و نرسیسیان و، (۱۳۸۶)، بناهای آبی برای مجموعه کارشناسی مهندسی عمران، چاپ سوم، انتشارات دانشگاه صنعتی امیر کبیر، صص ۲-۱.
- (۵) بیرامی م، (۱۳۸۷)، سازه‌های انتقال آب، چاپ هفتم، مرکز نشر دانشگاه صنعتی اصفهان، ص ۶۱.
- (۶) پورشهیدی س، (۱۳۸۹)، بررسی نیروهای واردہ بر پوشش کانال در زمان افتادگی سطح آب با استفاده از نرم‌افزار Plaxis، دومین همایش ملی مدیریت شبکه‌های آبیاری و زهکشی، دانشگاه شهید چمران اهواز.
- (۷) پوریعقوب ز و رضائی ح، (۱۳۸۷)، ارزیابی سازه‌های آبی احداث شده در شبکه‌ی آبیاری و زهکشی دشت مهاباد، سومین کنفرانس ملی تجربه‌های ساخت تأسیسات آبی و شبکه‌های آبیاری و زهکشی، دانشکده مهندسی آب و خاک.

- ۸) توکلیان ف، ۱۳۸۶، "بررسی روند ایجاد ترک‌های اولیه در پوشش بتنی کanal و نمونه‌هایی از راهکارهای ترمیم آنها، مطالعه موردی: پروژه کوثر"، دومین کنفرانس ملی تجربه‌های ساخت نتیجه‌سات آبی و شبکه‌های آبیاری و زهکشی، دانشگاه تهران، ص ۳۷۹.
- ۹) چمبرز ر، ۱۹۹۲، مدیریت آبیاری در سامانه‌های روباز، نتایج بررسی‌های میدانی در شبکه‌های آبیاری جنوب آسیا، گروه کار ارزیابی عملکرد شبکه‌های آبیاری و زهکشی، چاپ اول، ۱۳۸۳، کمیته ملی آبیاری و زهکشی ایران.
- ۱۰) حبیب‌پور ک، صفری ر، ۱۳۹۱، راهنمای جامع کاربرد SPSS در تحقیقات پیمایشی، چاپ پنجم، تهران، انتشار متفکران، ص ۴۱۳.
- ۱۱) رحیمی ح، ۱۳۷۴، "مسائل پوشش کanal های آبیاری ایران"، نشریه آب - خاک - ماشین، شماره ۱۱، سال دوم.
- ۱۲) رزگرانت م، ۲۰۰۲، "آینده آب و غذا در جهان تا سال ۲۰۲۵ عبور از بحران"، ترجمه‌ی فتحی، ۱۳۸۴، چاپ اول، ص ۲۶۴.
- ۱۳) سهرابی ت، جوادپور بروجنی ا، ۱۳۸۴، بازده‌های انتقال و توزیع شبکه آبیاری دشت قزوین، مجله پژوهش کشاورزی آب - خاک - گیاه، جلد ۵، ش ۲۰.
- ۱۴) شرکت جهاد نصر خراسان، ۱۳۸۴، انعکاس تجربیاتی در احداث کanal های روباز در مناطق خشک کویری و بررسی مشکلات و ارائه راه حل‌ها، نخستین کنفرانس ملی تجربه‌های ساخت شبکه‌های آبیاری و زهکشی، چاپ اول، ۱۳۸۴، گروه مهندسی آبیاری و آبادانی دانشگاه تهران، ص ۱۲۹.
- ۱۵) شفاعی بجستان م و بزارخ، "بررسی توزیع طولی و عمقی غلظت و دانه‌بندی رسوب معلق در کanal های آبیاری"، دومین همایش ملی مدیریت شبکه‌های آبیاری و زهکشی، ۱۳۸۷، دانشگاه شهید چمران اهواز، دانشکده مهندسی علوم آب.
- ۱۶) شفاعی بجستان م، ۱۳۹۰، "مبانی نظری و عملی هیدرولیک انتقال رسوب" ویرایش دوم، انتشارات دانشگاه شهید چمران اهواز، ص ۳۴۶.

(۱۷) طلایی ع، سخائی م، احمدی غ و نصرالهی ز، ۱۳۹۰، بررسی مشکلات ناشی از عدم مطالعات ژئوتکنیکی در کanal دره دایی - چشمی پر الیگودرز ، مجله ماهنامه مهرآب ، شماره ۷۳، ص ۲۹.

(۱۸) عسکری ف و فاخر ع، ۱۳۷۲، تورم و واگرایی خاک از دید مهندسی ژئوتکنیک.

(۱۹) علیزاده ا، ۱۳۸۰، "اصول هیدرولوژی کاربردی "، چاپ سیزدهم، انتشارات آستان قدس، دانشگاه امام رضا، ص ۴۷۶.

(۲۰) فرامجی ک، ۱۹۷۲، "طراحی و محاسبه کانال‌های آبیاری در جهان"، مقدمه‌ی ترجمه‌ی فرداد ح، ۱۳۶۶، تهران، کمیسیون بین‌المللی آبیاری و زهکشی، چاپ اول.

(۲۱) فرداد ح، ۱۳۷۵، آبیاری عمومی جلد دوم انتقال و توزیع آب "، چاپ دوم، انتشارات دانشگاه تهران، ص ۳۳۲.

(۲۲) قاهری ع، ۱۳۷۵، نگرشی بر لزوم ارزیابی عملکرد سیستم های آبیاری و زهکشی ، مجموعه مقالات هشتمین سمینار کمیته ملی آبیاری و زهکشی ایران.

(۲۳) گزارشات مطالعات مرحله اول طرح انتقال آب سیمین دشت به گرمسار، ۱۳۷۴، مهندسین مشاور لار، تهران.

(۲۴) گزارشات هوشناسی مشاور آب ورزان، ۱۳۷۹، صدر آب پویا، ۱۳۷۸.

(۲۵) ملک‌پور ر، پورابراهیم غ و غضنفری‌پور ح، ۱۳۸۸، بررسی علل تخریب بتون بدنه کanal انتقال آب تیگران ماهان، سومین کنفرانس ملی تجربه‌های ساخت نئویسیات آبی و شبکه‌های آبیاری و زهکشی، دانشگاه تهران، دانشکده مهندسی آب و خاک، گروه مهندسی آبیاری و آبادانی ، ص ۵۷.

(۲۶) مهاب قدس، گزارش پایانه طرح ورامین - گرمسار، ۱۳۷۰.

(۲۷) میرابوالقاسمی ۵، ۱۳۷۳، ارزیابی راندمان آبیاری در تعدادی از شبکه های سنتی ایران ، مجموعه مقالات هفتمین سمینار کمیته ملی آبیاری و زهکشی ایران.

(۲۸) نجفی‌پور ف، ۱۳۸۷، "روش‌های پیشگیری از شکست لاینینگ حاصل از تورم خاک و فشار ناشی از آب‌های زیرزمینی"، دومین همایش ملی مدیریت شبکه‌های آبیاری و زهکشی، دانشگاه شهید چمران اهواز، دانشکده مهندسی علوم آب.

(۲۹) نشریه شماره ۲۸۱، ضوابط عمومی طراحی شبکه‌های آبیاری و زهکشی، سازمان مدیریت و برنامه‌ریزی کشور معاونت امور فنی (۱۳۸۹)، انتشارات سازمان مدیریت و برنامه‌ریزی کشور.

30) Fcon.T, 2001, Performance evaluation Mokhamthao – Uthong project with a rapid appraisal procedure, J. Water and Energy International, Vol. 58, No. 2.

31) G.Bos. M, 1997, Performance indicators for irrigation and drainage, J. Irrigation and Drainage System, Vol. 11.

32) Global Water Flow Probe, Users Manual, Publication Number 38330112, 2012.

33) Instruction Manual TN-100/T-100 Portable Turbidimeter, 68X357701 Rrv.8 July 2012.

34) Shahrokhnia.M.A, Javan.M, 2005, Performance assessment of Drodzan irrigation network by steady state hydraulic modeling, J. Irrigation and Drainage System, Vol. 19, P.P.189-206.

35) Swan. C. H. "Middle East Canal and Irrigation Problems", Aci Sournal, Technical Paper, Junuary - Febrary 1985.

36) United Nation Office Of Technical Cooperation, 1973, Design of herd Hydraulic Structure Water Resource Series no, 45 New York.

## **Abstract**

Poor performance of irrigation and drainage network is a serious concern to governments. Tangible reality of the world is that most irrigation and drainage projects implemented worldwide have not fulfilled their aims and in some cases have faced with difficulty. Equipping and modernization of irrigation systems and irrigation networks, water and agricultural sector is one of the main pillars of national resources. Every year much of expenditures of national resources are being spent on irrigation systems and associated facilities such as diversion dams, dewatering and water turns for somewhat water usage can be controlled and optimized. But it is noteworthy that if any problem occurs and if the network is not resolved, over time the utilization of the irrigation and drainage network will face of with problems. Not only soil and water conservation led to the destruction of these resources. Therefore it is necessary to evaluate the technical performance of hydraulic irrigation and drainage canals.

The aim of this study is the technical performance of hydraulic channels of Semnan which pilot irrigation and drainage of Garmsar was chosen. In this regard, the first field visit conducted was recording the problems, and then necessary measurements were done. The results showed that problems such as sedimentation in canals, the weed growth in berm of canals, improper sealing contraction joints in the body of canals, longitudinal and transverse crack in some canals, concrete degradation at raphs, sediment filling in check drops, improper performance of neyripic gates and etc. are of the most important network failure of Garmsar. Network transmission efficiency is a measure of performance measurement which was calculated in this study and was estimated 89% which is considered as goof based on the solids in the water network the term turbidity was used for the first time and the relation between the turbidity and suspended solids concentration were obtained for these networks which will be used in estimation of suspended load in the network and in sediment management is useful. According to the hydraulic calculations subcritical flow was removed in section and the design is good.

Key terms : transfer efficiency , sedimentation , turbidity , neyripic gates, flow regime

